

7-198

# БУЛЕТИНУЛ

АКАДЕМИЕЙ ДЕ ШТИИНЦЕ А РСС МОЛДОВЕНЕШТЬ

# ИЗВЕСТИЯ

АКАДЕМИИ НАУК МОЛДАВСКОЙ ССР

4 1980

ISSN 0568-5192



Серия  
биологических  
и химических наук

# БУЛЕТИНУЛ

АКАДЕМИЕЙ ДЕ ШТИИНЦЕ А РСС МОЛДОВЕНЕШТЬ

# ИЗВЕСТИЯ

АКАДЕМИИ НАУК МОЛДАВСКОЙ ССР

4 1980

Журнал основан в 1951 году. Выходит 6 раз в год



Серия  
биологических  
и химических наук

Кишинев «Штиинца» 1980

## РЕДАКЦИОННАЯ КОЛЛЕГИЯ

Академик АН МССР, член-корреспондент АН СССР  
 А. А. Жученко, академик АН МССР, член-корреспондент ВАСХНИЛ М. Ф. Лупашку (главный редактор), академик АН МССР А. А. Спасский, члены-корреспонденты АН МССР В. В. Арасимович, Т. С. Гейдеман (зам. главного редактора), С. И. Тома, Т. С. Чалык, А. А. Чеботарь, доктор химических наук Д. Г. Батыр (зам. главного редактора), доктора биологических наук М. Д. Кушниренко, Б. Т. Матиенко (зам. главного редактора), Г. А. Успенский, доктор сельскохозяйственных наук В. Н. Лысиков, доктор геолого-минералогических наук К. Н. Негадаев-Никонов, кандидат химических наук П. Ф. Влад, кандидаты биологических наук Ф. И. Фурдуй, Г. Е. Комарова (ответственный секретарь)

## СОДЕРЖАНИЕ

<b>Б. Т. Матиенко.</b> Вопросы общей и частной электронной микроскопии биологических объектов . . . . . <b>Физиология и биохимия растений</b> <b>А. С. Корнеску.</b> Водный режим яблони и подсолнечника в связи с использованием препарата ТУР и минеральных удобрений . . . . . <b>С. Х. Сиддики, [В. Г. Клименко].</b> Сравнительное хромато-электрофоретическое исследование альбуминов семян чечевицы и нута . . . . . <b>Генетика</b> <b>А. А. Жученко, В. Г. Грати, В. К. Андрющенко, М. И. Грати.</b> Индуцирование хромосомных перестроек и локализация генов, контролирующих некоторые хозяйствственно-ценные признаки, в геноме томата . . . . . <b>Е. В. Ревин, Г. П. Карайванов, А. И. Ротаро.</b> Изменение содержания углеводов листьев и зерна высоколизиновых и обычных форм кукурузы в онтогенезе . . . . . <b>Микробиология</b> <b>Ж. П. Тюрина, Т. В. Филиппова.</b> Выделение и очистка суммарного белка пигментных дрожжей <i>Rhodotorula gracilis</i> K-1 и изучение его состава . . . . . <b>Физиология и биохимия человека и животных</b> <b>А. Б. Верещагина.</b> Динамика активности протеолитических ферментов в кишечнике виноградной филлоксеры ( <i>Viteus vitifolii</i> Fitch.), бобовой ( <i>Aphis fabae</i> Scop.) и персиковой ( <i>Myzus persicae</i> Sulz.) тлей в течение суток . . . . . <b>Химия</b> <b>Ю. А. Симонов, А. А. Дворкин, О. А. Болога.</b> Особенности координации NCS-группы в соединении родия(III) сmono- <i>o</i> -метиловым эфирем диацитилдиоксима . . . . . <b>К. И. Түртэ, В. Л. Гүцану, С. А. Бобкова, Г. Н. Догару, С. А. Мунтяч.</b> Исследование методом гамма-резонансной спектроскопии комплексообразования ионов железа на анионите АН-2ФН . . . . . <b>Н. Н. Прокшина, И. В. Хорошун, О. А. Болога, Л. А. Похилько, Н. Е. Булушева.</b> Действие оксиметилсульфината натрия на транс-диоксимины кобальта(III) . . . . . <b>Наука — производству</b> <b>Л. А. Анферов.</b> Влияние удобрений и плотности посева на урожай и качество орошаемой кукурузы . . . . . 	5 13 19 24 31 35 41 48 54 60 65
---	---

Краткие сообщения

- А. А. Чеботарь, А. И. Суружиу, Б. И. Бухар. О полиплоидизирующем действии гербицидов на примере *Pisum sativum* L. 70  
Н. Ф. Сапожникова. Сезонные изменения содержания регуляторов роста в корнях можжевельника казацкого в условиях Молдавии 71  
М. А. Черебедова, Р. Е. Давидович, Ш. М. Гринберг. Источники заражения пшеницы возбудителем мучнистой росы в условиях Молдавии 74  
А. И. Набережный, С. Г. Ирмашева. Соотношение размеров и массы тела у гарпактиций (Crustacea, Nargacticoidea) 75  
Н. В. Шубернецкий, М. З. Владимиров. Массовое обрастание кругоресничными инфузориями мизид (Crustacea, Mysidacea) в садковой культуре 76  
А. Л. Коваленко. Остракоды верховья Днестра, Прута и Закарпатья 78  
М. В. Бодруза. Польни однолетние — перспективное эфирномасличное растение. 79  
В. К. Червень. Влияние минеральных удобрений на состав белков зерна кукурузы. 80  
М. Я. Молдован, Л. А. Маржина, Н. Г. Команич. Новое заболевание табака американского типа в Молдавии 82

Хроника

- Перспективы развития научных исследований в области биологии в учреждениях Академии наук Молдавской ССР (По материалам Выездной сессии Отделения общей биологии Академии наук СССР) 84  
Международный форум остракодологов 88  
VIII съезд Всесоюзного энтомологического общества 89

Рефераты

ИЗВЕСТИЯ АКАДЕМИИ НАУК МОЛДАВСКОЙ ССР

Серия биологических и химических наук  
1980, № 4

Редакторы С. А. Фридман, М. М. Колесникова  
Обложка художника Н. А. Абрамова  
Художественный редактор Э. Б. Мухина  
Технический редактор Н. В. Попеску  
Корректор Л. М. Тулум

Сдано в набор 5.05.80. Подписано к печати 8.08.80. АБ 05733. Формат 70×108<sup>1/16</sup>.  
Бумага тип. № 1. Литературная гарнитура. Печать высокая. Усл. печ. л. 8,40.  
Уч.-изд. л. 8,67. Тираж 699. Заказ 384. Цена 45 коп.

Издательство «Штиница», 277028, Кишинев, ул. Академическая, 3.

Типография издательства «Штиница», 277004, Кишинев, ул. Берзарина, 8.

Б. Т. МАТИЕНКО

ВОПРОСЫ ОБЩЕЙ И ЧАСТНОЙ  
ЭЛЕКТРОННОЙ МИКРОСКОПИИ БИОЛОГИЧЕСКИХ  
ОБЪЕКТОВ

В 70-х гг. нашего столетия электронная микроскопия биологических объектов достигла значительных успехов. Благодаря электронной микроскопии в основном выявлена картина надмолекулярной организации живого вещества и успешно исследуются его характеристики на молекулярном уровне. Существенно шагнула вперед методика препарирования биологических объектов для электронной микроскопии, включая и попытки прижизненного изучения. Все меньше проявляются радиационные повреждения биологических объектов при исследовании в электронном микроскопе. Возрастает разрешающая способность электронных микроскопов.

На пути к познанию молекулярной и надмолекулярной клеточной организации отмечается прогресс в изучении клеточных мембран и биомолекулярных комплексов, организации генетического материала, внутриклеточных филаментных систем и межклеточных пограничных систем. Достигнутый за последнее время уровень исследований отображен в материалах IX Международного конгресса по электронной микроскопии, на чем и основано раскрытие этих проблем в настоящем сообщении.

В последние годы стало очевидным (E. Zeitler; M. Isaacson; M. L. Collins; M. Listvan)\*, что основным тормозом в изучении структуры биомолекул при помощи электронной микроскопии являются радиационные повреждения. Во избежание этого многие авторы рекомендуют осторожнее экстраполировать данные, полученные для одних объектов, на другие, так как их радиочувствительность различна. На примере повреждений первичной и вторичной структуры белков (W. Baumeister, J. Seredynski) показана трудность интерпретации распределений радиолитических изменений: случайных — вдоль полипептидной цепи или преимущественно на определенных аминокислотных остатках. Наиболее устойчивыми оказались аминокислоты с алифатическими кольцами, в то время как серосодержащие и основные аминокислоты более радиочувствительны. Установлен также рандомический характер радиационных повреждений. Согласно У. Мигата, очень чувствительны к действию электронного пучка С—Н связи. По R. M. Glaeser и S. B. Hayward, белковые (протеиновые) кристаллы и клеточные мембранны при высоком разрешении (порядка 3—5 Å) могут повреждаться и разупорядочиваться уже при экспозиции около 1 e/Å<sup>2</sup> и даже менее. Значительное уменьшение радиационных повреждений может быть достигнуто при низких температурах изучения обводненных объектов (до —80—120°C) с получением разрешения более 7 Å. Радиационные изменения необратимы и касаются не только самого

\* Работы цитируемых авторов опубликованы в трудах конгресса: Electron Microscopy. IX Intern. Congress on Electron Microscopy. Toronto, v. I—III, 1978.

объекта, но влияют и на перераспределение и миграцию веществ-конституентов (U. Aebi). Сегодня, по утверждению некоторых авторов (J. M. Cowley), проблема интерпретации электронно-микроскопических картин становится даже более острой, чем увеличение разрешения. Тем не менее задача достижения высокого разрешения в электронной микроскопии всегда числилась среди ведущих. Ныне в электронной микроскопии достигнуты границы разрешения вплоть до теоретически возможных (O. Scherzer).

H. Hashimoto, A. Kitaо, H. Endo получили картины с изображением атомов золота и показали возможность наблюдать кристаллическую решетку при высоких разрешениях порядка 0,5 Å и различать чужие атомы в кристаллах с помощью современных просвечивающих электронных микроскопов.

В светлом поле при условии контрастирования биологических ультраструктур с неупорядоченной конформацией на отдельных индивидуальных макромолекулах современные микроскопы позволяют сдвинуть границу разрешения до 3 Å (F. P. Ottensmeyer, D. R. Bazett-Jones, A. P. Kogel). Используя темнопольную электронную микроскопию, можно повысить и контраст при условии рассмотрения тонких образцов и применения тонких прозрачных пленок-подложек, в частности «аморфных» углеродных пленок. В целом, конечно, следует заметить, что еще не исчерпаны все возможности повышения разрешающей способности метода электронной микроскопии для исследования биологических объектов, и работы такого рода вызывают определенный оптимизм у исследователей.

V. E. Cosslett отмечает, что наряду с низковольтной электронной микроскопией все большее распространение получает высоковольтная. Ныне во всем мире имеется около 50 высоковольтных электронных микроскопов с ускоряющим напряжением 500 кВ и выше, вплоть до 3 МВ. Здесь следует заметить, что, согласно K. R. Porter, применение именно высоковольтного микроскопа (1000 кВ) позволило открыть новый уровень структурированности в гиалоплазме при просмотре толстых образцов монослоя культуры клеток. Большое будущее за STEM (Scanning Transmission Electron Microscopy), ибо в его режимах более эффективно работает темнопольный способ, что облегчает изучение неокрашенных объектов. Этот способ позволяет регистрировать 90% и более электронов, рассеянных образцом (A. V. Crewe).

До тех пор пока новые методы наблюдения замороженных обводненных образцов (Glaeser) или способы с использованием STEM (Crewe) окончательно устанавливаются, еще необходимо как можно шире пользоваться водорастворимыми смолами, полимеризацией при низких температурах (ниже 0°), понижением денатурации при дегидратации. Что касается структуры собственно белков, то такие исследования должны проводиться без окраски тяжелыми металлами — методом темного поля в обычной просвечивающей электронной микроскопии или при пониженных повреждениях со стороны электронного пучка в STEM. Высокое разрешение на примере кристаллических решеток вирусных частиц достигнуто в работах R. W. Horne — ведущего специалиста в этой области.

Непосредственным продолжением обсуждения вопросов радиационных повреждений и повышения разрешающей способности электронной микроскопии является рассмотрение проблемы изучения биомолекулярных комплексов в направлении разрешения субъединиц, различий в конформационных состояниях и т. д.

Более полно следует осветить данные по микротрубочкам и их субъединицам, одно- и двухмерным полимерам тубулина. Микротрубочки, как известно, составляют особую категорию клеточных компонентов и животных, и растений. На их примере удачно иллюстрируется универсальность организации клеточных органелл и их молекулярной основы, образованной одним и тем же белком — тубулином. О микротрубочках сейчас известно (H. R. Erickson), что это полые цилиндры 23 нм в диаметре, имеющие несколько микрометров в длину. Стенка микротрубочек, толщиной в 5 нм, состоит из криволинейных (спиральных) рядов, расположенных вдоль органеллы. Данные оптической дифракции и соответствующая реконструкция показывают, что стенка образована из субъединиц, расположенных в решетке 4×5 нм. Каждая из субъединиц соответствует молекуле белка с молекулярной массой 55 000, что характерно для тубулина (две формы: а и β).

H. R. Erickson, используя реконструкцию картин негативно окрашенных образцов после компьютерной фильтрации, определил расположение субъединиц в стенке микротрубочек. Оказалось, что субъединицы складываются в филаменты, названные протофиламентами, которые образуют винтовую линию вокруг оси с углом наклона 45°. В интактных микротрубочках такие линии образуют продолжающиеся спирали, соединяясь через каждые три субъединицы, вдоль протофиламента. Спиральная решетка описывается как трехстартовая спираль с линейными субъединицами в виде 13 вертикальных протофиламентов.

Многие аспекты организации микротрубочек были изучены *in vitro* с прослеживанием сборки, роста и упорядочивания протофиламентов в соответствующих направлениях. Показано, что минимальное число субъединиц для создания протофиламентной трехстартовой решетчатой спирали равно 13. По термодинамическим расчетам такая структура энергетически устойчива. H. R. Erickson приходит к выводу, что теория спиральной полимеризации неприменима к микротрубочкам. Скорее процесс сборки, в особенности на инициальных этапах, напоминает «нуклеацию» и по существу является образованием линейных полимеров или филаментов с их последовательной ассоциацией и образованием двумерной оболочки — стенки микротрубочки.

Следующим кардинальным вопросом в электронной микроскопии, и в целом в молекулярной биологии, является давняя и еще не разрешенная тема организации и функционирования клеточных мембран. Наука о мембранных, по мнению R. J. Baggott, находится еще в процессе становления. Вполне понятно, что мембранные ультраструктурная морфология успешно развивается по мере роста разрешающей способности просвечивающей и сканирующей электронной микроскопии и совершенствования ряда методов изучения и препарирования объектов. Методика криоскопов является мощным инструментом в изучении интрамембранных субчастиц, их распределения и агрегации. Другая перспективная методика — использование лигантов, реагирующих со специфическими молекулами в мембранах. Для идентификации структур в мембранах применяют энзимы, продукты активности которых электронно-плотные (например, пероксидазы); молекулы крупного размера (подобно ферритину, гемоцианину); метод авторадиографии; используют биологическую специфичность в случае гормонов, антител, токсинов, ингибиторов и т. д. Морфометрия поставляет количественную информацию. Фокусом мембранных проблем является молекулярная организация, охватывающая как локали-

зацию компонентов и целых молекул, так и их движение и взаимодействие.

Техника криосколов (Freeze-fracture) как один из наиболее распространенных и информативных инструментов в изучении интрамембранных гидрофобных доменов дает хорошие результаты, особенно для плазматических мембран клеток животных (A. Martinez-Paloma, V. Cháves, A. González-Robles). Как известно, функция интрамембранного домена чрезвычайно важна, ибо он включает ряд частиц протеиновой природы. В случае криосколов обходятся без химической фиксации, что является преимуществом этого метода, хотя при этом возникают трудности, связанные с применением криопротектантов, способных часто изменять архитектуру и распределение интрамембранных частиц. В последнем случае прибегают к префиксации в глутаровом альдегиде (1–3%), глициеринизации, замораживанию в жидким монохлордиформетане (Фреон-22) биообъектов, размером меньше 1 мм, на металлическом диске. Углеродно-платиновые реплики дополнительно закрепляют испарением углерода; а загрязнение снижают, используя турбомолекулярные вакуумные насосы и низкотемпературные ловушки. Раскрывая методические особенности препарирования криосколов, вышеназванные авторы указывают, что наиболее часто неудачи при получении реплик обусловлены: а) низким контрастом и соответственно пониженным разрешением из-за недонасыщения платиной; б) загрязнением поверхности реплик летучими веществами; в) несовершенной очисткой реплик; г) повреждением клеточных деталей из-за дефектов микротомного ножа.

Клеточные суспензии, изолированные органеллы и клетки, размером менее 7 мкм в диаметре, дают лучшие результаты сколов плазмалеммы, чем крупные клетки (более 15 мкм). Получение больших криосколов твердых тканей требует известного опыта, ибо при отделении и очистке реплик встречаются трудности. Как правило, детали половинок плазмалеммы в результате скола бывают выпуклыми на стороне, обращенной к протоплазме (*P-face*), и вогнутыми на экстраплазматической стороне (*E-face*) у животных клеток. Число частичек на *P*-стороне больше, что имеет важное функциональное значение. Кроме того, если раньше считали, что на миelinовых мембранах мало частичек, то сейчас их находят довольно много. Поскольку плотность, видимость и число частиц зависят от угла оттенения, химических процедур и применения криопротектантов, то только большие, равномерно оттененные участки могут быть использованы для подсчета частиц при помощи специального монитора.

На основе своих и литературных данных Martinez-Paloma, Cháves и González-Robles пришли к выводу, что частицы на сколах плазмалеммы представляют собой интегральные белки, вмонтированные в гидрофобную область (домен) билипидного слоя. Большее число таких частиц на *P*-стороне согласуется с повышенным содержанием белка на внутренней половине мембран. Кроме того, показано, что при меньшем числе частиц суммарное содержание белка понижено, как это бывает у миелина. Экспериментально это доказано на искусственных липосомах. Частицы, однако, могут представлять собой разные типы белка, и наоборот, один тип белка может образовывать двух-, трех- или мультимерные агрегаты полипептидов. Одним словом, частицы, идентифицированные на криосколах, гетерогенны по форме, размеру и природе. Одна такая частица содержит от 9 до 12 молекул белка. Функциональное значение частиц связывают с выполнением ими различных направленных актов и обеспечением определенных яв-

лений в мембранах: а) неспецифическим передвижением ионов и воды через гидрофильные каналы в мембранах; б) избирательным переходом ионов и молекул через мембрану; в) мембранными трансдуктивными процессами; г) прикреплением цитоплазматических фибрилл; д) мембранными компонентами межклеточных связей; е) мембранными барьерами, препятствующими движению протеиновых компонентов в сторону жидкого билипидного слоя и т. д.

Ценные выводы в методическом и теоретическом отношении по организации мембран вытекают из работ F. J. Sjöstrand. По его утверждению, вслед за периодом ультратонких срезов успехи были достигнуты при изучении периодических структур с использованием методов оптической дифракции и трехмерной реконструкции картин.

Так, было достигнуто разрешение в 7 Å (Unwin, Henderson). У непериодических биоструктур при ультратонких срезах получено разрешение в 50–80 Å (мембранные, рибосомы, микротрубочки). Метод криосколов дал несколько лучшие результаты — 50 Å. Ныне, по мнению Sjöstrand, задача заключается в снижении денатурации белков, и в частности максимальном сохранении конформации глобулярных белков путем снижения изменений их водного окружения. Для этого можно использовать этиленгликоль для дегидратации, сокращение времени экспозиции материала в денатурационных средах, неполную дегидратацию с сохранением частиц гидратационной воды в белках. Подчеркивается значение окраски белковых частиц по всей их толщине и явления поверхностной и внутренней денатурации. С другой стороны, Sjöstrand обратил внимание на отсутствие водного окружения мембранных митохондрий, особенно внутренних, ибо их поверхность образована липидами, преграждающими проникновение воды. В целом он показал, что с учетом методических и интерпретационных аспектов сегодня еще рано говорить об исчерпывающей модели мембран. Поэтому вполне оправданно различать мембранные с преимущественно метаболическими функциями от тех, у которых ведущей функцией выступает барьерная роль. Большое значение в электронной микроскопии, после применения обычной техники и способа криосколов, приобретает иммуноферритиновая методика изучения структуры мембран. S. J. Singer, автор общеизвестной модели биомембран, обращает особое внимание на использование иммуноэлектронной микроскопии при определении трансмембранный ориентации гликопротеидов, распределении рецепторов на поверхности мембран и т. д. При этом Singer поставил себе задачу довести разрешение от 200–300 до 50 Å, что позволит определять локализацию более чем одного компонента одновременно за счет разницы в электронной плотности.

Таким образом, структура и организация клеточных мембран продолжает обсуждаться на молекулярном уровне благодаря повышению разрешения и применению целого ряда щадящих методик по отношению прежде всего к белковому компоненту. Подчеркнуты функциональные различия у разных классов мембран с допущением отклонений от общей модели Зингера—Никольсона.

В новом аспекте и с соответствующей детализацией обсуждаются в последние годы вопросы организации генетического материала. По мнению W. Bernhard, успешное изучение генов и генной активности у высших организмов при помощи электронного микроскопа является одним из последних достижений. Первым прорывом в этой области благодаря методу, предложенному Miller и Beatly в 1969 г., стала ви-

зуализация участков транскрипционной активности у некоторых эукариотов с одновременным наблюдением участков ДНК, лишенных транскрипционной роли. С тех пор электронный микроскоп становится необходимым инструментом в генетике. Вторым достижением, по мнению Бернара, было открытие Сорнберга и Шамбона в 1973—1975 гг. нуклеосом — основных единиц упаковки генетического материала, что позволило уяснить способ связи ДНК с белком и в итоге — механизм генной активности и транскрипции.

В работах Н. Ris по высокоупорядоченным структурам в пределах хромосом показано, что поначалу в составе интерфазного хроматина были найдены 20 нм фибриллы, которые оказались универсальными единицами неактивного хроматина и митотических хромосом в нативных ядрах. В метафазе эти фибриллы конденсируются далее в единицы 50 нм толщиной, возможно, путем спирализации. Остается выяснить окончательно, как эти фибриллы расположены и как они образуют хромонему. Ris утверждает, что 20 нм фибриллы представляют собой суперспирали (supercoil) цепи нуклеосом. При помощи электронного микроскопа были также открыты 10 нм частицы как регулярно повторяющиеся субъединицы уже в 10 нм фибриллах. Высоковольтная электронная микроскопия сыграла решающую роль в идентификации этих структур. Сегодня установлено, что нуклеосомы при их сцеплении образуют 10 нм фибриллы и представляют первый уровень упаковки ДНК, конденсированной примерно в семь раз. Нуклеосомы состоят из пар гистонов 2A, 2B, 3 и 4, образующих сердцевину частиц, оплетенную ДНК. Обычно нуклеосомы плотно упакованы, но при диссоциации приобретают вид нити бус. По мнению W. W. Franke, H. Zentgraf, U. Scheer, значительным событием в понимании организации хроматина было именно открытие нуклеосом, представляющих собой повторяющиеся глобулярные упаковки ДНК.

Обобщенные данные позволяют сегодня говорить, что нуклеосомы — это сферические или слегка сплюснутые гранулярные частицы 10—13 нм в диаметре, содержащие около 200 пар оснований ДНК и по паре из четырех гистонов ( $H_2a$ ,  $H_2b$ ,  $H_3$  и  $H_4$ ) и встречающиеся в ядрах клеток большинства эукариотов, за исключением динофлагеллят (хотя последние *in vitro* при добавке гистонов тоже образуют нуклеосомальные структуры). По мнению W. W. Franke с соавт., наднуклеосомная упаковка образуется в результате 20-кратного уплотнения ДНК. Их данные показали, что транскрипционно неактивный хроматин конденсируется в виде нуклеосом — первый порядок и в виде супрануклеосом — на более высоком уровне организации. В транскрипционно активных участках хроматина ДНК уплотняется незначительно и представлена в виде вытянутых относительно тонких (4—8 нм) ДНП фибрилл. По их мнению, транскрипционно активные области хроматина не упаковываются в нуклеосомы, хотя это, на первый взгляд, и не согласуется с биохимическими данными относительно наличия гистонов в этих областях. Разница, по-видимому, заключается в устройстве ДНП у нуклеосомных и ненуклеосомных форм, встречающихся в транскрипционном хроматине.

По своему значению для развития биологических концепций единства органического мира самым важным, наряду с вопросом организации наследственного вещества, является вопрос, касающийся организации внутриклеточных филаментных систем. Филаменты оказались теми единицами, которые характерны для животной и растительной клетки и указывают на их общность в структурном и функциональном

отношении. Их обнаружение в гиалоплазме показало, что существуют еще такие уровни организации живого вещества, которые были неизвестны до последнего десятилетия. Примечательно, что об этой новой системе сообщил Порттер, который в начале развития электронной микроскопии, изучая цитоплазму, обнаружил наличие эндоплазматической системы там, где световая микроскопия оказалась уже бесполезной.

Кроме того, идентификация филаментов и микротрабекул является в большей мере плодом применения мощи новых приемов электронной микроскопии, в частности высоковольтной. Матрикс цитоплазмы оказался высокодифференцированным благодаря существованию относительно тонких и толстых филаментов.

Повышенная анизометрия клеток и клеточных процессов прямо коррелирует с наличием микротрубочек и других вышеупомянутых структур. Основное вещество цитоплазмы характеризуется радиальной ориентацией его включений по отношению к центру и центролям. От способности образования определенных комплексов микротрабекул зависят явления полярности и становления формы клеток, согласованная транслокация отдельных цитоплазматических компонентов и синтез веществ.

Просмотр монослоя культуры клеток, высущенных до критической точки в жидком  $CO_2$ , при напряжении в 1 МВ в высоковольтном микроскопе позволил определить трехмерную решетку извилистых «прутьев», названных микротрабекулами. Эта сеть разделяет матрикс на две фазы: обогащенную протеинами, или полимерную фазу, состоящую из сети микротрабекул; флюидную, обогащенную водой, заполняющей межтрабекулярное пространство. Протеиновая, полимерная фаза сообщает цитоплазме гелеподобные свойства, а водная фаза служит средой для низкомолекулярных метаболитов. Трабекулы и сеть, созданная ими, покрывают цистерны эндоплазматического ретикулума, рибосомы, микротрубочки, поверхность плазмалеммы и т. д. Свободными от этой сети остаются только митохондрии.

Трабекулы имеют в диаметре от 40 до 100 Å и в длину от нескольких сот до 1000 Å. Размеры варьируют в зависимости от типа клеток и от расположения внутри клетки — ближе к центру или на периферии. В центральной области размеры меньше и вязкость цитоплазмы выше. У дифференцированных клеток трабекулы более извилисты, чем в растущих клетках. Выявленная система микротрабекул активно реагирует на воздействие различных факторов и является индикатором перестроек в цитоплазме при различных ситуациях. В частности, показано, что при исключении ионов магния сеть микротрабекул становится грубой и открытой, микротрубочки при этом деполимеризуются. В тех же клетках при 1 mM  $Mg SO_4$  видны тонко устроенная сеть и множество микротрабекул. Проведено сравнение микротрабекул с пучками фибрилл актина и найдено сходство вплоть до идентичности.

Данные по ультраструктуре филаментов актина и способов его сохранения для визуализации содержатся в работе T. D. Pollard, R. Maupin. Их задачей было показать структуру филаментов актина в немышечных клетках по сравнению с мышечным актином. Негативный контраст позволяет видеть, что филаменты актина у многих клеток (растений, протозоа, мышц позвоночных) имеют одну и ту же организацию. Ширина их 6 нм и состоят они из глобулярных молекул, образующих двойную спираль с шагом 27 нм. Это сходство обусловлено

тем, что последовательность аминокислот различных типов актина претерпела мало изменений в процессе эволюции.

Еще в 1953 г. Porter и Kalman экспериментально (морфологически и вискозиметрически) доказали, что при фиксации растворами OsO<sub>4</sub> филаменты актина распадаются на более короткие фрагменты. Образование сетей филаментами рассматривается как артефакт. Глутаральдегид и добавка таниновой кислоты хорошо сохраняют фибрillы. Интересно, что сохранение прямолинейности филаментов актина обусловлено сопровождением их другим белком, например миозином.

Таким образом, настоящее и будущее электронной микроскопии непосредственно связано с познанием молекулярной и надмолекулярной клеточной организации живых существ, главным образом с решением проблем, касающихся структуры и функции биомембран и биомолекулярных комплексов, организации генетического материала, внутриклеточных филаментных систем и межклеточных пограничных систем. Открытыми остаются вопросы повышения разрешающей способности электронных микроскопов и снижения радиационных повреждений биообъектов.

Поступила 4.1.1980

## ФИЗИОЛОГИЯ И БИОХИМИЯ РАСТЕНИЙ

А. С. КОРНЕСКУ

### ВОДНЫЙ РЕЖИМ ЯБЛОНИ И ПОДСОЛНЕЧНИКА В СВЯЗИ С ИСПОЛЬЗОВАНИЕМ ПРЕПАРАТА ТУР И МИНЕРАЛЬНЫХ УДОБРЕНИЙ

Проблема повышения продуктивности и экономного использования растениями поливной воды может быть решена при помощи регулирования их роста — внесением минеральных удобрений и применением физиологически активных веществ. В этом направлении определенный интерес представляет повышение доз фосфора на фоне азота и калия, а также применение ретарданта ТУР.

Настоящая работа является продолжением ранее проведенных исследований влияния препарата ТУР (аналог хлорхолинхлорида-ССС) на водный режим и ростовые процессы растений яблони [2].

Направленность реакции растений под влиянием этого соединения не всегда однозначна [5—7]. Несмотря на то, что это вещество получило широкое распространение как ингибитор роста, имеются сведения и о его ростстимулирующем действии. Кроме того, отмечалось, что ТУР задерживает одревеснение побегов и тем самым снижает морозостойкость плодовых растений. В работах [1, 2] показано, что этот препарат, вызывая задержку роста, положительно влияет на закладку органов плодоношения.

Многими отечественными и зарубежными исследователями показано, что соединения группы ретардантов могут служить надежным средством регуляции роста плодового дерева. Противоречивость данных по воздействию на растения этих веществ обусловлена различиями в концентрациях применяемого препарата, сроками обработки, сортами и возрастом растений. Под действием повышенного фосфорного питания также изменяются характер роста, водообмен, накопление органических веществ [9, 11].

Цель настоящей работы — изучить зависимость водного режима и ростовых процессов растений от обработок ретардантом ТУР, а также различное сочетание элементов минерального питания.

#### Материалы и методы

Исследовали саженцы яблони сорта Альпинист, привитые на полукарликовом подвое. Опыт был заложен весной 1977 г. в вегетационном домике Института физиологии и биохимии растений Академии наук Молдавской ССР по схеме: I — контроль; II — 0,4% ТУР; III — NPK; IV — NPK+0,2% ТУР; V — NPK+0,4% ТУР.

Минеральные удобрения вносились в растворенном виде из расчета 100 мг действующего начала (д. н.) каждого элемента на 1 кг почвы. Влажность почвы поддерживалась на уровне 70% от полной влагоемкости (ПВ). В теплице был заложен модельный опыт с растениями

подсолнечника сорта ВНИИМК-1646. Схема опыта: I — без опрыскивания (контроль); II — опрыскивание 0,1% ТУР; III — опрыскивание 0,2% ТУР. Молодые растения подсолнечника опрыскивались в фазе появления второй пары настоящих листьев согласно схеме. В каждом варианте опыта — десять растений.

Опыты также проводились в производственных условиях с растениями яблони сорта Мантуйанско в межколхозном саду имени XVIII съезда ВЛКСМ Рыбницкого района Молдавской ССР. Варианты опыта следующие: I — без удобрений (контроль); II — без удобрений + ТУР; III — NPK + ТУР; IV — NP<sub>2</sub>K + ТУР.

Для изучения реакции сортов яблони на препарат ТУР кроме сорта Мантуйанско были взяты растения сорта Рихард делишес. Варианты опыта в этом случае: I — без опрыскивания (контроль); II — опрыскивание растений 0,5% ТУР. В качестве опытных объектов были молодые растения яблони посадки 1975 г., привитые на Дусене IV. Площадь питания 4×3 м. Повторность опыта трехкратная.

Минеральные удобрения (аммиачная селитра, гранулированный суперфосфат и 40% калийная соль) были внесены в 1977 г. в борозды на глубину 25—30 см на расстояние 0,6 м от ствола из расчета 180 кг д. н. каждого элемента на гектар. В течение вегетационного периода проводили двукратное опрыскивание — через 10 дней после цветения и повторно через две недели.

Почва опытного участка — чернозем обыкновенный мощный легкоглинистый на легкой глине. Реакция почвенной среды — слабощелочная по всему профилю. Грунтовые воды залегают на глубине 20 м. Содержание гумуса падает по профилю постепенно и общий его запас в метровом слое большой. Среднее количество гумуса в слое 10—100 см колеблется от 5,4 до 2,5%. Обеспеченность подвижными соединениями фосфора в большинстве случаев очень низкая. Среднее количество фосфора в слое 10—70 см варьирует от 5,3 до 3,5 мг/100 г почвы, калия — от 15,5 до 10,5 мг/100 г почвы. Следовательно, содержание этих элементов тоже падает по профилю.

Наблюдения за ростом и развитием опытных растений вели по общепринятой в плодоводстве методике. Для изучения водного режима была использована методика, принятая в нашей лаборатории [3, 4].

Относительная активность воды определялась по методу [10]. Уход за насаждениями в саду проводился согласно «Агрокказанием по плодоводству для Молдавской ССР».

### Результаты и их обсуждение

Выявлена тенденция к снижению оводненности тканей листьев растений яблони, обработанных препаратом ТУР, в сравнении с контрольными деревьями. Применение различных концентраций ретарданта в условиях вегетационного домика показало, что повышенная его концентрация приводила к снижению содержания воды в тканях листьев. Однако были выявлены различия в водоудерживающей способности листьев, активности воды, интенсивности транспирации и в размерах линейного прироста.

Процесс потери воды листьями сложен. Он зависит от анатомической структуры органов растения, химической природы и свойств компонентов протоплазмы, активности воды в клетке, физиологического состояния растения.

Рассмотрим наши данные по изменению водоудерживающих сил листьев растений в зависимости от фона минерального питания, а также обработок растворами препарата ТУР. Судя по потере воды листьями исследуемых растений за определенный промежуток времени, наиболее слабой водоудерживающей силой отличались листья не обработанных этим препаратом растений. Анализ результатов показывает, что водоудерживающая сила находится в определенной зависимости от интенсивности ростовых процессов.

Отмечено, что чем ниже интенсивность ростовых процессов, тем выше водоудерживающая сила листьев, о чем можно судить по потере воды при завядании. Опрыскивание растений подсолнечника растворами ТУР различной концентрации показало, что с увеличением концентрации снижается потеря воды листьями, следовательно, повышается их водоудерживающая способность (рис. 1). Такие же результаты получены при опрыскивании саженцев яблони, произраставших в условиях вегетационного домика (рис. 2). Наши эксперименты свидетельствуют, что препарат ТУР и минеральные удобрения оказывают определенное влияние на развитие водоудерживающей силы листьев яблони.

Большой водоудерживающей силой характеризовались листья растений, опрынутых 0,4% ТУР. Водоудерживающая способность листьев растений, обработанных 0,2% ТУР, выше, чем у необработанных контрольных растений и получивших азот, фосфор и калий (III вариант). Под действием увеличенных доз фосфора в полной питательной смеси также возрастает водоудерживающая способность листьев по сравнению с этим показателем у удобренных азотом, фосфором и калием растений в соотношении 1:1:1.

На фоне минеральных удобрений меньшими потерями воды отличались растения яблони варианта NP<sub>2</sub>K + ТУР (табл. 1).

Относительная активность воды в листьях орошаемой яблони изменяется при применении препарата ТУР и различном уровне питания (табл. 2).

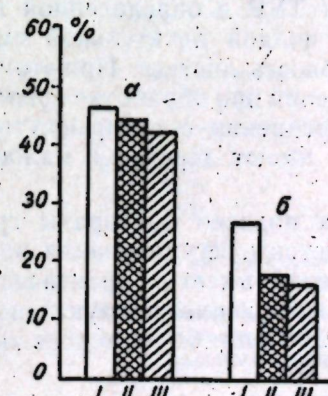


Рис. 1. Водоудерживающая способность подсолнечника в марте (а) и апреле (б) в зависимости от концентрации препарата ТУР:

I — контроль; II — 0,1% ТУР; III — 0,2% ТУР. По оси ординат — потеря воды, % от ее исходного содержания

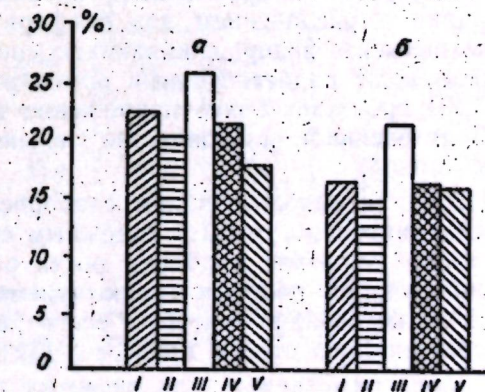


Рис. 2. Влияние препарата ТУР и уровня минерального питания на водоудерживающую способность листьев яблони сорта Альпинист в июне (а) и июле (б):

I — контроль; II — ТУР; III — NPK; IV — NPK + 0,2% ТУР; V — NPK + 0,4% ТУР. По оси ординат — потеря воды, % от ее исходного содержания

Таблица 1

Влияние препарата ТУР и различного сочетания элементов минерального питания в полной питательной смеси на водоудерживающую способность листьев яблони (полевой опыт, 1977 г.)

Вариант опыта	Потеря воды за два часа, % от исходного содержания		
	июнь	июль	август
<i>Сорт Мантуанское</i>			
Без удобрений (контроль)	17,5	15,1	21,4
Без удобрений + ТУР	9,6	11,7	18,0
NPK + ТУР	14,9	13,6	19,2
NP <sub>2</sub> K + ТУР	11,9	12,5	19,2
<i>Сорт Рихард делишес</i>			
Без опрыскивания (контроль)	12,7	13,3	—
ТУР	10,6	11,8	—

Таблица 2

Влияние фона питания и препарата ТУР на относительную активность воды в листьях яблони сорта Мантуанское (полевой опыт, 1977 г.)

Вариант опыта	Июнь	Июль	Август	Относительная активность воды	
				1	2
Без удобрений (контроль)	0,67	0,63	0,57	—	—
Без удобрений + ТУР	0,43	0,47	0,55	—	—
NPK + ТУР	0,64	0,57	0,55	—	—
NP <sub>2</sub> K + ТУР	0,55	0,50	0,53	—	—

Следовательно, применением препарата ТУР в определенной концентрации и увеличением доз фосфора в полной питательной смеси можно повысить водоудерживающую способность листьев. При этом активность воды падает. Водный обмен растений при обработке препаратом ТУР протекает более напряженно в сравнении с неопрыснутыми. В интенсивном плодоводстве значение имеют деревья с малообъемной кроной.

Наряду с использованием слаборослых подвоев препараты группы ретардантов могут быть надежным средством регулирования роста. Актуальное значение проблема роста растений имеет в практическом растениеводстве, ибо нет таких приемов повышения продуктивности растений, которые в конечном счете не изменяли бы интенсивности, направленности ростовых процессов [12].

Рассмотрим зависимость ростовых процессов от применяемых нами концентраций ингибитора. Анализируя данные табл. 3 и 4, можно убедиться в изменении линейного роста побегов яблони и стебля подсолнечника в связи с применением различных концентраций препарата. Средний прирост яблони без внесения минеральных удобрений на 33% меньше по сравнению с контролем.

Опрыскивание как удобренных, так и неудобренных растений препаратом ТУР приводило к значительному торможению линейного прироста. При этом больше оказывается на угнетении роста повышенная концентрация раствора — 0,4% для яблони и 0,2% для подсолнечника.

Таблица 3

Однолетний прирост побегов яблони сорта Альпинист (вегетационный опыт, 1978 г.)

Вариант опыта	Прирост, см
Контроль	31,9
ТУР	24,0
NPK	42,6
NPK + 0,2% ТУР	41,3
NPK + 0,4% ТУР	38,8

\* —оценка существенности средней Еразности—приводится по отношению к контрольному варианту, при уровне значимости 0,05.

Аналогичные данные были получены и в другие сроки отбора. Обработка препаратом ТУР вызывает неодинаковую реакцию растений яблони различных сортов. Его действие зависит также от применяемых концентраций.

Полученные нами данные подтверждают справедливость высказывания Сабинина [8], который подчеркивал необходимость учета зависимости характера действия ростовых веществ от концентрации. Он писал, что характер действия ростовых веществ на данный объект является функцией их концентрации. При торможении роста побегов яблони обнаружено некоторое уменьшение ассимилирующей поверхности. При этом листовые пластинки заметно утолщаются. В этих условиях расход воды на транспирацию ниже у опытных растений в сравнении с контрольными, а на фоне NPK — у растений, опрыснутых препаратом ТУР в концентрации 0,4% (табл. 5).

Максимальную интенсивность транспирации обнаружили у контрольных растений, которые характеризовались меньшей водоудерживающей силой листьев, высокой активностью воды в листьях и наибольшим приростом побегов. Уменьшение интенсивности транспирации у обработанных препаратом ТУР растений можно объяснить, по-видимому, изменением процессов метаболизма, что в свою очередь приводит к снижению активности воды в листьях опытных растений.

Таблица 4

Влияние препарата ТУР на длину стебля подсолнечника (в условиях теплицы, 1978 г.)

Вариант опыта	27.III		17.IV	
	длина стебля, см	t*	длина стебля, см	t*
Контроль	52,3	—	109,3	—
0,1% ТУР	43,2	13,4	86,9	7,9
0,2% ТУР	39,0	5,3	76,0	9,2

\* То же, что в табл. 3.

Таблица 5  
Интенсивность транспирации растений яблони сорта Альпинист в зависимости от концентрации препарата ТУР и уровня минерального питания (вегетационный опыт, 1978 г.)

Вариант опыта	Июнь		Июль	
	г/м <sup>2</sup> /ч	t*	г/м <sup>2</sup> /ч	t*
Контроль	126,8	—	168,7	—
ТУР	120,7	2,0	153,0	1,9
NPK	110,5	9,7	128,7	6,0
NPK + 0,2% ТУР	105,1	6,1	128,2	8,9
NPK + 0,4% ТУР	104,4	6,9	104,5	21,6

\* То же, что в табл. 3.

### Заключение

Растения, обработанные ингибитором роста, характеризовались повышенной водоудерживающей способностью, меньшей активностью воды, пониженной интенсивностью транспирации, менее интенсивными ростовыми процессами. Обработка растений ретардантом ТУР показала неодинаковую реакцию сортов на воздействие этого препарата. Следовательно, необходимо учитывать сортовые особенности и приемлемые концентрации.

Эффективность внесенных минеральных удобрений зависит от многих факторов, в том числе от сочетания минеральных элементов в полной питательной смеси. Совместное применение ретарданта и удобрений оказывает положительное влияние на водоудерживающую силу листьев, способствует более экономическому расходованию воды растениями.

### ЛИТЕРАТУРА

- Колесников В. А., Агафонов Н. В., Блиновский И. К. Регуляторы роста в интенсивном плодоводстве.—Вестн. с.-х. науки, 1974, № 2.
- Корнеску А. С. Влияние препарата ТУР на водный режим и ростовые процессы яблони.—Изв. АН МССР, Сер. биол. и хим. наук, 1977, № 4, с. 86—87.
- Кушниренко М. Д., Гончарова Э. А., Бондарь Е. М. Методы изучения водного обмена и засухоустойчивости плодовых растений. Кишинев, РИО АН МССР, 1970, с. 78.
- Кушниренко М. Д., Корнеску А. С. Методика сравнительного определения продуктивности транспирации плодовых растений.—Изв. АН МССР, Сер. биол. и хим. наук, 1975, № 4, с. 78—80.
- Некрасова Т. В. Влияние ретарданта ССС на рост и формообразование сеянцев плодовых культур.—Физиол. раст., 1969, 16, вып. 2, с. 293—302.
- Петerson Э. К., Сполитис А. К. Влияние синтетических ретардантов на рост и физиологические процессы клоновых яблонь М-1.—В кн.: Регуляция роста и питания растений. Рига, «Зиннатне», 1976, с. 54—60.
- Проценко Д. Ф., Капля А. Ф., Мороз Т. А. Влияние хлорхолинхлорида на морозостойкость плодовых деревьев.—В кн.: Применение физиологически активных веществ в садоводстве. Т. 2. М., изд. ВАСХНИЛ, 1974, С. 52—58.
- Сабинин Д. А. Физиология развития растений. М., «Наука», 1963, с. 194.
- Самуилов Ф. Д. Водный обмен и состояние воды в растениях в связи с их метаболизмом и условиями среды. Казань, изд. Казанск. ун-та, 1972, с. 282.
- Сулейманов И. Г. Методы определения потери воды растением.—В сб.: Роль компонентов протоплазмы в водообмене растений. Казань, изд. Казанск. ун-та, 1972, с. 30—37.
- Туева О. Ф. Фосфор в питании растений. М., «Наука», 1966, с. 293.
- Шевелуха В. С. Периодичность роста сельскохозяйственных растений и пути ее регулирования. Минск, «Ураджай», 1977, с. 422.

Поступила 4.V 1979

С. Х. СИДДИКИ, | В. Г. КЛИМЕНКО

### СРАВНИТЕЛЬНОЕ ХРОМАТО-ЭЛЕКТРОФОРЕТИЧЕСКОЕ ИССЛЕДОВАНИЕ АЛЬБУМИНОВ СЕМЯН ЧЕЧЕВИЦЫ И НУТА

С альбуминами связана ферментативная активность семян, однако изучены они очень мало. Белки семян бобовых растений, в частности чечевицы и нута, представлены глобулинами и альбуминами, количественные соотношения которых различны. Альбуминами, однако, считаются зачастую белки, извлекаемые из растительного материала водой, хотя хорошо известно, что водой извлекается и значительная часть глобулинов [3, 6]. Иногда к альбуминам относят все белки, остающиеся в растворе после суммарного солевого экстракта против дистиллированной воды, независимо от pH надосадочной жидкости. Однако после диализа может оставаться часть белков глобулиновой природы [8]. Для получения альбуминов в сравнительно свободном от глобулинов виде необходимо проводить их разделение при диализе против дистиллированной воды, подкисленной слабой кислотой до pH, соответствующих изоэлектрическим точкам глобулиновых компонентов, при которых все глобулины солевого экстракта полностью переходят в осадок, а в надосадочной жидкости остаются только альбумины [9, 10].

Следовательно, состав альбуминовой фракции, ее физико-химические свойства, локализация в семенах представляют несомненный интерес. Кроме того, сравнительное исследование состава альбуминов может оказаться полезным для определения систематической близости изучаемых видов растений.

Нам представлялось интересным выделить и сравнить поведение белков альбуминовой фракции семядолей семян чечевицы и нута при градиентной экстракции на колонке, хроматографии на ДЭАЭ-целлюлозе (ДЭАЭ-Ц) и гидроксилатите (ГА), а также исследовать электрофорезом в полиакриламидном геле суммарные альбумины и их фракции, полученные при хроматографии на различных носителях.

### Материалы и методы

Для исследования были взяты семена полной спелости чечевицы и нута. Семена вручную освобождали от кожуры и осевой части зародыша, а полученные семядоли превращали в тончайшую муку, которую просеивали через капроновое сито с диаметром ячеек 0,11 мм. Измельчение семядолей производили так, чтобы на сите не оставалось отходов. Полученную муку обезжиривали серным эфиром и хранили в холодильнике при 4—5°C. Суммарные белки из обезжиренной муки количественно извлекали 1 M NaCl забуференным фосфатами до pH 7,0.

Суммарный солевой белковый экстракт муки семядолей диализовали против дистиллированной воды, подкисленной уксусной кислотой до pH 4,0 для чечевицы и 4,1 — для нута [1]. При этом суммарные глобулины переходили в осадок, в надосадочной жидкости оставались альбумины. Разделение белков проводили в холодильнике при 3—5°C. Освобожденный от глобулинов раствор альбуминов подвергали ли-

фильной сушке с последующим хранением сухих препаратов в герметически закрытой посуде в холодильнике.

Суммарные альбумины разделяли на фракции градиентной экстракцией на колонке, хроматографией на ДЭАЭ-Ц и ГА по методике, принятой в лаборатории химии белка Кишиневского университета [2—7]. Белки фракций кривой растворимости и хроматографических фракций осаждали при полном насыщении сернокислым аммонием и исследовали электрофорезом в полиакриламидном геле [5]. Были также рассчитаны отношения экстинкций  $E_{260}/E_{278}$  хроматографических фракций.

### Результаты и их обсуждение

Альбуминовая фракция семядолей чечевицы и нута представляет собой многокомпонентную систему (рис. 1). Альбумины семян чечевицы разделялись на семь, а нута — на восемь фракций, элюирующихся в пределах 71—10% насыщения сернокислого аммония. Среди этих фракций одна (фракция 70 у чечевицы) или две (фракции 40 и 30 у нута) доминируют над остальными. Главный пик кривой растворимости альбуминов семян чечевицы находится при более высоком насыщении сернокислого аммония по сравнению с главным пиком кривой растворимости альбумина нута. На кривых растворимости суммарных альбуминов семян чечевицы в отличие от кривых растворимости альбуминов семян нута отсутствуют фракции, максимум элюирования которых находится при 18—23% насыщении сернокислым аммонием. Суммарные альбумины семян чечевицы и нута, как видно из кривых растворимости, элюируются в более широком интервале (71—10%), но различаются как по количеству фракций, так и по концентрациям сернокислого аммония, при которых они элюируются. Наряду с отличиями кривой растворимости альбуминов семян исследуемых растений по характеру распределения фракций проявляется заметное сходство.

По отношениям экстинкций хроматографические фракции с максимумом элюирования в пределах 71—30% насыщения сернокислого аммония, являются белками, а фракции, элюирующиеся в пределах 23—10% насыщения сернокислого аммония, имеют смешанный природу (см. таблицу).

При электрофорезе в полиакриламидном геле (рис. 2) суммарные альбумины семян чечевицы разделяются на девять, а нута — на восемь компонентов, различающихся по относительной подвижности и интенсивности окраски компонентов электрофореграмм.

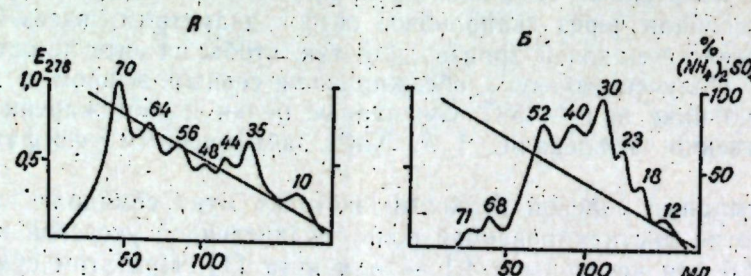


Рис. 1. Кривые растворимости суммарных альбуминов семян чечевицы (A) и нута (B)



Рис. 2. Электрофореграммы суммарных альбуминов семян чечевицы (A) и нута (B)

Отношение экстинкций  $E_{260}/E_{278}$  хроматографических фракций, полученных при градиентной экстракции на колонке, хроматографии на ДЭАЭ-целлюлозе и гидроксилапатите суммарных альбуминов семядолей чечевицы и нута

Чечевица	$E_{260}/E_{278}$	Нут	$E_{260}/E_{278}$
Фракция		Фракция	
70	0,71	71	0,81
64	0,66	68	0,76
56	0,72	52	0,62
48	0,74		
44	0,71	40	0,66
35	0,84	30	0,96
10	1,70	23	1,09
		18	1,84
		12	1,92

#### Градиентная экстракция на колонке

70	0,71	71	0,81
64	0,66	68	0,76
56	0,72	52	0,62
48	0,74		
44	0,71	40	0,66
35	0,84	30	0,96
10	1,70	23	1,09
		18	1,84
		12	1,92

#### Хроматография на ДЭАЭ-целлюлозе

1	0,96	1	0,88
2	1,08	2	1,06
3	1,04	3	1,00
0,17	1,10	0,14	0,83
0,32	0,98	0,24	1,11
0,36	1,05	0,58	1,58
0,61	1,42		

#### Хроматография на гидроксилапатите

1	1,20	2	1,18
2	1,02	0,17	0,97
0,11	0,91	0,24	0,99
0,21	0,98		
0,46	0,75		

При хроматографии на ДЭАЭ-Ц суммарные альбумины семян чечевицы и нута, разделяются на семь и шесть хроматографических фракций, по три из которых элюируются до наложения градиента (рис. 3, А, Б). По соотношению экстинкций при  $E_{260}$  нм и  $E_{278}$  нм (см. таблицу) можно предположить, что фракции 2,3 и 0,17 у альбуминов семян чечевицы и фракции 2,3 и 0,24 у альбуминов семян нута хотя и содержат белки, но они сопровождаются веществом небелковой природы. Фракции 1 и 0,32 (чечевица) и фракции 1 и 0,14 (нут) содержат минимальное количество вещества небелковой природы, тогда как фракции 0,61 и 0,58 носят небелковый характер (см. рис. 3, А, Б).

Большой интерес представляют данные электрофоретического поведения альбуминов хроматографических фракций, полученных при хроматографии на ДЭАЭ-Ц. При исследовании поведения хроматографических фракций суммарных альбуминов семян чечевицы и нута обнаружено, что фракции 1 содержат белки, характеризующиеся наиболее сложным электрофоретическим составом по сравнению с белками хроматографических фракций, элюирующихся после наложения градиента (см. рис. 3, А, Б). Так, фракции 1 альбуминов семян чечевицы и нута содержат пять и четыре электрофоретических компонента соответственно, различающихся по подвижности и интенсивности окраски электрофоретических компонентов электрофореграмм. Объединенные фракции 0,32—0,26 (чечевица) разделяются не менее, чем на три компонента, а фракция 0,14 (нут) — на четыре компонента. Однако у фракций 0,14 выявляются два компонента, которые по сравнению с другими компонентами этой же фракции и рядом компонентов других фракций характеризуются наибольшей электрофоретической подвижностью.

Суммарные альбумины семян чечевицы разделялись на пять, а нута — на четыре фракции, по две из которых элюируются исходным

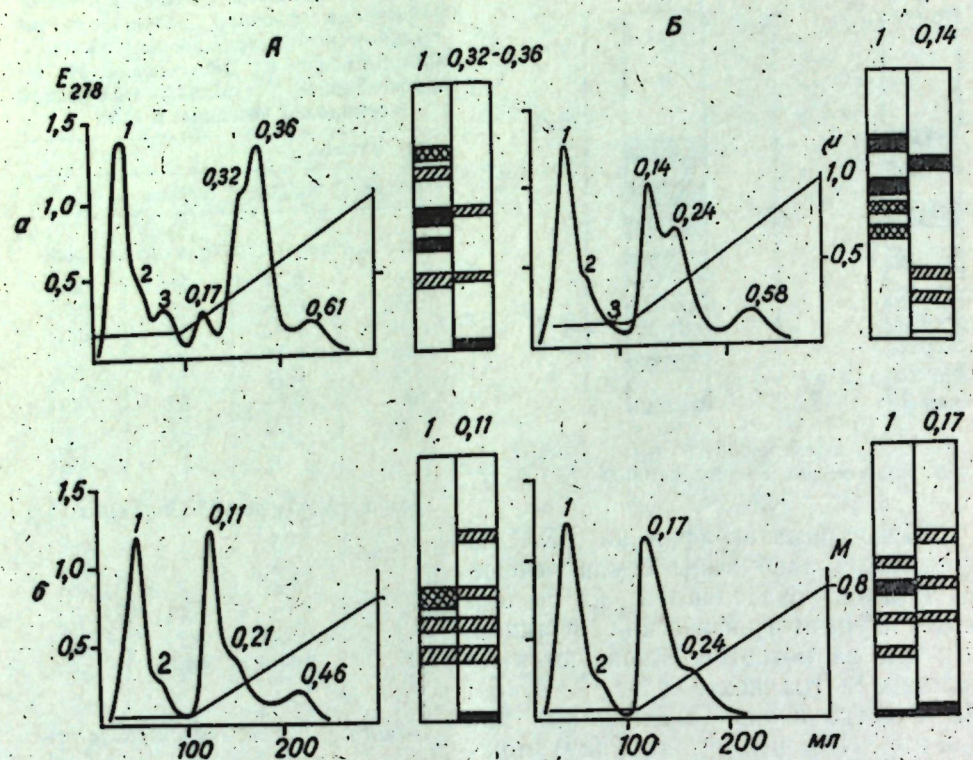


Рис. 3. Хроматограммы суммарных альбуминов семян чечевицы (A) и нута (B) на ДЭАЭ-целлюлозе (a) и гидроксилапатите (b), справа электрофореграммы фракций, полученных при хроматографии

буфером 0,03 М. Данные по отношениям экстинкции показывают, что фракции, вымывающиеся исходным буфером, имеют смешанную природу. Наиболее обогащенными белками оказались фракции, элюирующиеся при молярности буфера 0,11 и 0,17; 0,21 и 0,24 соответственно для нута и чечевицы, о чем свидетельствуют их отношения экстинкций. Следовательно, сопровождающие суммарные альбумины небелковые вещества распределены по всем хроматографическим фракциям.

Белки фракции 1 суммарных альбуминов семян чечевицы и нута при электрофорезе в поликариламидном геле разделились не менее, чем на три и четыре электрофоретических компонента, а также фракции 0,11 и 0,17 — на пять и четыре компонента соответственно, которые различаются по относительной подвижности и интенсивности окраски электрофоретических компонентов. Данные электрофореза в поликариламидном геле белков хроматографических фракций свидетельствуют о том, что по электрофоретическому поведению между белками хроматографических фракций исследуемых растений обнаружены существенные различия.

Следовательно, суммарные альбумины семядолей чечевицы и нута представляют собой многокомпонентную систему, характеризующуюся наиболее сложным электрофоретическим составом. Обнаруженные хроматографические и электрофоретические различия обусловлены видовой принадлежностью исследуемых семян.

## ЛИТЕРАТУРА

1. Азимов Б. Белки семян некоторых бобовых, выращенных в Таджикистане и Молдавии. Автореф. канд. дис. Кишинев, 1972.
2. Алексеева М. В. Исследование солерасторимых белков семян тыквы (*Cucurbita pepo* L.) методом градиентной экстракции на колонке. — Биохимия, 1965, 30, с. 60.
3. Березовиков А. Д. Азотсодержащие вещества плотного остатка (стромы) семян бобовых растений. — Материалы симпозиума по химии и биохимии растительных белков, вып. 5. Кишинев, 1966.
4. Вайнтрауб И. А., Шугор А. Д. Хроматография белков семян вики на ДЭАЭ-целлюлозе. — Биохимия, 1964, 29, с. 863.
5. Григорчук П. Д. Прибор для диск-электрофореза белков в блоке. — Изв. АН МССР, Сер. биол. и хим. наук, 1976, № 4, с. 90.
6. Клименко В. Г. Азотсодержащие вещества семян некоторых представителей рода семейства бобовых. — Учен. зап. КГУ, вып. 4, 1952, с. 3.
7. Руснак И. Е., Клименко В. Г. Разделение белков семян некоторых сортов фасоли хроматографией на ДЭАЭ-целлюлозе и гидроксилапатите. — Тр. по химии природн. соед., вып. 8, 1969, с. 3.
8. Саянова В. В., Гофман Ю. Я. Об определении содержания альбуминов семян. — Биохимия, 1965, 30, с. 209.
9. Саянова В. В., Славная Т. С., Суменкова В. В. Исследование альбуминов фракций семян некоторых видов фасоли. — Физiol. и биохим. культ. раст., 1971, 3, с. 202.
10. Саянова В. В., Высокос Т. Я. Исследование альбуминовой фракции семян гиацинтовых бобов (*Dolichos lablab* L.). — Изв. АН МССР, Сер. биол. и хим. наук, 1971, № 5, с. 45.

Поступила 5.VII.1978

## ГЕНЕТИКА

А. А. ЖУЧЕНКО, В. Г. ГРАТИ,  
В. К. АНДРЮЩЕНКО, М. И. ГРАТИ

### ИНДУЦИРОВАНИЕ ХРОМОСОМНЫХ ПЕРЕСТРОЕК И ЛОКАЛИЗАЦИЯ ГЕНОВ, КОНТРОЛИРУЮЩИХ НЕКОТОРЫЕ ХОЗЯЙСТВЕННО-ЦЕННЫЕ ПРИЗНАКИ, В ГЕНОМЕ ТОМАТА

Установлено, что в результате опыления маркерных мутантов томата по рецессивным генам  $\gamma$ -облученной пыльцой (5 кР) гибридное потомство первого поколения представляет собой совокупность растений, отличающихся как по морфологическим, так и по хозяйствственно-ценным признакам, известным как количественные [1]. Так, кроме типичных гибридных растений в первом поколении встречались псевдодоминантные растения по маркерным генам или аналогичные материнским формам по большинству признаков и растения, отличающиеся морфологически как от контрольных гибридов, так и от исходных форм. Определенная часть генотипов, различающихся по морфологическим признакам, отличалась также и по некоторым количественным признакам (средняя масса плода, продолжительность межфазных периодов и содержание в плодах основных биохимических компонентов).

Целью настоящих исследований явилось цитологическое изучение псевдодоминантных генотипов  $F_1$  и других генотипов, различающихся по морфологическим и хозяйствственно-ценным признакам, и определение возможности локализации блоков генов, контролирующих наследование средней массы плода, скороспелость и содержание в плодах сухих веществ, аскорбиновой кислоты и титруемых кислот методом индуцирования недостатка хромосом.

#### Материалы и методы

Для выявления генетической природы выделенных генотипов первого поколения было изучено их потомство во втором поколении. Семенной материал от 62 генотипов выделяли из плодов самоопыленных цветков  $F_1$ , для чего цветочные бутоны перед раскрытием изолировали ватой. Характер расщепления гибридов  $F_2$  изучали на 30—50 растениях обоих вариантов. В качестве контроля были взяты потомства необлученных гибридов и растения, полученные от опыления облученной пыльцой, которые ничем не отличались от контрольных гибридов.

Для исследования структурных изменений генотипа выделенных по морфологическим признакам растений (в результате опыления маркерных мутантов  $\gamma$ -облученной пыльцой (5 кР) или причин, вызывающих разнообразное проявление альтернативных и количественных признаков у гибридов  $F_1$ ), проведен цитологический анализ. Были зафиксированы цветочные бутоны от 300 растений, из них изучено 54 образца. Геном выделенных растений изучали в профазе мейоза на стадиях пахитены и диакинеза как оптимальных для идентификации и структурного анализа гомологичных хромосом. Следует подчеркнуть,

что для успешного пахитенного анализа хромосом большое значение имеет методика фиксации материала и приготовления цитологических препаратов. Мы придерживались в основном методики Вальтера (Walter), описанной в [3], в некоторой модификации, внесенной авторами [4] и нами. Согласно этой методике, цветочные бутоны фиксируются смесью пропионовой кислоты с этиловым спиртом (96° или абсолютным) в соотношении 1:2 в течение суток. При этом чашечка и по возможности венчик удаляются. Затем материал прополаскивают два-три раза 70° этиловым спиртом и хранят в нем при низкой положительной температуре ( $\sim 1-4^\circ\text{C}$ ) либо сразу используют для приготовления препаратов.

В день приготовления препаратов материал промывают дистиллированной водой два-три раза в течение 20—30 минут. Бутоны 40—60 минут протравливают 8% железоаммиачными квасцами. Такая высокая концентрация железоаммиачных квасцов необходима для окрашивания хромосом в ранней профазе и пахитене. Для последующих фаз мейоза хорошие результаты дает 20—40 минутная обработка 4% раствором. Затем материал промывают водопроводной водой от 30 минут до часа и прополаскивают дистиллированной водой.

Материал окрашивается на предметном стекле. Пыльники давят в капле железоацетокармина по Беллингу (Belling, 1926). На этой стадии под микроскопом при небольшом увеличении отбирают для дальнейшей работы только те капли, в которых имеются материнские клетки пыльцы в необходимой фазе мейоза. Остальные капли удаляют. Для лучшей окраски раздавленные пыльники в отобранный капле перемешивают железной иглой. Затем остатки пыльника удаляют, а каплю покрывают покровным стеклом. Авторы [4] рекомендуют добавить немного ацетокармина, чтобы микроспороциты не плавали над каплей. Однако в процессе работы выяснилось, что лучше добавить с самого начала достаточное количество ацетокармина и покрыть каплю покровным стеклом 18×18 мм. Предметное стекло выдерживают одну-две минуты над паром [2], пока цитоплазма и ядро не окраиваются в интенсивный черный цвет.

После достаточного окрашивания препараты дифференцируют, для чего каплю 45% пропионовой или уксусной кислоты добавляют к одному краю покровного стекла, а ацетокармин втягивают с другого края при помощи фильтровальной бумаги. Этот процесс повторяют до тех пор, пока весь ацетокармин не будет заменен уксусной кислотой. Препарат выдерживают над паром до нормальной дифференциации под микроскопом. Процесс завершают быстрым и равномерным придавливанием пальцем, используя несколько кусков фильтровальной бумаги. Во избежание быстрого испарения уксусной кислоты и проникновения воздуха покровное стекло заделывают парафином. Препараты микроскопировали на МБИ-15. Измерения хромосом проводили на микрофотографиях.

#### Результаты исследований

Анализ потомства  $F_2$  выделенных генотипов  $F_1$  по морфологическим признакам показал, что часть из них были материнскими растениями из-за случайного самоопыления при гибридизации. Другие генотипы были обычными гибридами, слегка видоизмененными из-за поражения мозаикой, или они оказались случайно.

С учетом проведенных исследований потомства  $F_2$  и цитологического анализа количество выделенных форм оказалось намного ниже. Псевдодоминантные растения выделены в 10 комбинациях скрещивания, а наибольший процент они составляют в следующих комбинациях:  $w, l, d, c \times$  Red cherry (8,3%);  $br, ch \times$  Red cherry (7,1%);  $mc \times$  Персики (3,6%) и  $var \times$  Персики (2,6%). В остальных комбинациях скрещивания процент псевдодоминантных растений не превышает 2,3%.

Растения, отличающиеся по другим немаркерным морфологическим признакам, выявлены в 11 комбинациях скрещивания, а наибольшее количество — в следующих комбинациях:  $w, l, d, c \times$  Red cherry (16,7%);  $w, l, d, c \times$  Персики (10,7%);  $r \times$  Персики (9,1%);  $mc \times$  Red cherry (5%);  $wt, br, j \times$  Персики (2,2%);  $atn \times$  Red cherry (3,2%). В остальных пяти комбинациях скрещивания количество таких растений составляет менее 2,1%.

Некоторые выделенные растения отличаются от исходных форм и остальных гибридных растений варианта не только по морфологическим признакам, но и по средней массе плода, продолжительности межфазных периодов развития, содержанию в плодах основных биохимических компонентов. Другие же выделенные генотипы по изучаемым количественным признакам находятся на уровне вариантов скрещивания или одной из исходных форм.

В связи с задачей настоящих исследований большой интерес представляют те выделенные генотипы, у которых имеются определенные цитологические изменения в геноме и которые отличаются от других гибридных растений варианта по каким-либо из изученных количественных признаков.

Генотип 717 ( $wt, br, j \times$  Red cherry) — псевдодоминант по всем трем маркерным генам. При цитологических исследованиях генома обнаружены нехватки во всех трех хромосомах, где расположены маркерные гены. В 1-й хромосоме выявлены две нехватки (см. рисунок, а, б — вкл.): одна в гетерохроматической зоне короткого плеча (1,34 мкм), а другая — в гетерохроматической зоне длинного плеча (1,73 мкм). В 5-й хромосоме в эухроматической зоне короткого плеча одна нехватка размером 1,6 мкм, а другая — 1,3 мкм. Кроме того, наблюдалась нехватка в окколоцентромерной зоне длинного плеча (см. рисунок, в). В 11-й хромосоме наблюдалась нехватка в гетерохроматине длинного плеча (1,91 мкм) и в эухроматине короткого плеча. Генотип отличается от исходных родителей более низким содержанием сухих веществ в плодах, масса плода значительно выше, чем у отцовской формы и ниже материнской, хотя в среднем она выше, чем у гибридов контрольного варианта и варианта с облученной пыльцой (см. таблицу).

Генотип 787 ( $wt, br, j \times$  Red cherry) псевдодоминант по двум маркерным генам ( $j$  и  $br$ ). Обнаружена нехватка в эухроматине короткого плеча 11-й хромосомы. Размер нехватки 6,3 мкм. Этот генотип по размеру плода превосходит как родительские формы, так и средние по гибридным вариантам (контрольный и с облученной пыльцой), а по содержанию аскорбиновой кислоты уступает только отцовской форме.

Генотипы 1164, 1165, 1168, 1187, 1216, 1251 ( $mc \times$  Персики) — псевдодоминанты по гену  $mc$ . Цитологические исследования выявили, что в геномах этих генотипов нехватки относятся главным образом к 5-й хромосоме, к зоне маркерного гена и отличаются они по размеру.

В геномах 1168, 1164 и 1165 нехватку идентифицировали в эухроматической зоне короткого плеча 5-й хромосомы (см. рисунок, г). Раз-

Сравнительная характеристика веса и содержания биохимических компонентов плода исходных форм, вариантов скрещивания и псевдодоминантных генотипов

Исходные формы, варианты скрещивания, генотипы	Нехватки хромосом:	Средняя масса плода, г	Сухие вещества, мг%	Аскорбиновая кислота, мг%	Титруемая кислотность, %
Red cherry		5,1	7,4	36,4	0,63
Персики		78,1	7,7	30,1	0,51
$wt, br, j$		46,0	7,1	26,5	0,39
$wt, br, j \times$ Red cherry (контроль)		13,0	7,3	29,3	0,48
$wt, br, j \times$ Red cherry (облучение)		28,8	7,2	28,5	0,48
717 ( $wt, br, j$ )	1-я ( $S$ и $L$ ), 5-я ( $L$ )				
	11-я ( $S$ )	33,8	6,3	26,0	0,50
	11-я ( $S$ )	56,8	6,7	32,0	0,50
	$mc$	34,3	6,7	25,0	0,51
$mc \times$ Персики (контроль)		56,5	7,7	29,5	0,62
$mc \times$ Персики (облучение)		38,5	6,4	24,1	0,45
1168	5-я ( $S$ )	22,8	6,4	25,0	0,40
1165	5-я ( $S$ )	24,6	7,2	26,0	0,40
1216	7-я ( $S$ )	30,9	6,8	27,0	0,40
1251	5-я ( $S$ )	43,3	6,3	20,0	0,54
1164	5-я ( $S$ )	24,6	—	—	—
$ch, br$		11,8	7,1	26,2	0,52
$ch, br \times$ Red cherry (контроль)		9,8	8,2	25,5	0,54
$ch, br \times$ Red cherry (облучение)		7,7	7,9	28,3	0,56
194	5-я ( $S$ )	10,5	9,0	21,8	—
$var$		52,7	6,0	24,8	0,49
$var \times$ Персики (контроль)		42,4	8,5	30,4	0,46
$var \times$ Персики (облучение)		43,0	7,7	26,8	0,47
1537	2-я ( $S$ )	45,0	7,0	22,0	0,52

мер максимальной нехватки 13,6 мкм. У этих генотипов средняя масса плода и содержание титруемых кислот в плодах меньше по сравнению как с исходными формами, так и со средними по вариантам (см. таблицу).

В геноме 1251 имеется нехватка (8,31 мкм) в коротком плече 5-й хромосомы, охватывающая всю эухроматическую зону и часть гетерохроматической зоны. Генотип отличается от исходных форм контрольных гибридов и от варианта с облученной пыльцой более пониженным содержанием аскорбиновой кислоты в плодах (см. таблицу).

Небольшая нехватка обнаружена в гетерохроматине короткого плеча 5-й хромосомы (0,67 мкм) в геноме гибрида 1187. Помимо этого, нехватки были обнаружены в 1-й хромосоме короткого плеча (3,44 мкм), в 6-й (0,69 мкм), в 7-й (3,86 мкм) и в гетерохроматине короткого плеча 12-й хромосомы.

Несмотря на то, что гибрид 1216 является псевдодоминантом, в 5-й хромосоме его генома не обнаружены нехватки. Небольшая нехватка (1,44 мкм) идентифицирована в гетерохроматической зоне короткого плеча 7-й хромосомы. Этот генотип, как и предыдущие 1168 и 1165, отличается от исходных форм и средних показателей гибридов более мелкими плодами и пониженным содержанием титруемых кислот.

Генотип 194 ( $ch, br \times$  Red cherry) — псевдодоминант по гену  $br$ , относящемуся к 1-й хромосоме короткого плеча. При цитологическом анализе генома каких-либо существенных отклонений не обнаружили. Небольшую нехватку идентифицировали в эухроматической зоне длинного плеча 5-й хромосомы. Размер нехватки 0,38 мкм. У этого геноти-

на более повышенное содержание сухих веществ и пониженное содержание аскорбиновой кислоты в плодах.

**Генотип 1537** (*var* × Персяки) — псевдодоминант по гену *var*, относящемуся к 7-й хромосоме короткого плеча. В этом геноме во 2-й хромосоме у одного гомолога отсутствует спутник (нехватка 4,6 мкм). По размеру плода, содержанию биохимических компонентов в плодах и продолжительности межфазных периодов генотип находится на уровне исходных форм и средних показателей гибридов.

**Генотип 1379** (*var* × Red cherry) — псевдодоминант по гену *var*. Результаты цитологических исследований показали, что небольшая нехватка выделяется в гетерохроматине длинного плеча 11-й хромосомы (см. рисунок, *δ*). Размер нехватки 1,6 мкм.

Приведенные данные показывают, что в результате  $\gamma$ -облучения пыльцы в геномах Red cherry и Персяки индуцированы нехватки хромосом, которые могут соответствовать зоне маркерного гена, кроме того, они могут одновременно обнаруживаться и в других хромосомах генома, или только в тех, где локализован маркерный ген.

Помимо того, многие псевдодоминанты отличаются от исходных родительских форм, контрольных гибридов и средних значений по варианту с использованием опыления  $\gamma$ -облученной пыльцы по некоторым изучаемым количественным признакам. Поэтому можно полагать, что в данных участках хромосом с нехватками локализованы гены, контролирующие соответствующие количественные признаки.

Определенный интерес представляют и генотипы вариантов от опыления облученной пыльцой, отличающиеся по морфологическим признакам и имеющие некоторые цитологические изменения в геноме.

**Генотип 449** (*r* × Персяки) резко отличается от других гибридных растений варианта. По габитусу куста, форме листьев и размеру плодов подобен *L. esculentum* *var. pimpinellifolium*. Межфазные периоды развития (всходы — цветение и всходы — созревание) более короткие. Содержание аскорбиновой кислоты и титруемых кислот в плодах более высокое. В геноме этого растения в 10-й хромосоме длинного плеча отсутствует участок гетерохроматина размером в 2 мкм.

**Генотип 528** (*atn* × Red cherry) по габитусу куста и по другим морфологическим признакам аналогичен контрольному гибридну, но отличается от него главным образом по числу камер (трехкамерный). Цитологические наблюдения выявили, что в районе центромеры короткого плеча 2-й хромосомы наблюдается петля, часто гомологи не конъюгируют.

**Генотип 903** (*wt, br, j* × Персяки) отличается от других гибридных растений варианта сильно фасцированными цветками и плодами. Помимо того, отмечено высокое содержание сухих веществ и более низкое — аскорбиновой кислоты и титруемых кислот в плодах. В мейозе этого растения две пары хромосом конъюгируют аномально и образуют либо тетравалент, либо тривалент и унивалент, что указывает на индуцированную транслокацию при обработке пыльцы  $\gamma$ -лучами.

**Генотип 1047** (*mc* × Red cherry) с шаровидным габитусом куста, коротким междуузлием и сильно курчавыми листьями, почти стерильный. Растение завязало только несколько очень мелких и малосемянных плодов. Цитологические исследования показали, что это трисомик (см. рисунок, *e*), возникший спонтанно. Как и следовало ожидать, излишняя хромосома способствовала конъюгации хромосом в профазе мейоза с некоторыми аномалиями, приводящими к образованию гамет с несбалансированным числом хромосом и к частичной стерильности

растений. Отмечено, что в данном генотипе вторые гомологичные хромосомы в зоне спутника часто не конъюгируют. Кроме того, в зоне спутника короткого плеча 2-й хромосомы обнаружена нехватка 4,5 мкм (см. рисунок, *ж*).

**Генотип 1519** (*var* × Персяки) мало чем отличается от других растений по варианту, за исключением пониженной завязываемости плодов. Пониженная fertильность, очевидно, связана с индуцированием транслокации между 1-й и какой-то другой хромосомой набора в результате обработки пыльцы Персяки  $\gamma$ -лучами. В диакинезе транслокационные хромосомы образуют тетраваленты (см. рисунок, *з*).

Таким образом, различные индуцированные аберрации хромосом в геноме томатов отражаются на проявлении альтернативных и количественных признаков неодинаково. В одних случаях аберрации хромосом способствуют резкому изменению морфологических признаков с сохранением нормальной fertильности, в других — изменяются как морфологические признаки, так и fertильность растений, в третьих — некоторые хромосомные аберрации сказываются незначительно на жизнеспособности, fertильности во всем их многообразии.

### Обсуждение результатов

Обрабатывая пыльцу культурного томата (Персяки) и разновидность дикого томата Red cherry  $\gamma$ -лучами (5 кР) и опыляя ее маркерными формами, обнаружили, что гибридные популяции первого поколения по морфологическим признакам неодинаковы. Наряду с обычными гибридными растениями встречались псевдодоминантные растения и растения, отличающиеся от контрольных гибридов по другим немаркерным морфологическим признакам. Как среди обычных гибридных генотипов, так и среди генотипов, отличающихся по маркерным и другим морфологическим признакам, выделились генотипы с меньшей или большей продолжительностью межфазных периодов развития, с более низким или более высоким содержанием отдельных биохимических компонентов плода.

Цитологическое исследование многих выделенных форм, отличающихся от контрольных вариантов по ряду морфологических, фенологических и биохимических признаков, показали, что индуцированные изменения имеют различную природу. В результате  $\gamma$ -облучения пыльцы (5 кР) в геномах Персяки и Red cherry были индуцированы различные структурные изменения, затрагивающие некоторые хромосомы генома и гены как отдельные структуры.

При этом мы допускаем, что вероятность индуцирования хромосомных аберраций в маркированных и других хромосомах генома одинакова. Кроме того, возможно, не все цитологические и точковые индуцированные изменения генома отражались на проявлении морфологических, биохимических и других признаков гибридных генотипов.

В связи с этим необходимо отметить, что все исследованные нами псевдодоминанты и генотипы с измененной морфологией отличались и по определенным количественным признакам.

Если количественные признаки контролируются определенными блоками генов, расположенными в отдельных участках хромосом генома, то индуцированная нехватка хромосом влечет за собой изменение соответствующих количественных признаков у гибридов *F*<sub>1</sub> в противоположную сторону. Так, у гибридов *F*<sub>1</sub> с Red cherry с индуцированными нехватками хромосом ожидалось, что средняя масса плода

будет выше, а содержание сухих веществ, аскорбиновой кислоты, титруемых кислот — ниже. У гибридов же с Персяки ожидалось уменьшение массы плода, а также содержания сухих веществ, аскорбиновой кислоты и титруемых кислот. На самом деле псевдодоминанты 717 и 787 (*wt, br, j* × Red cherry) по сравнению с контрольным вариантом характеризуются более крупными плодами, а псевдодоминанты 1165, 1168, 1164, 1216, 1251 (*mc* × Персяки) — более мелкими.

В плодах псевдодоминантов 717, 787 (*wt, br, j* × Red cherry) и 1168, 1165, 1216, 1251 (*mc* × Персяки) по сравнению с контрольными гибридами отмечено более низкое содержание сухих веществ. У некоторых изученных нами псевдодоминантов наблюдается уменьшение содержания аскорбиновой кислоты в плодах: 717 (*wt, br, j*), 1168, 1165, 1216, 1251 (*mc* × Персяки) и 194 (*ch, br* × Red cherry). В плодах генотипов 1168, 1165, 1216, (*mc* × Персяки) содержание титруемой кислотности меньше, чем в контроле. Поэтому можно полагать, что в исключном участке хромосомы содержались гены, отвечающие за массу плода и содержание в нем некоторых биохимических компонентов.

**Выводы.** 1. Цитологический анализ псевдодоминантных генотипов и гибридных растений, отличающихся по другим (не маркерным) морфологическим признакам, показал, что обработка пыльцы Персяки и Red cherry γ-лучами (5 кР) индуцировала в геноме различные структурные изменения, в том числе нехватки хромосом. По величине максимальные нехватки хромосом обнаружены в 5-й хромосоме генома (13,6 и 10,3 мкм).

2. Так как под влиянием индуцированных нехваток и других aberrаций хромосом у некоторых гибридных генотипов средняя масса плода и содержание его отдельных биохимических компонентов изменились в противоположную сторону по сравнению с исходной отцовской формой, то можно предположить, что в данных нехватках или транслоцированных хромосомах локализованы гены или блоки генов, контролирующие данные признаки плода.

3. Наследование признаков размера плода, содержание сухих веществ и аскорбиновой кислоты у томатов находится под контролем генов, локализованных в 1, 5, 7 и 11-й хромосомах, а содержание титруемых кислот в 11-й и 7-й.

## ЛИТЕРАТУРА

- Грати В. Г., Жученко А. А., Андрющенко В. К., Грати М. И. Проявление некоторых хозяйствственно-ценных признаков у внутривидовых гибридов томата при опылении нормальной и у-облученной пыльцой.—Изв. АН МССР, Сер. биол. и хим. наук, 1980, № 1, с. 29—37.
- Barton D. W. Pachytene morphology of the tomato chromosome complement.—Amer. J. Botan., 1950, 37, p. 639—643.
- Brown S. W. The structure and meiotic behaviour of the differentiated chromosomes of tomato.—J. Genetics, 1949, 34, p. 437—461.
- Hagemann R., Snoad S. Paramutation (somatic conversion) at the sulfurea locus of *Lycopersicon esculentum*. V. The localisation of sulf.—J. Heredity, 1971, 27, N 3, p. 409—418.

Поступила 13.IV 1979

Е. В. РЕВИН, Г. П. КАРАИВАНОВ, А. И. РОТАРЬ

## ИЗМЕНЕНИЕ СОДЕРЖАНИЯ УГЛЕВОДОВ ЛИСТЬЕВ И ЗЕРНА ВЫСОКОЛИЗИНОВЫХ И ОБЫЧНЫХ ФОРМ КУКУРУЗЫ В ОНТОГЕНЕЗЕ

Открытие биохимического действия гена опак-2 повлекло за собой интенсивные физиолого-биохимические исследования кукурузы, определяющие целенаправленную селекцию на качество. Опаковая кукуруза, как известно, ценится главным образом из-за повышенного содержания незаменимой аминокислоты — лизина [9]. Основное внимание исследователей уделяется белку, его фракциям и аминокислотному составу в фазе полной спелости зерна, и лишь единичные работы касаются процессов его созревания. Следует учитывать, что питательная ценность кукурузы определяется прежде всего наличием в различных органах преобладающего количества углеводов [7]. Несмотря на это, изучению углеводного обмена в опаковых формах кукурузы не уделялось должного внимания.

Имеющиеся данные указывают на наличие в листьях и зерне кукурузы моносахаридов — рибозы, ксилозы, арабинозы, рамнозы, маннозы, глюкозы, фруктозы, дисахарида — сахарозы [2] и полисахаридов — крахмала, клетчатки. Наиболее значительна доля сахарозы, глюкозы, фруктозы и крахмала, которые и были выбраны нами для исследования. Целью настоящей работы являлось выяснение изменения содержания углеводов в различных опаковых и обычных гибридах кукурузы, полученных в результате прямых и обратных скрещиваний, и изучение степени влияния гена опак-2 на содержание углеводов в онтогенезе растений.

## Материалы и методы

Полевые опыты проводились в головном хозяйстве Молдавского научно-исследовательского института кукурузы и сорго научно-производственного объединения «Гибрид». Материалы для исследования — листья и зерно высоколизиновых и обычных гибридов кукурузы, полученных в результате скрещивания семи изогенных линий (A632, A619, W64A, W153R, C5, 0156, A554) по полной диаллельной схеме. Анализы проводили в фазах 5—6 и 10—12 листьев, цветения, молочной, восковой и полной спелости зерна. Сахара анализировали методом бумажной хроматографии на бумаге марки Ленинградская «М» [1]. Содержание крахмала определяли по методу Эверса [6], с использованием поляриметра. Результаты обработаны по Доспехову [5].

## Результаты и их обсуждение

Общей закономерностью в изменчивости содержания моносахаридов глюкозы и фруктозы в самоопыленных линиях и их опаковых аналогах в процессе развития растений кукурузы является снижение количества этих сахаров у них, начиная с фазы 5—6 листьев и до фазы полной спелости (табл. 1). Различие между аналогами состоит в том, что обычные линии содержат больше сахара в фазе 10—12 ли-

стьев, цветения и полной спелости, а высоколизиновые — в фазах 5—6 листьев, молочной и восковой спелости зерна.

В листьях обычных гибридов интенсивность накопления сахаров снижается до фазы цветения. В фазе молочной спелости количество глюкозы и фруктозы увеличивается до уровня их содержания в фазе 10—12 листьев, а в фазах восковой и полной спелости зерна — сильно уменьшается. Содержание сахаров во время цветения и восковой спелости зерна одинаково.

Процессы накопления глюкозы и фруктозы в листьях высоколизиновых и обычных гибридов аналогичны, однако в фазе молочной спелости зерна первые содержат в листьях больше глюкозы и фруктозы, чем обычные гибриды (см. табл. 1).

Наблюдались случаи, когда количество глюкозы и фруктозы в листьях высоколизиновых и обычных гибридов ( $C5 \times 0156$  и его опаковый аналог) повышается до конца периода цветения с последующим его уменьшением по мере созревания. Несмотря на отклонения от закономерности накопления сахаров, превосходство опакового аналога по содержанию моносахаридов в фазе молочной спелости сохраняется.

Содержание сахаров в зерне родительских и гибридных форм в процессе созревания уменьшается (табл. 2). На всех стадиях формирования и созревания зерна высоколизиновые гибриды характеризуются пониженным содержанием сахаров, но максимум различий между двумя типами гибридов наблюдался в фазе восковой спелости зерна. В этот период высоколизиновые гибриды по сравнению с обычными аналогами содержат сахарозы, глюкозы и фруктозы соответственно на 41,3, 34,7 и 16,0 относительных процентов меньше.

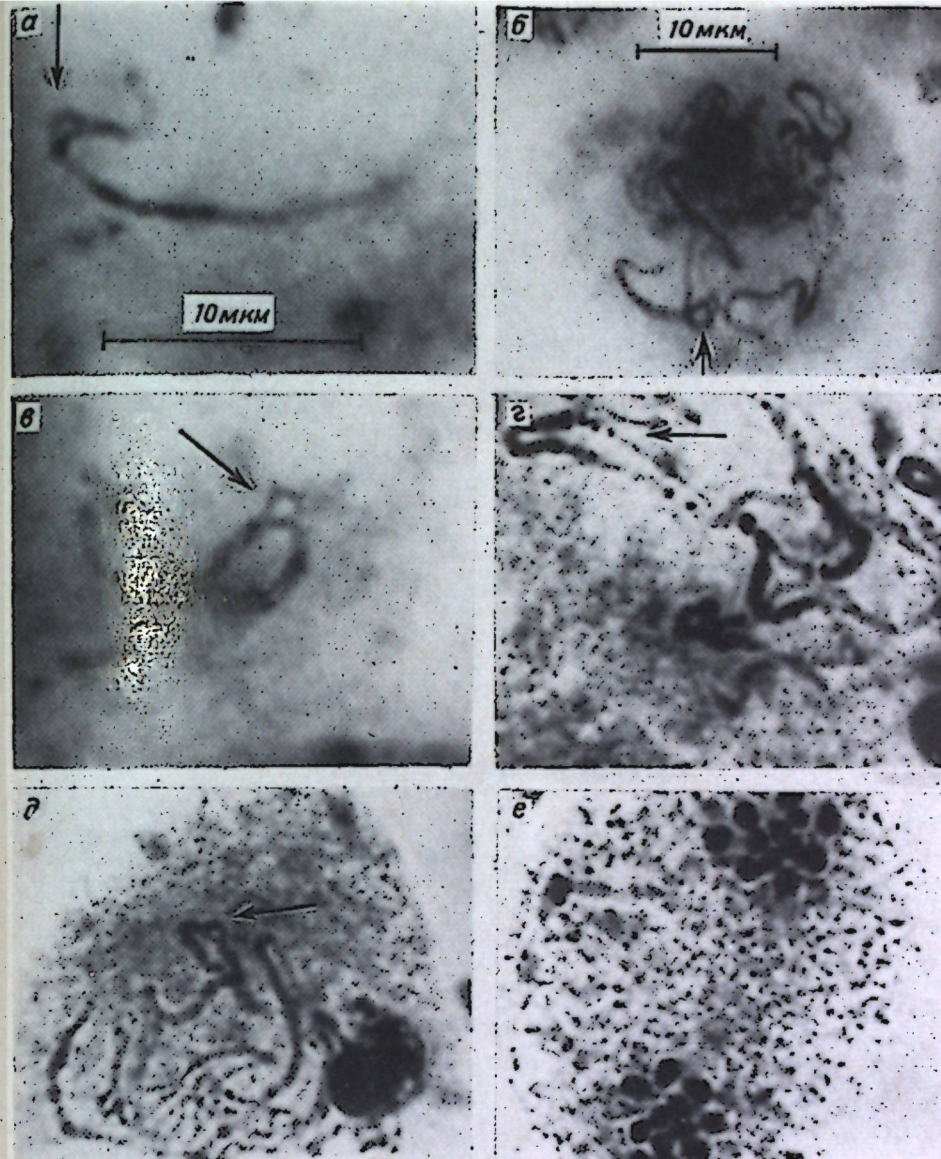
Содержание крахмала как быстро мобилизуемого полисахарида [2], накапливающегося от начала формирования зерна до фазы молочной спелости, достигает 44—46%, а в зрелом зерне кукурузы его уровень составляет в среднем 66—67% (см. табл. 2). Именно в этот промежуток времени происходит усиленное накопление крахмала. Полученные результаты согласуются с данными других исследователей [3, 8]. Высоколизиновые формы практически не отличаются от обыч-

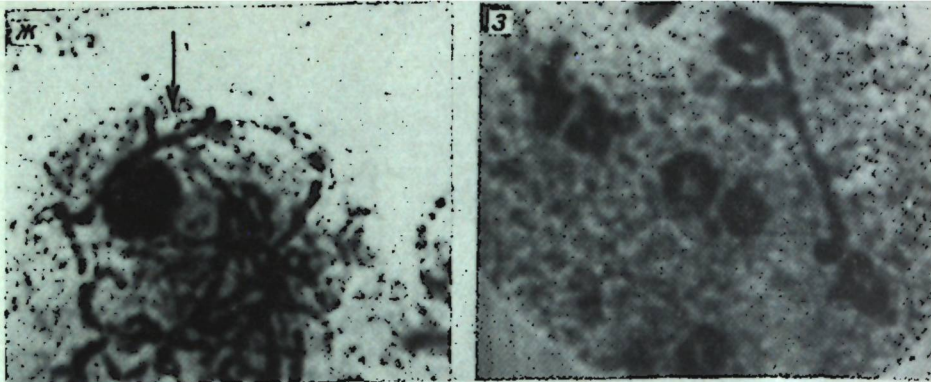
Таблица 1

Содержание глюкозы и фруктозы в листьях высоколизиновых ( $O_2/O_2$ ) и обычных (+/+) форм кукурузы по фазам развития растений, % на сухое вещество\*

Фаза развития	Моносахарид	Форма кукурузы		
		+/+ линии	$O_2/O_2$ линии	+/- гибриды
5—6 листьев	Глюкоза	3,50	3,84	3,02
	Фруктоза	3,30	4,09	3,30
10—12 листьев	Глюкоза	3,45	2,93	2,16
	Фруктоза	3,04	2,78	2,29
Цветение	Глюкоза	2,62	2,43	1,87
	Фруктоза	2,47	2,41	1,71
Молочная спелость зерна	Глюкоза	2,10	2,36	2,23
	Фруктоза	1,74	2,18	1,95
Восковая спелость зерна	Глюкоза	1,56	1,61	1,89
	Фруктоза	1,45	1,92	1,68
Полная спелость зерна	Глюкоза	0,95	0,59	0,53
	Фруктоза	0,96	0,59	0,52

\* Средние данные за 1976—1977 гг.





Различные перестройки хромосом, индуцированные  $\lambda$ -лучами (5 кР) у гибридов томата  $F_1$ :

*a* — нехватка в гетерохроматической зоне короткого плеча хромосомы 1 (*2l, br, j*  $\times$  Red cherry, 717); *b* — нехватка в гетерохроматической зоне длинного плеча хромосомы 1 (генотип тот же); *c* — нехватка в околоцентромерной зоне длинного плеча хромосомы 5 (генотип тот же); *d* — нехватка в эухроматической зоне короткого плеча хромосомы 5 (*ms*  $\times$  Персик, 1168); *e* — нехватка в гетерохроматической зоне длинного плеча хромосомы 11 (var  $\times$  Red cherry, 1379); *f* — излишняя хромосома за пределами ахроматического веретена в анафазе I (*mc*  $\times$  Red cherry, 1047); *g* — нехватка в зоне спутника хромосомы 2 (генотип тот же); *z* — транслокация в диакинезе гибрида 1519 (var  $\times$  Персик). Масштаб на микропрофиле *a* и *b* — *z* одинаков

К с. 26—29

Таблица 2

Изменения содержания углеводов в зерне обычных и высоколизиновых (ВЛ) форм кукурузы в процессе их созревания, % на сухое вещество

Образец	Количество образцов	Фаза созревания зерна					
		молочная спелость		восковая спелость		полная спелость	
		среднее	HCP <sub>os</sub>	среднее	HCP <sub>os</sub>	среднее	HCP <sub>os</sub>
<b>Крахмал*</b>							
Обычные линии	8	46,37	0,81	57,03	1,97	66,93	1,19
ВЛ линии	8	46,78		58,62		66,37	
Обычные гибриды	41	47,26	5,15	59,85	3,90	67,60	1,62
ВЛ гибриды	41	47,73		61,18		67,78	
<b>Сахароза**</b>							
Обычные линии	7	2,23	0,85	0,97	0,62	0,55	0,13
ВЛ линии	7	2,39		0,90		0,53	
Обычные гибриды	14	1,95	0,44	1,11	0,03	0,60	0,11
ВЛ гибриды	14	1,50		0,73		0,44	
<b>Глюкоза**</b>							
Обычные линии	7	2,32	0,74	1,00	0,34	0,47	0,34
ВЛ линии	7	2,02		0,98		0,45	
Обычные гибриды	14	1,60	0,18	0,95	0,22	0,49	0,13
ВЛ гибриды	14	1,87		0,60		0,36	
<b>Фруктоза**</b>							
Обычные линии	7	2,09	1,27	1,20	0,51	0,58	0,40
ВЛ линии	7	2,02		1,51		0,55	
Обычные гибриды	14	2,33	0,67	1,22	0,27	0,62	0,13
ВЛ гибриды	14	2,07		0,81		0,56	

\* Средние данные за 1976—1978 гг.

\*\* Средние данные за 1976—1977 гг.

ных аналогов по содержанию крахмала, хотя прослеживается тенденция к более ускоренному его накоплению у высоколизиновых форм. Следовательно, ген опак-2 не оказывает существенного влияния на процесс накопления крахмала в зерне [4]. Как у обычных, так и у высоколизиновых форм кукурузы синтезу крахмала предшествуют биосинтез и одновременный отток моносахаридов из листьев к початкам, которые прекращаются в фазе полной спелости, когда накопление крахмала достигает максимума, а содержание сахарозы и моносахаридов доходит до минимума. Следовательно, сахароза, глюкоза и фруктоза как у обычных, так и у высоколизиновых гибридов в одинаковой мере расходуются на синтез крахмала как запасного углевода зерна кукурузы.

Выводы. 1. Листья высоколизиновых гибридов по сравнению с обычными характеризуются повышенным содержанием глюкозы и фруктозы в фазе молочной спелости, а зерно — пониженным содержанием сахарозы и моносахаридов в фазе восковой спелости.

2. Различия в углеводном обмене в зерне между высоколизиновы-

ми и обычными формами кукурузы проявляются как в количественном содержании углеводов в зерле зерне, так и в характере их накопления на протяжении всего вегетационного периода.

3. Генотип линий и гибридов в значительной мере влияет на действие рецессивного аллеля гена опак-2, что отражается на особенностях накопления углеводов в листьях и зерне кукурузы.

#### ЛИТЕРАТУРА

1. Балтага С. В., Смыкова Н. А. Гемицеллюлозы растений кормового арбуза и количественные изменения их состава при вегетации и хранении плодов.— В сб.: Полисахариды плодов и овощей и их изменчивость при созревании и переработке. Кишинев, 1965.
2. Вавилов П. П., Шведова В. М., Рошевская Р. А. Содержание углеводов и протеина в растениях кукурузы.— Тр. Коми филиала АН СССР, 1967, № 16, с. 42—55.
3. Горбачева А. П., Рубинова С. С. Динамика накопления питательных веществ в кукурузе во время ее вегетации.— В сб.: Кормовое достоинство кукурузы. М., изд. Министерства сельск. хоз-ва СССР, 1959, с. 88—104.
4. Гурьев Б. П., Тымчук С. Я. Биохимическое изучение высококалициновых гибридов кукурузы.— Кукуруза, 1978, № 9, с. 21—23.
5. Доспехов Б. А. Методика полевого опыта. М., «Колос», 1979.
6. Ермаков А. И., Арасимович В. В., Смирнова-Иконникова М. И., Ярош Н. П., Луковникова Г. А. Методы биохимического исследования растений. Л., «Колос», 1972, с. 160—162.
7. Маркович Л. Л. Накопление углеводов в кукурузе.— Тр. Свердловск. с.-х. ин-та, 1960, т. 7, с. 235—238.
8. Трегубенко М. Я., Омельянец В. Ф. Физиологико-биохимическая характеристика семян кукурузы разных фаз развития и созревания.— В сб.: Селекция и физиология, технология и механизация возделывания кукурузы и других полевых культур. Днепропетровск, 1973, с. 77—81.
9. Mertz E. T., Bates L. S., Nelson O. E. Mutant gene that changes protein composition and increases lysine content of maize endosperm.— Science, 1964, 145, p. 279—280.

Поступила 13.IV 1979

## МИКРОБИОЛОГИЯ

Ж. П. ТЮРИНА, Т. В. ФИЛИППОВА

### ВЫДЕЛЕНИЕ И ОЧИСТКА СУММАРНОГО БЕЛКА ПИГМЕНТНЫХ ДРОЖЖЕЙ *RHODOTORULA GRACILIS K-1* И ИЗУЧЕНИЕ ЕГО СОСТАВА

Для оценки кормовых достоинств биомассы дрожжей важно знать не только количество, но и качество белковых веществ. Проблема изучения дрожжевого белка поднимается многими авторами [3, 6 и др.], однако белок пигментных дрожжей изучен сравнительно мало.

Целью нашей работы было выделить суммарный белок дрожжей *Rhodotorula gracilis K-1*, попытаться очистить его от небелковых примесей и изучить его состав.

#### Материалы и методы

Для исследования была использована биомасса дрожжей *Rhodotorula gracilis K-1*, выращенная на синтетической среде Лундина, г/л:  $(\text{NH}_4)_2\text{SO}_4$  1,  $\text{K}_2\text{HPO}_4$  1,  $\text{MgSO}_4$  1,  $\text{NaCl}$  0,5,  $\text{FeCl}_3$  следы, сахароза 50. Культура выращивалась в литровых колбах (по 150 мл в каждой колбе) на качалке при 28°C, в течение трех суток. Биомасса была трижды отмыта дистиллированной водой, отцентрифугирована и обезжирена смесью хлороформа и метанола (2:1), обработана ацетоном и доведена до воздушно-сухого состояния. Порошок был тщательно измельчен в яшмовой ступке, просеян через мелкое капроновое сито, и тончайшая мука использовалась для извлечения суммарного белка. Содержание азота в выделенном белке определяли по Кельдалю. ИК-спектры снимали на спектрофотометре Perkin Elmer в интервале длин волн 400—3600 см<sup>-1</sup>. Для определения содержания углеводов был использован фенолсерный метод [9]. При гель-хроматографии [2] применяли колонки размером 2—3,5 × 75—100 см, которые заполняли сефадексом Г-100. Скорость вытекания жидкости при набивке колонок была равна 8—10 мл/с·см<sup>2</sup>. Хроматографию проводили с той же скоростью. Для сбора фракций (3 мл) был использован автоматический коллекtor фракций типа 201 (ЧССР). Поскольку белок лучше растворим в щелочной среде, его элюировали трикс-буфером Сафонова pH 8,3.

Концентрацию белка в хроматографических фракциях определяли по величине экстинкций при 278 нм на спектрофотометре СФ-26. Электрофорез в поликариламидном геле проводили в щелочной среде по [4].

#### Результаты и их обсуждение

Как было показано в нашей предыдущей работе [7], для наиболее полного извлечения суммарного белка пигментных дрожжей не-

обходимо применение 1 н. раствора NaOH. Но в дальнейшем мы все же остановились на более слабой концентрации NaOH—0,2 н., при использовании которой белок не извлекается полно, но зато сохраняет свою нативность. Для получения суммарного белка была применена двукратная обработка обезжиренной биомассы раствором указанной концентрации; первый раз — в отношении 1:10, второй — в отношении 1:5. Белковый экстракт был отцентрифужирован, осажден сернокислым аммонием, отделизован против дистиллированной воды от ионов  $\text{Na}^+$  и лиофильно высушен. Содержание азота в полученном препарате, определенное по Кельдалю, в пересчете на сухой вес, 7,83%. Сравнительно низкий процент N говорит о том, что выделенный препарат содержит большое количество веществ небелковой природы, связи белка с которым настолько прочны, что ни переосаждение, ни длительный диализ не дают возможности разорвать их. Химический анализ показал наличие значительных количеств углеводов (27%) и небольшое количество нуклеиновых кислот (3,8%).

ИК-спектр (рис. 1) подтверждает результаты химического анализа. Изучаемый препарат является комплексом веществ белковой ( $1530 \text{ см}^{-1}$  и  $1650 \text{ см}^{-1}$ ) и углеводной ( $1000$ — $1100 \text{ см}^{-1}$ ) природы, а также содержит примесь нуклеиновых кислот с характерным для них поглощением фосфорноэфирных связей в области  $1250 \text{ см}^{-1}$ .

Мы попытались разрушить связи белка с углеводами, применяв щелочной гидролиз, и очистить его, используя гель-фильтрацию через сепадекс Г-100. На рис. 2 представлена кривая элюирования лиофилизированного белка, из которого видно, что суммарный белок дрожжей *Rhodotorula gracilis* K-1 состоит из двух основных и нескольких миорных компонентов. 1-й из двух основных компонентов по количеству в три-четыре раза превосходит 2-й. Поскольку высокомолекулярные вещества на сепадексах вымываются в первую очередь, заключаем, что 1-й компонент по сравнению со 2-м имеет более высокую молекулярную массу. Во всех хроматографических фракциях было определено содержание углеводов и показано, что все компоненты содержат значительное их количество. Таким образом, результаты гель-хроматографии подтверждают данные химического анализа и ИК-спектров о присутствии в исследуемом препарате веществ небелковой природы.

По мнению некоторых исследователей, при помощи мягкого щелочного гидролиза можно разорвать связи глютамина с углеводами и затем полностью очистить белок от их присутствия [5]. Мы воспользовались рекомендациями этих авторов и подвергли белок щелочному гидролизу в 0,05 н. растворе  $\text{Na}_2\text{CO}_3$ . На 100 мг белка было взято

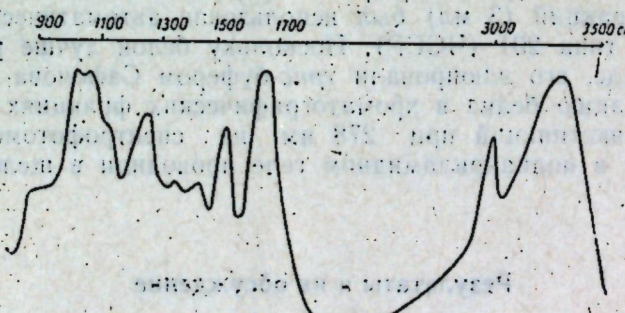


Рис. 1. ИК-спектр суммарного белка, выделенного из обезжиренной биомассы дрожжей.

10 мл щелочного раствора, гидролиз проводился в течение четырех часов при  $70^\circ\text{C}$ . Затем гидролизат был отфильтрован и нанесен на сепадекс Г-100. Как видно из рис. 3, кривая элюирования белка, подвернутого мягкому щелочному гидролизу, почти полностью повторяет кривую элюирования необработанного белка (см. рис. 2). Углеводы также присутствуют во всех фракциях. Очевидно, мягкого щелочного гидролиза не достаточно для разрушения связи белка с углеводами, и потому гель-фильтрацией на сепадексе Г-100 глютамина не очищается от них.

В связи с этим мы использовали более жесткий гидролиз с применением 0,2% NaOH (остальные условия прежние: гидролиз четыре часа при  $70^\circ\text{C}$ ). Отфильтрованный гидролизат был нанесен на колонку с сепадексом Г-100. Полученная кривая элюирования представлена на рис. 4. Здесь уже видны существенные изменения. Заметно увеличился 2-й пик и появились еще два небольших пика — 3-й и 4-й. Эти факты могут свидетельствовать о том, что в результате гидролиза в белке произошли структурные изменения и увеличилась доля низкомолекулярных соединений — пептидов или даже аминокислот, также поглощающих при длине волны 278 нм. Углеводы по-прежнему сопровождают все белковые фракции, но значительная их часть удаляется в конце элюирования в виде низкомолекулярных, также отцепившихся в результате гидролиза.

1-й и 2-й белковые компоненты, как количественно преобладающие, были собраны, осаждены сернокислым аммонием, отделизованы и высушены. Был проведен химический анализ 1-го компонента и определен его элементный состав, %: N 7,86, H 8,83, C 35,61. Низкое содержание азота в белковом препарате свидетельствует о том, что в нем по-прежнему велико количество небелковых веществ. Очевидно,

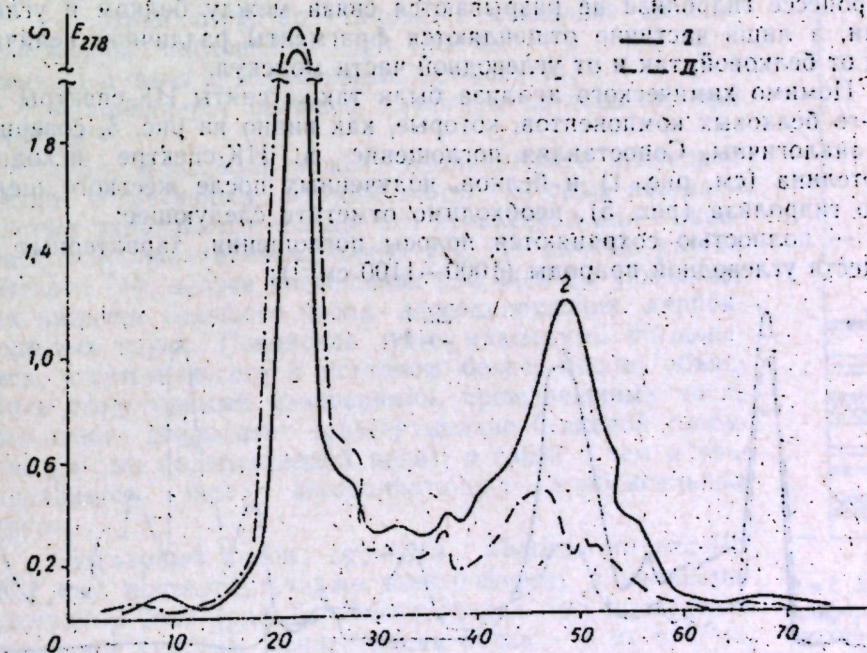


Рис. 2. Кривая элюирования суммарного белка, полученного из обезжиренной биомассы *Rhodotorula gracilis* K-1, на сепадексе Г-100:  
I — экстинкция при 278 нм; II — содержание углеводов в белковых элюатах.  
По оси абсцисс — количество фракций

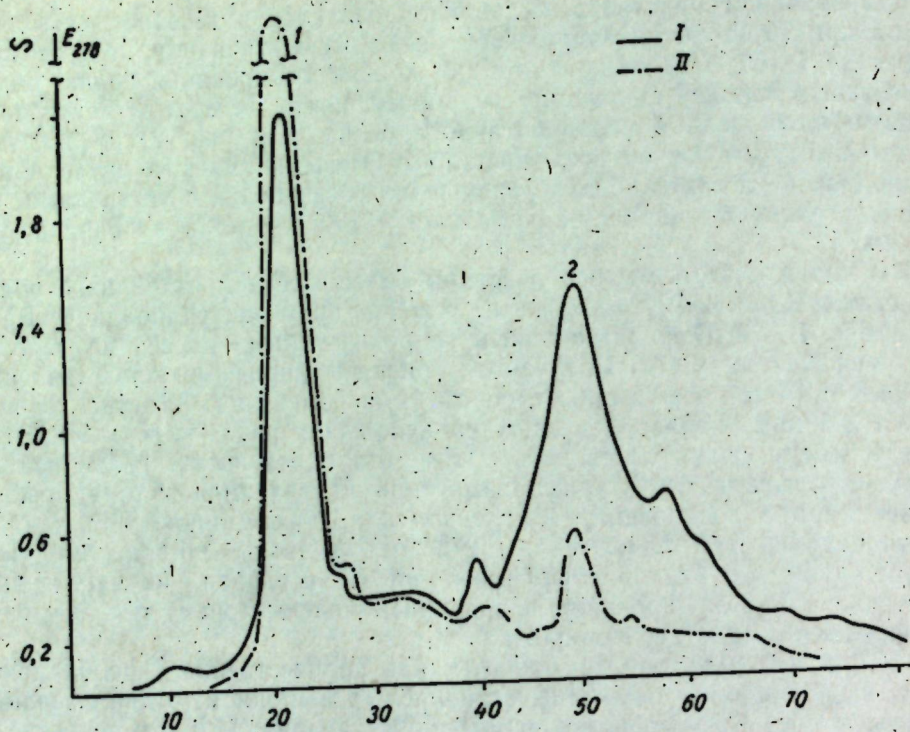


Рис. 3. Кривая элюирования на сепадексе Г-100 суммарного белка, подвергнутого предварительному гидролизу 0,05 н.  $\text{Na}_2\text{CO}_3$   
Обозначения, как на рис. 2

в процессе гидролиза не разрываются связи между белком и углеводами, а лишь частично отщепляются фрагменты различной величины как от белковой, так и от углеводной части молекул.

Помимо химического анализа были также сняты ИК-спектры 1-го и 2-го белковых компонентов, которые, как видно из рис. 5, совершенно аналогичны. Сопоставляя поглощение в ИК-спектре исходного глютелина (см. рис. 1) и белков, полученных после жесткого щелочного гидролиза (рис. 5), необходимо отметить следующее:

— полностью сохраняются полосы поглощения, характерные для веществ углеводной природы ( $1000-1100 \text{ см}^{-1}$ );

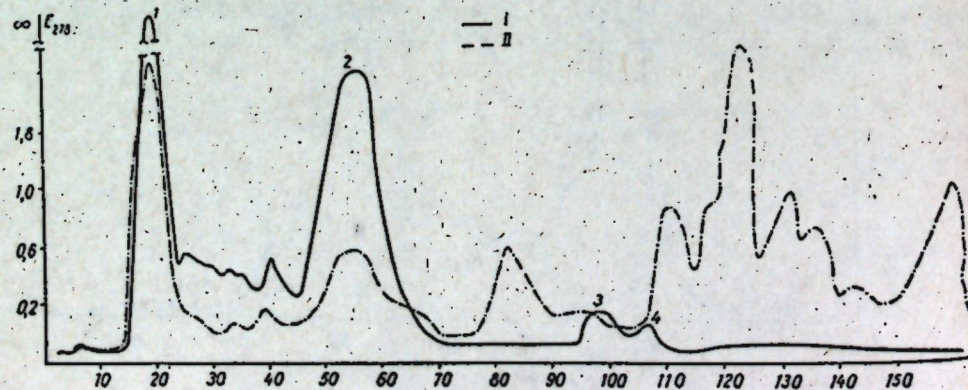


Рис. 4. Кривая элюирования на сепадексе Г-100 суммарного белка, подвергнутого предварительному гидролизу 0,2%  $\text{NaOH}$   
Обозначения, как на рис. 2

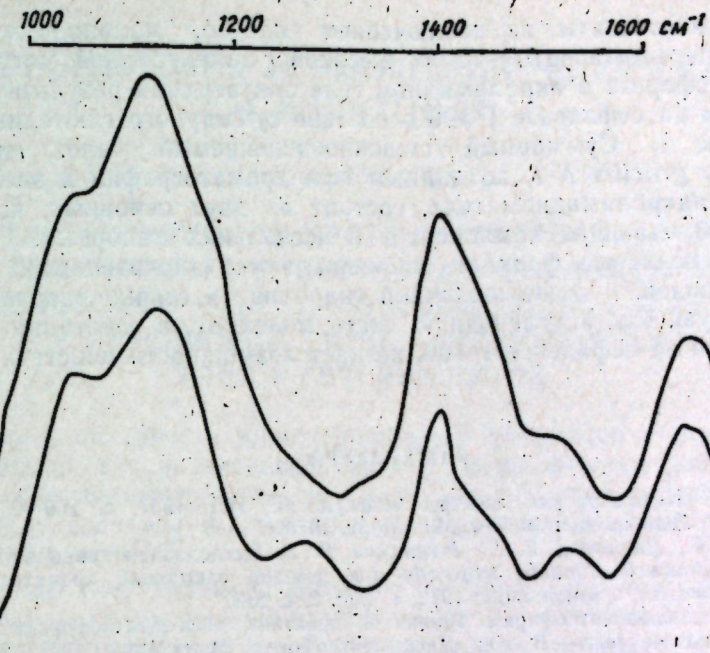


Рис. 5. ИК-спектры двух основных белковых компонентов, полученных из суммарного белка гель-фильтрацией на сепадексе Г-100 после щелочного гидролиза 0,2% раствором  $\text{NaOH}$

— почти исчезают полосы, характерные для фосфорноэфирных связей в области  $2150 \text{ см}^{-1}$ , что говорит о том, что белок освобождается от примеси нуклеиновых кислот;

— сохраняются, но становятся несколько меньше максимумы поглощения при  $1530 \text{ см}^{-1}$  и  $1650 \text{ см}^{-1}$  (амид 1 и амид 2, характерные для белков);

— появляется большой максимум поглощения при  $1400 \text{ см}^{-1}$ .

Этот максимум может принадлежать пептидной группе с третичным атомом азота, который является частью пиррольного кольца, что характерно для аминокислот пролина и оксипролина [8]. По мнению других авторов [1], полоса поглощения при  $1400 \text{ см}^{-1}$  указывает на наличие большого числа диссоциирующих карбоксильных групп. Появление этого максимума поглощения, отсутствующего в исходном белке, можно объяснить структурными изменениями, произошедшими после щелочного гидролиза (развертывание белковой глобулы, разрыв полипептидной цепи), в связи с чем и увеличивается число диссоциирующих карбоксильных групп.

Суммарный белок дрожжей *Rhodotorula gracilis* K-1 был подвергнут также электрофорезу в поликариламидном геле (рис. 6). Электрофорез был проведен в щелочной системе. Концентрация белка — 1 мг в 1 мл. Как видно из схемы, суммарный глютелин пигментных дрожжей состоит из двух основных, количественно преобладающих компонентов и нескольких (пять—шесть) миорных, присутствующих в незначительном количе-



Рис. 6. Электрофорез в поликариламидном геле суммарного белка дрожжей *Rhodotorula gracilis* K-1

стве. Все компоненты, за исключением одного, малоподвижны, что может свидетельствовать об их высокой молекулярной массе. Данные электрофореза в акриламидном геле подтвердили результаты гель-фильтрации на сепадексе Г-100 о составе суммарного глютелина.

**Выводы.** 1. Суммарный щелочноизвлекаемый белок дрожжей *Rhodotorula gracilis K-1*, по данным гель-хроматографии и электрофореза в полиакриламидном геле, состоит из двух основных, количественно преобладающих компонентов и нескольких миорных.

2. Все белковые фракции сопровождаются значительным количеством углеводов, и даже щелочной гидролиз (частично разрушающий как белковую, так и углеводную часть молекул), в сочетании с гель-фильтрацией на сепадексе Г-100, не дает возможности очистить от них белок.

#### ЛИТЕРАТУРА

1. Беллами Л. Инфракрасные спектры молекул. М., ИЛ, 1957, с. 269—270.
2. Детерман Г. Гель-хроматография. М., «Мир», 1970.
3. Корчак О. Б., Давыдова Е. Г., Рачинский В. В. Исследование водорастворимого белка дрожжей *Candida tropicalis* при помощи элютивной хроматографии.—Прикл. биохим. и микробиол., 1972, 8, вып. 2, с. 215.
4. Маурер Г. Диск-электрофорез. Теория и практика диск-электрофореза в полиакриламидном геле.—В кн.: Диск-электрофорез. М., «Мир», 1971, 247 с.
5. Медведева Е. И., Селич Е. Ф., Лукина Г. Д., Зайденберг Р. Д., Божко И. Г. Изучение возможного характера связи углеводов с пептидной цепью глютелина.—Химия природных соединений, 1973, вып. 2, с. 229.
6. Садкова Н. П., Вальковский Д. Г., Козлова Н. И., Тимофеева Г. И., Козлова В. А., Рогожин С. В., Павлова С. А. Выделение и некоторые свойства фракций глютенинов дрожжей рода *Candida*.—Биохимия, 1974, 39, 6, с. 1252.
7. Тюрина Ж. П., Филиппова Т. В. Фракционирование как предварительная характеристика качества белка пигментных дрожжей.—Изв. АН МССР, Сер. биол. и хим. наук, 1978, № 3, с. 65.
8. Чиргадзе Ю. Н. Инфракрасные спектры и структура полипептидов и белков. М., «Наука», 1965, с. 43—44.
9. Dubois M., Gilles K., Hamilton J., Rebers P., Shitt F. Colorimetric method for determination of Sugars and related substances.—Analit. Chem., 1956, 28, N 3, p. 350.

Поступила 12.II.1979

## ФИЗИОЛОГИЯ И БИОХИМИЯ ЧЕЛОВЕКА И ЖИВОТНЫХ

А. Б. ВЕРЕЩАГИНА

### ДИНАМИКА АКТИВНОСТИ ПРОТЕОЛИТИЧЕСКИХ ФЕРМЕНТОВ В КИШЕЧНИКЕ ВИНОГРАДНОЙ ФИЛЛОКСЕРЫ (*VITEUS VITIFOLII* FITCH), БОБОВОЙ (*APHIS FABAEE* SCOP.) И ПЕРСИКОВОЙ (*MYZUS PERSICAES* SULZ.) ТЛЕЙ В ТЕЧЕНИЕ СУТОК

Набор и активность пищеварительных ферментов у всех животных находятся в коррелятивной связи с биохимическим составом пищи. Чем специализированнее вид, тем большее соответствие должно быть между составом и активностью пищеварительных ферментов и получаемой пищей [5].

Все виды тлей являются фитофагами: одни питаются соком флоэмы, другие — соком паренхимных тканей. В состав их пищи входит значительное количество сахарозы и свободных аминокислот [7]. Ден [8] исследовала состав сока флоэмы у четырех видов травянистых растений. Лишь у одного из них (*Cirsium arvense* L.) было обнаружено небольшое количество дипептида. Известно, что флоэмный сок многих растений не содержит белка [2, 8]. Однако в кишечнике тлей обеих групп была обнаружена активность протеолитических ферментов [2], роль которых в пищеварении не выяснена. Вероятно, с пищей тли всасывают много слюны, которую они предварительно вводят в субстрат. В этом случае протеаза им необходима для переваривания белков слюны, попавших в кишечник [3]. У тлей обнаружено два вида слюны: вязкая и водянисто-жидкая, в которой, возможно, содержатся ферменты. Достаточно подробно изучены секреция и состав слюны у молочайного клопа *Oncopeltus fasciatus* Dall. [12]. Небольшие количества белков найдены в вязкой слюне, которая образует чехлик и поэтому не может попасть в кишечник насекомого. В водянисто-жидкой слюне клопа обнаружены лишь следовые количества растворимых в воде белков. Если состав слюны тлей такой же, то упомянутое предположение неубедительно.

В нашу задачу входило изучение суточных колебаний активности протеолитических ферментов в кишечнике тлей различной пищевой специализации. Объекты исследования — два вида свободноживущих полифагов: черная бобовая тля (*Aphis fabae* Scop.), зеленая персиковая тля (*Myzus persicae* Sulz.) и монофаг, галлообразователь — виноградная филлоксера (*Viteus vitifolii* Fitch.).

Мы выдвинули два следующих предположения. Поскольку в составе растительного сока в течение суток происходят количественные колебания, то они, вероятно, должны отразиться на активности пищеварительных ферментов. Можно было ожидать, что они проявятся у всех трех видов. Помимо изменения состава пищи активность протеолитических ферментов в кишечнике тлей может колебаться и по другой причине. Мы предположили, что функция кишечных протеаз тлей состоит в расщеплении запасных питательных веществ белковой природы. В этом случае характер динамики активности ферментов у

«свободноживущих» тлей должен быть иным, чем у филлоксеры. Для филлоксеры характерна высокая репродуктивная способность, что связано с большой интенсивностью питания. Так как она обладает закрытым кишечником, выделение «отработанного» растительного сока может происходить только путем периодического отрыгивания содержимого кишечника в галл (регургтация) [4]. Мы ожидали, что активность протеолитических ферментов будет различной в периоды всасывания пищи и в периоды регургтации, в течение которых должна происходить реализация запасных веществ.

### Материалы и методы

В каждом опыте все насекомые были взяты с одного растения. Отбирали одинаковых по весу и по возрасту самок. Растение-хозяин содержалось при естественном освещении и температуре 18–20°. Методика препарирования насекомых и влияние pH субстрата на активность протеолитических ферментов гомогенатов кишечников тлей описаны в [2].

Субстратами служили растворы казеина (4%) или желатины (1,25%) в цитрат-фосфатном буфере при pH соответственно 5,6 и 5,0. Активность фермента в основном определяли через каждые два часа в течение суток.

*Определение активности протеолитических ферментов нингидриновым методом с желатиной в качестве субстрата.* Этим методом определялась активность протеолитических ферментов пищеварительного тракта филлоксеры и бобовой тли (растение-хозяин — бобы).

Отпрепарированные кишечники собирали в каплю дистиллированной воды у входа стеклянного микроцилиндра. Гомогенизацию производили стеклянной палочкой с шариком, пришлифованным ко дну и стенкам цилиндра. Затем палочку дважды промывали дистиллированной водой. Объем гомогената с помощью микропипетки доводили до 10 мкл. При работе с филлоксерой в 10 мкл гомогената содержалось пять кишечников, с бобовой тлей — три.

Инкубацию проводили в тонкостенных микропробирках (ампулах). В каждую ампулу вносили 2 мкл гомогената и 2 мкл забуференной желатины. Параллельно ставили два контроля: 1) гомогенат + + вода; 2) желатина + вода (по 2 мкл каждого раствора). Повторность проб двукратная. После внесения всех компонентов содержимое каждой ампулы тщательно перемешивали при помощи вращения. Инкубировали в термостате УТ-15 во влажной камере в течение часа при 38°. После инкубации в каждую ампулу добавляли 20 мкл воды, содержимое центрифугировали, ампулы запаивали и перемешивали встряхиванием.

Прирост аминного азота определяли по методу Мура и Штейна в микроварианте. Для проведения цветной реакции в ампулу вносили 5 мкл разведенного инкубата, 10 мкл промывных вод, 10 мкл 2 н. ацетатного буфера и 20 мкл нингидринового реагента (3 мг аскорбиновой кислоты растворяли в 5 мл очищенного от перекисей метилцеллозы, после растворения добавляли 60 мг нингидрина). Следы растворов удаляли со стенок центрифугированием, ампулы запаивали, содержимое перемешивали, снова центрифугировали и ставили на водянную баню на 20 минут. После этого ампулы охлаждали. Оптическую плотность растворов определяли в микрокюветах емкостью 30 мкл [3] на спектрофотометре СФ-16 при длине волны 570 нм.

*Определение активности протеолитических ферментов реагентом Фолина с казеином в качестве субстрата.* Этим методом определяли активность протеолитических ферментов кишечника *M. persicae* (растение-хозяин — редька) и *A. fabae* (растение-хозяин — лебеда). Материал по персиковой тле состоял из 10 кишечников в 10 мкл гомогената, срок инкубации 1,5 часа, по бобовой тле — один кишечник в 20 мкл гомогената и срок инкубации 1 час. В остальном техника подготовки проб и инкубация не отличались от описанных выше. После инкубации в ампулы добавляли по 20 мкл 0,3 н. ТХУ для осаждения казеина. Ампулы запаивали, содержимое перемешивали и центрифугировали. Для проведения цветной реакции в пробирку вносили 10 мкл надосадочной жидкости, 10 мкл реагента Фолина (перед добавлением разбавляли водой в два раза) и 15 мкл 40% раствора углекислого натрия. Содержимое ампул перемешивали и через 20–30 минут определяли оптическую плотность при длине волны 730 нм.

Ошибка колориметрического метода при использовании казеина в качестве субстрата равна 2,5%, желатины — 3,2%.

### Результаты и их обсуждение

Данные по определению изменений активности протеолитических ферментов в кишечнике персиковой (растение-хозяин — редька) и бобовой (растение-хозяин — лебеда) тлей приведены на рис. 1. В опыте с персиковой тлей в одно и то же время суток сделано от двух до пяти повторных определений, с бобовой — от двух до восьми. В обоих случаях существенной разницы между значениями оптической плотности в разное время суток не было. Для этих значений отмечен сравнительно небольшой коэффициент вариации: 10% (персиковая тля) и 16,8% (бобовая тля).

На рис. 2 представлены графики активности протеолитических ферментов в кишечнике филлоксеры и бобовой тли, питавшейся на бобах, в разное время суток. Для каждой временной точки в опыте с филлоксерой было от четырех до 12 повторностей, с бобовой тлей — четыре-пять.

У бобовой тли во всех опытах была определена индивидуальная масса всех особей, из которых извлекались кишечники для гомогената. Средняя масса тли во всех определениях была равна  $788 \pm 35$  мкг. Коэффициент вариации значений оптической плотности в среднем 4,3%. Как видно из рис. 2, кривая 2 значений оптической плотности не

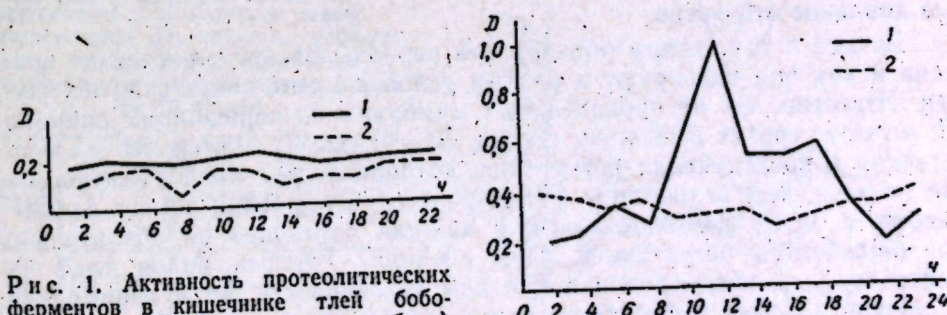


Рис. 1. Активность протеолитических ферментов в кишечнике тлей бобовой (1) (растение-хозяин — лебеда) и персиковой (2) (растение-хозяин — редька)

По оси ординат на рис. 1–3 — активность протеазы (D) в единицах оптической плотности

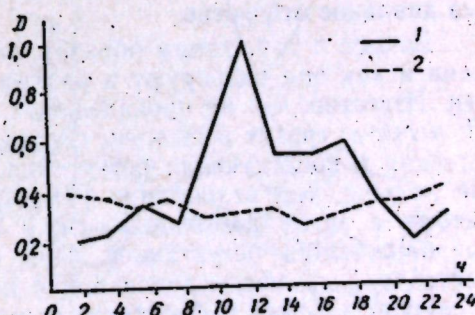


Рис. 2. Активность протеолитических ферментов в кишечнике филлоксеры (1) и бобовой тли (2) (растение-хозяин — бобы)

имеет резких подъемов и спадов. Достоверность оценивали по критерию Стьюдента. Существенная на 1% уровне разница была найдена лишь для измерений в 15 и 23 часа. Согласно этим данным, максимум активности приходится на ночное время (0,390), а минимум — на дневное (0,249). В целом значения активности выше ночью (19—7 часов), чем днем (9—17 часов); различия существенны на 1% уровне.

В наших опытах с персиковой (растение-хозяин — редька) и бобовой (растение-хозяин — лебеда) тлями не обнаружено циркадного ритма активности протеолитических ферментов в кишечнике. У бобовой тли (растение-хозяин — бобы) при использовании более чувствительного метода обнаружен один небольшой пик активности.

В опытах с личинками *M. persicae*, выращиваемыми на искусственной диете, авторы [11] показали, что частота выделения экскрементов варьирует в различных экспериментальных условиях и главным образом зависит от состава пищи и фотопериода. Эти же авторы [10] обнаружили, что содержание аминокислот и углеводов в медвяной росе личинок *M. persicae* варьирует в зависимости от состава питательной среды и от времени суток. Максимальное содержание углеводов в экскрементах обнаружено в 18—20 часов, минимальное — в 12 часов, содержание же растворимого азота падало с 11 до 20 часов (в другое время суток опыты не проводились). Такие изменения, видимо, обусловлены различным содержанием питательных веществ в составе пищи тлей (сока флоэмы) в разное время суток.

Помимо выделения экскрементов через анальное отверстие тли время от времени могут отрыгивать содержимое кишечника в питательную среду [9]. Ритм работы слюнного насоса был изучен электрофизиологическим методом (Hodges, McLean, 1969, цит. по [9]). Были получены и идентифицированы графики, соответствующие слюноотделению, всасыванию и, по-видимому, регургации, причиной которой может быть необходимость в быстром выведении из кишечника каких-то веществ. Возможно, эти вещества представляют собой продукты метаболизма или неусвоенные компоненты поглощенной пищи. Химический состав «отрыжки» в настоящее время не изучен. Другой причиной регургации может быть закупорка пищевого канала стилем тли [9].

Питание тли схематически можно представить следующим образом: 1) проникновение стильтов в ткань, выделение при этом вязкой слюны с образованием чехлика; 2) всасывание пищи и периодическое выделение водянисто-жидкой слюны (как правило, в это время всасывания не происходит); 3) регургация; 4) выделение экскрементов через анальное отверстие.

Вопрос о том, каким образом эти периоды распределяются во времени и как они варьируют в разных условиях, еще достаточно не изучен. Известно, что прокалывание мембранны из парафильма личинки *M. persicae* тратит несколько секунд, 30—40 секунд длится период всасывания и последующая регургация, которая может продолжаться даже дольше, чем всасывание [9]. Процесс всасывания может прерываться, а затем возобновляться, и каждая остановка не обязательно сопровождается регургацией. При питании четырех видов тлей на растениях картофеля различной к ним устойчивости фазы всасывания и слюноотделения были разными на разных сортах [6]. Таким образом, длительность и частота всех периодов могут меняться и зависят преимущественно от состава пищи и некоторых экологических факторов [6, 11].

Пищевая специализация филлоксеры и непрерывность процесса

питания обусловливают очень тесную зависимость обменных процессов в ее организме от состава пищи. Способность тлей отрыгивать часть содержимого кишечника явилась, очевидно, эволюционной предпосылкой для выработки у филлоксеры механизма экскреции путем «отрыжки». Если у тлей с типичным строением кишечника регургация играет какую-то вспомогательную роль, то для филлоксеры она, по-видимому, является основным путем выведения неусвоенной части пищевого сока и продуктов метаболизма. Поскольку «отрыжка» вводится в ткань паренхимы, ее рассасывание за счет диффузии и, возможно, включения в метаболизм галловой ткани требует определенного, вероятно, довольно продолжительного времени. Это создает необходимость в использовании запасных питательных веществ, в том числе и азотистых, в периоды регургации. Утилизация последних должна быть связана с повышением активности протеолитических ферментов. Продолжительность всасывания и регургации может определяться многими факторами, но прежде всего химическим составом пищи, который в свою очередь обусловлен физиологическим состоянием растения, связанным с фотопериодом.

На рис. 3 приведены графики активности протеолитических ферментов в кишечнике филлоксеры. Заметны значительные колебания активности в разное время суток, причем эти колебания не носят закономерного характера. В разных опытах на одно и то же время суток мог приходить как подъем, так и спад. Полученные значения колебались в широких пределах: от 0,045 до 2,131 условной единицы. Коэффициент вариации между значениями оптической плотности по всем опытам в среднем составлял 50,7%.

В индивидуальных опытах нами по необходимости были использованы разные побеги. Для выяснения степени однородности материала с одного листа нами был проделан следующий опыт. В течение четырех дней с одного и того же листа в 10 часов утра срезалось по 10 галлов. Самок, извлеченных из галлов, взвешивали и в их кишечниках определяли активность протеолитических ферментов (см. таблицу).

Полученные результаты не вполне однородны, однако в среднем разница составляет приблизительно 21%, что намного меньше колебаний, о которых говорилось выше.

По средним значениям был построен график (см. рис. 2, кривая 1).

Активность протеолитических ферментов в кишечнике самок виноградной филлоксеры, собранных с одного листа в течение четырех дней в одно время суток (в 10 часов)



Рис. 3. Изменение активности протеолитических ферментов в кишечнике филлоксеры в течение суток в отдельных опытах (дата опыта указана цифрами на кривых)

Существенными на 5% уровне были лишь различия между точками 11—12 и 7—8 часов, а также 17—18 и 1—2 часа. Можно отметить, что уровень активности протеазы у филлоксеры выше в дневное время от 11—12 до 17—18 часов ( $0,657 \pm 0,192$ ), чем в ночное от 19—20 до 7—8 часов ( $0,257 \pm 0,055$ ); различия существенны даже на 0,01% уровне. Вариабельность значений активности изучаемого фермента выше в дневное время по сравнению с ночным (74% против 37%).

Ранее нами было показано, что скорость откладки яиц у филлоксеры в течение суток колеблется в значительных пределах [1]. Согласно данным, приведенным в настоящей работе, аналогичным образом меняется активность протеолитических ферментов в кишечнике. Усреднение данных ряда опытов сглаживает различия, связанные с неоднородностью материала, и, очевидно, на первый план выступают колебания, обусловленные циркадным ритмом жизнедеятельности филлоксеры. Большее количество отложенных яиц приблизительно совпадает по времени с меньшей активностью протеолитических ферментов и приходится на 18—24 часа. На основании того, что, по всей вероятности, условия питания днем и ночью различаются, частота регургации также должна меняться. По-видимому, в зависимости от общего содержания органических веществ в соке и их состава скорость накопления в кишечнике токсических остатков и непереваренной пищи будет разной, что в свою очередь будет определять частоту их выделения.

Средний уровень активности протеолитических ферментов у всех трех исследованных видов тлей приблизительно одинаков, однако ее динамика совершенно различна: для бобовой и персиковой тлей характерны лишь небольшие изменения, в то время как у филлоксеры наблюдаются резкие колебания значений активности. Это явление может быть обусловлено различиями в механизме питания филлоксеры и двух других видов тлей, которые в свою очередь связаны с морфологией кишечника.

Результаты, приведенные в настоящей работе, подтверждают гипотезу о наличии циркадного ритма питания у филлоксеры, и в частности о периодической регургации содержимого кишечника в галле [4].

Если изложенные выше представления верны, то питание филлоксеры представляет собой весьма сложный процесс: выделение в галле помимо слюны также содержимого кишечника насекомого, в котором содержатся ферменты, должно существенно влиять на метabolизм растительной ткани. Ассимиляция этой тканью выделений филлоксеры является необходимым условием успешного питания насекомого и образования галла; этот вопрос, тесно связанный с проблемой филлоксероустойчивости, нуждается в дальнейшем исследовании.

**Выводы.** 1. Установлено, что активность протеолитических ферментов в кишечнике тлей *Myzus persicae* Sulz. и *Aphis fabae* Scop. в течение суток не претерпевает резких изменений, а у филлоксеры — подвергается большим колебаниям. У бобовой тли (растение-хозяин — бобы) уровень активности протеолитических ферментов значительно выше ночью, у филлоксеры — днем.

2. Обнаруженные резкие изменения активности протеолитических ферментов в кишечнике происходят аналогично колебаниям скорости откладки яиц и свидетельствуют в пользу наличия у филлоксеры циркадного ритма питания.

## ЛИТЕРАТУРА

1. Верещагина А. Б., Собецкий Л. А. Плодовитость виноградной филлоксеры в изолированных галлах.— В сб.: Физиология и биохимия насекомых. Кишинев, «Штиинца», 1979.
2. Собецкий Л. А., Державина М. А. Определение протеаз в слюнных железах и кишечниках некоторых тлей.— Изв. АН МССР, Сер. биол. и хим. наук, 1965, № 5, с. 89—97.
3. Собецкий Л. А., Державина М. А. О некоторых особенностях питания виноградной филлоксеры.— В сб.: Филлоксера и меры борьбы с ней. Кишинев, «Карти Молдовеняскэ», 1966, с. 70—84.
4. Собецкий Л. А., Державина М. А. К изучению физиологии питания виноградной филлоксеры *Viteus vitifolii* Fitch. (Homoptera, Phylloxeridae).— Энтомол. обзор., 1973, 52, № 3, с. 542—548.
5. Тышенко В. П. Основы физиологии насекомых. Л., изд. ЛГУ, 1976.
6. Adams J. B., Wade C. V. Aphid behaviour and host-plant preference demonstrated by electronic patterns of probing and feeding.— Amer. Potato J., 1976, 53, N 7, p. 261—267.
7. Auclair J. L. Aphid feeding and nutrition.— Ann. Rev. Entomol., Palo Alto, 1963, N 8, p. 439—490.
8. Dehn M. von. Untersuchungen zur Ernährungsphysiologie der Aphiden. Die Aminosäuren und Zucker im Siebröhrensaft einiger Krautgewächsarten und im Honigtau ihrer Schmarotzer.— Zeitschr. vergl. Physiol., 1961, 45, N 1, S. 88—108.
9. Harris K. F., Bath J. E. Regurgitation by *Myzus persicae* during membrane feeding: its likely function in transmission of nonpersistent plant viruses.— Ann. Entomol. Soc. Amer., 1973, 66, N 4, p. 793—796.
10. Hertel R., Kunkel H. Einige Factoren, welche die Honigtauzusammensetzung natürlich wie auch holdisch ernährter Aphidenlarven beeinflussen.— Apidologie, 1977, N 8 (4), S. 427—436.
11. Kunkel H., Hertel R. Kotabgabe von holdisch ernährten *Myzus persicae*— Larven (Aphidina, Homoptera) bei unterschiedlichen Experimentalbedingungen.— Entomol. Exp. et Appl., 1976, 19, N 1, S. 82—95.
12. Miles P. V. The physiological division of labour in the salivary glands of *Oncopterus fasciatus* (Dall.) (Heteroptera, Lygaeidae).— Aust. J. Biol. Sci., 1967, N 20, p. 785—797.

Поступила 18.V 1979

## ХИМИЯ

Ю. А. СИМОНОВ, А. А. ДВОРКИН, О. А. БОЛОГА

### ОСОБЕННОСТИ КООРДИНАЦИИ NCS-ГРУППЫ В СОЕДИНЕНИИ РОДИЯ(III) С МОНО-О-МЕТИЛОВЫМ ЭФИРОМ ДИАЦЕТИЛДИОКСИМА

Исследование строения комплексов родия(III) с  $\alpha$ -диоксимами показало, что их молекулярная структура подобна аналогичным по составу соединениям кобальта(III) [4, 5, 7, 8, 11]. Более того, если в кристалле не имеется внешнесферных молекул, способных быть донорами протона при образовании водородных связей, наблюдается полная изоструктурность соединений родия(III) и кобальта(III) [3, 13, 14].

В комплексах кобальта(III) и родия(III) с  $\alpha$ -диоксимами, как правило, реализуется октаэдрическая структура с плоскими или слегка наклоненными друг к другу пятичленными металлоциклами в экваториальной плоскости. В таких молекулах имеют место две короткие внутрикомплексные водородные связи. Замена в оксимионной группе атома водорода на метильную группу делает невозможным образование одной из водородных связей. Для соединений кобальта(III) это было доказано нами на примере  $[\text{CoBr}_2(\text{DMe})_2(\text{DHMe})]$  [6], где DHMe моно-о-метиловый эфир диацетилдиоксина. В настоящем сообщении приведены результаты структурного изучения  $[\text{Rh}(\text{SCN})_2 \cdot (\text{DMe})(\text{DHMe})]$ , выполненного по предложению академика АН МССР А. В. Аброва.

Представлялось интересным выяснить, во-первых, особенности геометрии комплекса с одной внутримолекулярной водородной связью и, во-вторых, вопрос о присоединении NCS-группы в соединениях родия(III) к  $\alpha$ -диоксимам, который был затронут в [1], где показано, что в комплексах родия(III) NCS-группа присоединяется через атом серы так же, как и в аналогичных соединениях кобальта(III) [9].

#### Экспериментальная часть

Кристаллы выделены при медленном испарении спиртового раствора, полученного при нагревании на водяной бане  $[\text{RhCl}_2(\text{DMe}) \cdot (\text{DHMe})]$  с избытком KNCS в течение 30 минут. Кристаллы, хорошо ограниченные, рубинового цвета.

Найдено, %: C 29,95; H 4,24; N 17,65. Для  $[\text{Rh}(\text{NCS})_2 \cdot (\text{DMe}) \cdot (\text{DHMe})]$  вычислено, %: C 30,13; H 4,18; N 17,58.

Методами рентгенографии для кристалла была фиксирована моноклинная сингония с параметрами элементарной ячейки:  $a=8,567(2)$ ,  $b=14,213(8)$ ,  $c=15,891(2)$  Å,  $\gamma=86,96(3)$ ,  $\rho_{\text{выч}}=1,68$  г/см<sup>3</sup>,  $z=4$  состава  $[\text{Rh}(\text{NCS})_2(\text{DMe}) \cdot (\text{DHMe})]$ , пространственная группа  $P2_1/b$ . Размер кристалла для эксперимента  $0,15 \times 0,15 \times 0,4$  μ ( $\text{MoK}_{\alpha}$ ) = 11,62 см<sup>-1</sup>. Экспериментальный материал получен на автоматическом дифракто-

метре, управляемом ЭВМ 0/20 методом на монохроматизированном  $\text{MoK}_{\alpha}$ -излучении. При перерасчете от (I) к (F) учитывался LP-фактор, поправки на поглощение и экстинкцию не вводились. Всего для расчетов использовано 3522 отражения  $I \geq 3\sigma(I)$ .

Структура решена методом тяжелого атома. Из трехмерного распределения функции Патерсона были локализованы атомы Rh, S<sub>1</sub> и S<sub>2</sub>. Из первого приближения электронной плотности были найдены все неводородные атомы структуры. Уточнение в изотропном приближении с экспериментальной весовой схемой привело к  $R(hkl)=0,067$ . Учет анизотропного теплового колебания атомов по программе «Кристалл» привел к  $R(hkl)=0,039$ . На этой стадии был рассчитан разностный синтез Фурье, где локализованы все атомы H структуры. Задание атомов водорода с изотропным тепловым фактором равным 6 Å<sup>2</sup> снизило  $R(hkl)$  до 0,034.

Координаты базисных атомов, тепловые параметры и СКО (среднеквадратичные отклонения эллипсоидов тепловых колебаний) приведены в табл. 1, 2.

#### Описание структуры

Кристаллы построены из нейтральных молекул  $[\text{Rh}(\text{NCS})_2(\text{DMe}) \cdot (\text{DHMe})]$ . Координация Rh(III) — октаэдрическая. Две NCS-группы находятся в транс-положении и присоединяются через атом S (рис. 1). В экваториальной плоскости координационного октаэдра находятся два плоских пятичленных металлоцикла, образованные двумя бидентатными молекулами (остатками) моно-о-метилового эфира диацетилдиоксина. Так же как в [6], имеется лишь одна внутрикомплексная водородная связь O—H...O, равная 2,441(6) Å. Локализация атомов H в соединении позволяет сделать вывод, что эта водородная связь является несимметричной и протон локализован у кислорода O<sub>2</sub> оксимионной группы (см. рис. 1). Косвенно в пользу такого распределения протонов указывает и изменение длины связи N—O; N<sub>1</sub>—O<sub>1</sub>=1,323(6), N<sub>2</sub>—O<sub>2</sub>=1,352(6) Å. Параметры внутрикомплексной H-связи: O<sub>2</sub>—H=1,13(12)°; O<sub>1</sub>...H=1,31(12)°, угол O<sub>1</sub>HO<sub>2</sub>=180(10)°. Разрыв одной внутрикомплексной водородной связи приводит к угловымискажениям в комплексе. Если хелатные углы остаются примерно равными 76,5° и 76,9°, то углы N<sub>1</sub>RhN<sub>2</sub>=97,0° и N<sub>3</sub>RhN<sub>4</sub>=109,6° соответственно существенно отличаются.

Расстояния (Å) и углы (градусы) в структуре  $[\text{Rh}(\text{DMe})(\text{DHMe}) \cdot (\text{NCS})_2]$  следующие:

$\text{Rh}-\text{S}_1=2,374(2)$	$\text{C}_1-\text{C}_5=1,510(9)$	$\text{Rh}-\text{S}_1\text{C}_{11}=105,2(4)$	$\text{C}_5\text{C}_4\text{C}_3=124,8(8)$
$\text{Rh}-\text{S}_2=2,382(2)$	$\text{C}_2-\text{C}_6=1,529(9)$	$\text{Rh}-\text{S}_2\text{C}_{12}=101,1(3)$	$\text{N}_2\text{C}_2\text{C}_3=113,8(7)$
$\text{Rh}-\text{N}_1=1,996(5)$	$\text{C}_3-\text{C}_7=1,506(9)$	$\text{N}_1\text{Rh}\text{N}_2=97,0(3)$	$\text{N}_2\text{C}_2\text{C}_6=123,2(8)$
$\text{Rh}-\text{N}_2=1,992(5)$	$\text{C}_4-\text{C}_8=1,507(9)$	$\text{N}_2\text{Rh}\text{N}_3=76,5(3)$	$\text{O}_2\text{N}_2\text{C}_2=121,2(7)$
$\text{Rh}-\text{N}_3=2,042(5)$	$\text{C}_1-\text{C}_4=1,476(9)$	$\text{N}_3\text{Rh}\text{N}_4=109,6(3)$	$\text{C}_6\text{C}_2\text{C}_3=123,0(8)$
$\text{Rh}-\text{N}_4=2,048(5)$	$\text{C}_2-\text{C}_3=1,457(9)$	$\text{N}_1\text{Rh}\text{N}_4=76,9(3)$	$\text{N}_3\text{C}_3\text{C}_2=113,6(7)$
$\text{N}_1-\text{O}_1=1,323(6)$	$\text{O}_3-\text{C}_9=1,458(8)$	$\text{Rh}\text{N}_1\text{O}_1=120,0(4)$	$\text{N}_3\text{C}_3\text{C}_7=124,7(8)$
$\text{N}_2-\text{O}_2=1,352(6)$	$\text{O}_4-\text{C}_{10}=1,484(8)$	$\text{Rh}\text{N}_2\text{O}_2=119,5(4)$	$\text{O}_3\text{N}_3\text{C}_3=114,9(6)$
$\text{N}_3-\text{O}_3=1,396(6)$	$\text{S}_1-\text{C}_{11}=1,627(7)$	$\text{Rh}\text{N}_3\text{O}_3=127,6(4)$	$\text{C}_7\text{C}_3\text{C}_2=121,7(8)$
$\text{N}_4-\text{O}_4=1,396(6)$	$\text{S}_2-\text{C}_{12}=1,689(6)$	$\text{Rh}\text{N}_4\text{O}_4=127,5(4)$	$\text{N}_4\text{C}_4\text{C}_1=114,0(7)$
$\text{N}_1-\text{C}_1=1,305(8)$	$\text{C}_{11}-\text{N}_5=1,131(9)$	$\text{Rh}\text{N}_1\text{C}_1=119,1(5)$	$\text{N}_4\text{C}_4\text{C}_3=124,7(8)$
$\text{N}_2-\text{C}_2=1,286(7)$	$\text{C}_{12}-\text{N}_6=1,132(9)$	$\text{Rh}\text{N}_2\text{C}_2=119,3(5)$	$\text{O}_4\text{N}_4\text{C}_4=118,5(6)$
$\text{N}_4-\text{C}_3=1,307(7)$	$\text{O}_1-\text{O}_2=2,441(7)$	$\text{Rh}\text{N}_3\text{C}_3=116,7(5)$	$\text{C}_8\text{C}_4\text{C}_1=121,3(8)$
$\text{N}_4-\text{C}_3=1,299(8)$		$\text{Rh}\text{N}_4\text{C}_4=116,9(5)$	$\text{N}_3\text{O}_3\text{C}_9=110,2(7)$
		$\text{N}_1\text{C}_1\text{C}_4=113,0(7)$	$\text{N}_4\text{O}_4\text{C}_{10}=110,6(7)$
		$\text{N}_1\text{C}_1\text{C}_6=122,3(8)$	$\text{S}_1\text{C}_{11}\text{N}_5=176,9(8)$
		$\text{O}_1\text{N}_1\text{C}_1=120,9(7)$	$\text{S}_2\text{C}_{12}\text{N}_6=179,9(7)$

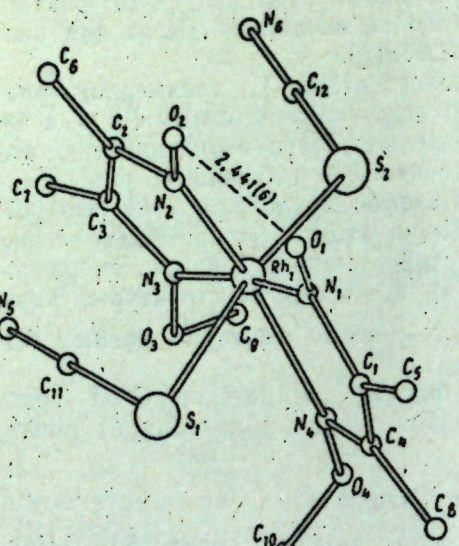


Рис. 1. Строение комплекса  
[Rh(SCN)<sub>2</sub>(DMe)(DHMe)]

В экваториальном фрагменте расстояния Rh—N для двух лигандов попарно эквивалентны. Длины связей Rh—N<sub>1</sub> и Rh—N<sub>2</sub> равны 1,996 и 1,992 Å, в то время как Rh—N<sub>3</sub> и Rh—N<sub>4</sub> 2,042 и 2,048 Å. Такое различие может определяться изменением зарядов на атомах N в лигандах у оксимной группы и NOCH<sub>3</sub>-группировки (метоксильной). Замещение в NOH атома водорода на CH<sub>3</sub>-группу приводит к оттягиванию электронной плотности с атомов N<sub>3</sub> и N<sub>4</sub> на метильный радикал. В то же время не наблюдается делокализации электронной плотности на цепочке N—O—C(CH<sub>3</sub>)<sub>3</sub>, которую можно ожидать при перераспределении электронной плотности. По-видимому, здесь основная роль принадлежит внутрекомплексной водородной связи. Тенденцию к изменению длин

Таблица 1

Координаты базисных атомов в структуре  
[Rh(DMe)(DHMe)(NCS)<sub>2</sub>]

Атом	x/a	y/b	z/c
Rh	0,21565(5)	0,29344(3)	0,14222(3)
S <sub>1</sub>	0,0184(2)	0,3980(1)	0,1998(1)
S <sub>2</sub>	0,4304(2)	0,1966(1)	0,0905(1)
N <sub>1</sub>	0,3327(5)	0,3048(3)	0,2500(3)
N <sub>2</sub>	0,0974(5)	0,1821(3)	0,1747(3)
N <sub>3</sub>	0,0796(5)	0,2714(3)	0,0393(3)
N <sub>4</sub>	0,3426(5)	0,4996(3)	0,1229(3)
N <sub>5</sub>	-0,2597(7)	0,3120(5)	0,1777(6)
N <sub>6</sub>	0,2724(7)	0,0499(4)	0,0137(4)
O <sub>1</sub>	0,3171(5)	0,2420(3)	0,3104(3)
O <sub>2</sub>	0,1246(5)	0,1407(3)	0,2502(3)
O <sub>3</sub>	0,0608(5)	0,3284(3)	-0,0319(3)
O <sub>4</sub>	0,3569(5)	0,4603(3)	0,0483(3)
C <sub>1</sub>	0,4201(7)	0,3763(4)	0,2607(4)
C <sub>2</sub>	-0,0057(7)	0,1520(4)	0,1239(4)
C <sub>3</sub>	-0,0186(7)	0,2044(4)	0,0452(4)
C <sub>4</sub>	0,4260(7)	0,4372(4)	0,1856(4)
C <sub>5</sub>	0,5043(8)	0,3932(6)	0,3424(4)
C <sub>6</sub>	-0,1101(8)	0,0714(5)	0,1455(5)
C <sub>7</sub>	-0,1371(8)	0,1823(5)	-0,0210(4)
C <sub>8</sub>	0,5249(8)	0,5218(5)	0,1839(5)
C <sub>9</sub>	0,1899(9)	0,3091(5)	-0,0904(4)
C <sub>10</sub>	0,2227(9)	0,5298(5)	0,0379(5)
C <sub>11</sub>	-0,1439(7)	0,3451(5)	0,1876(5)
C <sub>12</sub>	0,3357(7)	0,1087(4)	0,0445(4)

Таблица 2  
Коэффициенты ( $\times 10^4$ ) выражения  $\exp [-(\beta_{11}h^2 + \beta_{22}k^2 + \beta_{33}l^2 + \beta_{12}hk + \beta_{23}kl + \beta_{13}hl)]$  для тепловых анизотропных колебаний атомов и СКО(Å) вдоль главных осей эллипсоидов тепловых колебаний (ЭТК) атомов [Rh(DMe)(DHMe)(NCS)<sub>2</sub>]

Атом	$\beta_{11}$	$\beta_{22}$	$\beta_{33}$	$\beta_{12}$	$\beta_{23}$	$\beta_{13}$	СКО вдоль осей ЭГК		
	максимальное	среднее	минимальное						
Rh	99,3(6)	34,0(2)	27,3(2)	-4,2(5)	-3,1(4)	-0,5(6)	0,193	0,190	0,182
S <sub>1</sub>	128(3)	57(1)	75(1)	12(3)	-60(2)	27(3)	0,341	0,232	0,180
S <sub>2</sub>	99(2)	45,2(9)	44,5(8)	0(2)	22(1)	9(2)	0,255	0,202	0,185
N <sub>1</sub>	106(8)	51(3)	29(2)	3(7)	-14(4)	3(7)	0,237	0,200	0,181
N <sub>2</sub>	109(8)	39(3)	30(2)	-10(7)	8(4)	15(6)	0,214	0,202	0,178
N <sub>3</sub>	105(7)	33(2)	28(2)	0(7)	6(4)	-2(6)	0,199	0,195	0,175
N <sub>4</sub>	102(7)	35(2)	39(2)	-5(7)	-2(4)	7(7)	0,224	0,194	0,188
N <sub>5</sub>	123(11)	103(6)	143(7)	3(12)	-98(10)	48(14)	0,461	0,281	0,204
N <sub>6</sub>	237(12)	52(4)	69(4)	-50(11)	-52(6)	24(11)	0,333	0,286	0,188
O <sub>1</sub>	194(8)	68(3)	26(2)	-13(8)	9(4)	-11(6)	0,289	0,264	0,178
O <sub>2</sub>	201(9)	61(3)	34(2)	-55(8)	38(4)	-8(7)	0,296	0,251	0,170
O <sub>3</sub>	171(6)	44(2)	36(2)	-18(7)	23(4)	-37(6)	0,269	0,226	0,176
O <sub>4</sub>	176(8)	45(2)	49(2)	-41(17)	19(4)	7(7)	0,264	0,257	0,190
C <sub>1</sub>	101(9)	52(4)	42(3)	13(9)	-29(5)	-10(9)	0,267	0,195	0,185
C <sub>2</sub>	118(9)	38(3)	35(3)	-17(8)	6(4)	-2(8)	0,217	0,208	0,189
C <sub>3</sub>	105(9)	35(3)	35(3)	0(8)	-6(4)	-5(8)	0,216	0,196	0,185
C <sub>4</sub>	89(9)	42(3)	49(3)	14(8)	-22(5)	-4(9)	0,263	0,201	0,172
C <sub>5</sub>	160(12)	94(6)	38(3)	-15(13)	-41(7)	-61(10)	0,328	0,265	0,161
C <sub>6</sub>	194(13)	61(4)	57(4)	-119(12)	34(7)	-22(12)	0,329	0,257	0,172
C <sub>7</sub>	147(11)	66(4)	44(3)	-54(11)	0(6)	-69(10)	0,290	0,254	0,170
C <sub>8</sub>	145(11)	46(4)	74(5)	-61(10)	-16(7)	-35(12)	0,314	0,257	0,172
C <sub>9</sub>	227(15)	91(6)	30(3)	-26(15)	17(7)	50(11)	0,307	0,300	0,177
C <sub>10</sub>	194(13)	51(4)	63(4)	39(12)	31(7)	-53(12)	0,310	0,280	0,182
C <sub>11</sub>	120(10)	63(4)	63(4)	38(11)	-34(7)	23(11)	0,306	0,255	0,176
C <sub>12</sub>	135(10)	43(3)	39(3)	24(3)	-3(5)	28(9)	0,250	0,222	0,184

связи Co(Rh)—N можно проследить на кристаллических структурах [Co(D)(DH)Py<sub>2</sub>]·3H<sub>2</sub>O [2], {Rh(DH)D<sub>2</sub>PPPh<sub>3</sub>}Cl·CH<sub>2</sub>Cl<sub>2</sub> [13], [Co(D)(DH)(NH<sub>2</sub>C<sub>6</sub>H<sub>5</sub>)<sub>2</sub>] [10] с одной внутрекомплексной водородной связью.

В лиганде основные межатомные расстояния и валентные углы обычные для бидентатного координированного диметилглиоксамина. Расстояния O—C в метоксигруппировках равны 1,484 и 1,458 Å и соответствуют ординарной связи O—C. Метоксильные группы находятся по разные стороны от плоскости четырех атомов азота. Два металлоцикла не лежат в одной плоскости, а составляют двугранный угол 171° (табл. 3). Здесь реализуется конфигурация экваториального фрагмента типа «полуоткрытой книги», найденной нами и американскими кристаллохимиками ранее для диметилглиоксаматов Co(III) и Rh(III) с молекулой трифенилfosфина во внутренней координационной сфере [4, 12]. При этом фрагмент структуры, образованной четырьмя атомами азота, остается плоским с выходом из него атома родия на 0,031 Å.

Следствием искажений в экваториальном фрагменте структуры является ненэквивалентность двух координированных NCS-анионов. В [1] показана изоструктурность соединений NH<sub>4</sub>[Co(NCS)<sub>2</sub>(DH)<sub>2</sub>]·3H<sub>2</sub>O и NH<sub>4</sub>[Rh(NCS)<sub>2</sub>(DH)<sub>2</sub>]·3H<sub>2</sub>O. В обоих случаях комплекс центросимметричен и длины связей Co—S и Rh—S равны. При этом угол между плоскостями NCS-групп равен 180°.

Характер присоединения NCS-группы сохраняется в исследуемом соединении, однако в деталях имеются существенные отличия. Так,

Таблица 3

Уравнения плоскостей, проведенных через группы атомов (отмечены звездочкой) методом наименьших квадратов, отклонения ( $\text{\AA}$ ) атомов от этих плоскостей и двугранные углы между плоскостями\*

АТОМ	Отклонения атомов от плоскости						
	<i>a</i>	<i>b</i>	<i>c</i>	<i>d</i>	<i>e</i>	<i>f</i>	<i>g</i>
Rh	0,031	-0,096	0,090			0,000*	0,000*
S <sub>1</sub>						-0,007*	0,000*
S <sub>2</sub>							
N <sub>1</sub>	-0,001*	0,002*					
N <sub>2</sub>	-0,001*		0,004*				
N <sub>3</sub>	0,001*		-0,004*				
N <sub>4</sub>	-0,001*	-0,002*					
N <sub>5</sub>						-0,010*	0,000*
O <sub>1</sub>	0,039	0,026	-0,015				
O <sub>2</sub>	0,036		0,130				
O <sub>3</sub>	-0,133						
O <sub>4</sub>	0,134	0,129					
C <sub>1</sub>	-0,100	-0,003*		0,010*			
C <sub>2</sub>	-0,082		-0,007*				
C <sub>3</sub>	-0,100		0,007*				
C <sub>4</sub>	-0,092	0,003*		-0,010*			
C <sub>5</sub>	-0,215	-0,018	0,024	-0,005*			
C <sub>6</sub>	-0,208		0,052				
C <sub>7</sub>	-0,245						
C <sub>8</sub>	-0,151	0,046		0,005*			
C <sub>9</sub>	1,155						
C <sub>10</sub>	-1,166						
C <sub>11</sub>						0,018*	0,014*
C <sub>12</sub>							

\* Двугранные углы между плоскостями равны:  $(b, c) = 171^\circ$ ,  
 $(b, d) = 179^\circ$ ,  $(c, e) = 178^\circ$ ,  $(f, g) = 6.5^\circ$ .  
 $d) 6,4560x - 7,4789y - 5,2861z = -1,1905$ ;  
 $a) 6,0672x - 7,9126y - 6,0361z = -1,9031$ ;  
 $e) -5,3835x + 8,7826y + 6,7264z = 2,1989$ ;  
 $b) 6,5296x - 7,2314y - 5,4263z = -0,1390$ ;  
 $f) 0,8307x - 6,2803y + 14,1262z = 0,3455$ ;  
 $c) -5,5869x + 8,5994y + 6,4615z = -2,1446$ ;  
 $g) 0,0457x - 7,2114y + 13,6840z = -0,1601$ .

длины связей Rh—S несколько отличаются. Существенно различаются угловые параметры комплекса. Углы RhSC равны  $105,2$  и  $101,1^\circ$ . Если фрагмент  $S_2C_{12}N_6$  линеен, то в группировке  $S_2C_{11}N_5$  угол при C равен  $176,9(8)^\circ$ . Расстояния в NCS-группах, координированных через атом серы, обычные. Эти эффекты не могут быть связаны с упаковочными условиями, а целиком определяются отличиями комплекса  $[\text{Rh}(\text{SCN})_2(\text{DMe})(\text{DHMe})]$  от  $[\text{Rh}(\text{SCN})_2(\text{DH})_2]$ , связанными с понижением симметрии бидентатного лиганда. Присоединение двух NCS-групп через атом серы приводит к взаимному ослаблению двух связей Rh—S, что определяется оттягиванием электронной плотности на акцепторные атомы серы. Такая конфигурация должна быть неустойчивой в растворе и приводит к легкой замене SCN-группы на другой транс-搭档. По-видимому, при этом произойдет укорочение связи Rh—S.

В целом структура островная. Проекция структуры на плоскость представлена на рис. 2. В проекции показаны основные межмолекулярные контакты. Локализованные атомы H метильных и метоксильных групп позволяют оценить длины связей C—H 0,73—1,05 Å, углы при атоме C 87—116 ( $\pm 11$ )°.

Авторы выражают признательность Т. И. Малиновскому и А. И. Шкурпело за полезное обсуждение материала.

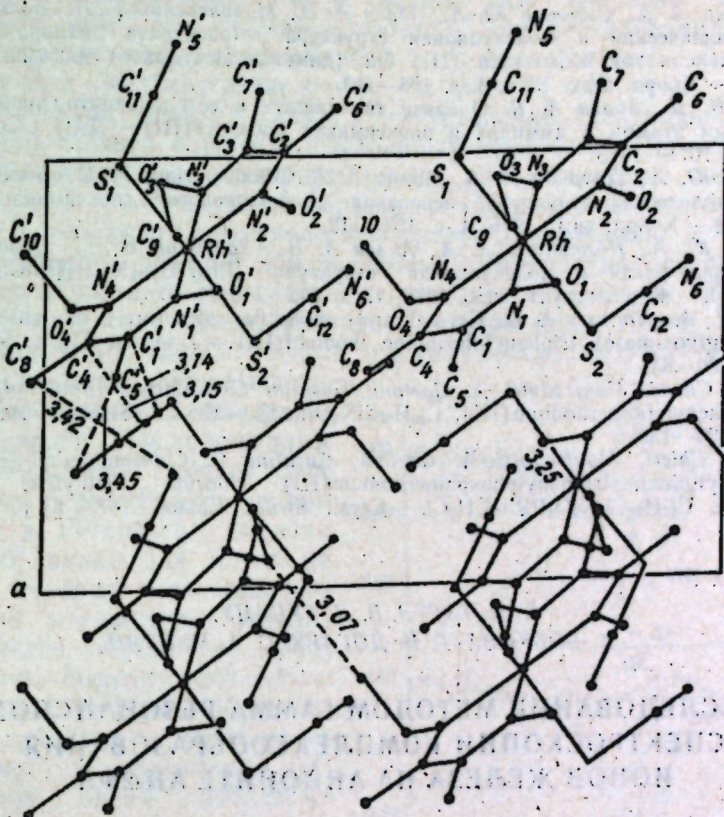


Рис. 2. Проекция структуры  $[\text{Rh}(\text{SCN})_2(\text{DMe})(\text{DHMe})]$  на плоскость  $xy$  (штрихами показаны кратчайшие межмолекулярные контакты)

#### ЛИТЕРАТУРА

1. Аблов А. В., Самусь И. Д., Уфнаровский А. Л., Болога О. А. О неодинаковой связи NCS-группы с металлом в координационных соединениях родия (III) с аминами и диметилглиоксимом.—ДАН СССР, 1974, 214, с. 126—129.
2. Аблов А. В., Дворкин А. А., Симонов Ю. А., Болога О. А., Малиновский Т. И. Строение основания дипиридинового диоксимина кобальта.—ДАН СССР, 1974, 217, с. 89—91.
3. Боташанский М. М., Симонов Ю. А., Малиновский Т. И. Кристаллическая структура ромбической модификации хлоро-бис(диметилглиоксимато)-трифенилфосфин кобальта (III).—Изв. АН МССР, Сер. физ.-мат. и техн. наук, 1975, № 3, с. 24—29.
4. Боташанский М. М., Симонов Ю. А., Малиновский Т. И., Симонов М. А. Уточнение кристаллической структуры моноклинной модификации хлоро-бис(диметилглиоксимато)-трифенилфосфинкобальта (III).—Кристаллография, 1975, 20, № 1, с. 63—68.
5. Дворкин А. А., Симонов Ю. А., Аблов А. В., Болога О. А., Малиновский Т. И. Кристаллическая структура транс-дихлоро-бис(диметилглиоксимато)-родиата (III) водорода.—ДАН СССР, 1974, 217, с. 833—836.
6. Дворкин А. А., Симонов Ю. А., Болога О. А., Аблов А. В. Кристаллическая структура соединения кобальта (III) сmono-*o*-метиловым эфиром диацетилдиоксима.—ДАН СССР, 1975, 220, с. 1328—1331.
7. Дворкин А. А., Симонов Ю. А., Малиновский Т. И. Кристаллические структуры кислот и оснований Co(III) с диметилглиоксимом.—В сб.: Кристаллохимия неорганических соединений. Кишинев, «Штиница», 1976, с. 3—44.

8. Немчинова Л. А., Симонов Ю. А., Аблов А. В., Малиновский Т. И., Болога О. А. Кристаллическая и молекулярная структура тетрагидрата дихлоро-бис(диметилглиоксимиato) кобальтата (III) бис (диметилглиоксимиato) диамминкобальта (III). — Коord. хим., 1978, 4, с. 108—112.
9. Самусь И. Д., Аблов А. В. О связи тиоцианато- и сelenоцианато-групп с центральным атомом в аммиаках и диоксиминах кобальта(III). — ДАН СССР, 1962, 146, с. 1071—1073.
10. Симонов Ю. А., Дворкин А. А., Аблов А. В., Малиновский Т. И., Болога О. А. Кристаллическая структура основания дианилинового диоксимина кобальта(III). — Коord. хим., 1978, 4, с. 108—112.
11. Симонов Ю. А., Немчинова Л. А., Аблов А. В., Заводник В. Е., Болога О. А. Кристаллическая и молекулярная структура  $[Rh(DH)_2(NH_3)_2]RhCl_2(DH)_2X \cdot 4H_2O$ . — Журн. структ. хим., 1976, 17, с. 142—146.
12. Cotton F. A., Norman J. G. Crystal and molecular structure of chloro-bis(dimethylglyoximato) triphenylphosphine rhodium(III). — J. Amer. Chem. Soc., 1971, 93, p. 80—84.
13. Villa A., Chiesi, Manfredotti A., Gaetani, Gusatini C. Chlorobis-(dimethylglyoximato)triphenylstibinerhodium(III),  $C_{26}H_{29}ClN_4O_4RhSb$ . — Cryst. Struct. Comm., 1973, 2, p. 129—132.
14. Villa A., Chiesi, Manfredotti A., Gaetani, Gusatini C. Chlorobimethyl-glaoximato-dimethylglyoximetriphenylphosphinerhodium(III) chloride methylene chloride solvate,  $C_{26}H_{30}Cl_2N_4O_4PRh \cdot CH_2Cl_2$ . — Cryst. Struct. Comm., 1973, 2, p. 133—136.

Поступила 16.II.1979

К. И. ТУРТЭ, В. Л. ГУЦАНУ,  
С. А. БОБКОВА, Г. Н. ДОГАРУ, С. А. МУНТЬЯН

## ИССЛЕДОВАНИЕ МЕТОДОМ ГАММА-РЕЗОНАНСНОЙ СПЕКТРОСКОПИИ КОМПЛЕКСООБРАЗОВАНИЯ ИОНОВ ЖЕЛЕЗА НА АНИОНТЕ АН-2ФН

Многие иониты, благодаря наличию электронодонорных групп, способны образовывать координационные соединения с  $d$ - и  $f$ -элементами, что находит широкое применение в различных областях науки и техники. Для понимания процессов, протекающих при комплексообразовании на ионитах, большое значение имеет выяснение состояния ионов металла в фазе полимера. С этой целью применяются различные физические методы: ЭПР, ИК, ЯГР и др. Метод гамма-резонансной спектроскопии (ГРС), который дает возможность судить об электронном окружении мессбауэровского ядра [2], применялся для изучения сорбированных ионов железа на катионитах КУ-2 [10], КБ-2 [4], КБ-4 [7] и анионитах АВ-16, АВ-17 [7]. Как показали результаты этих исследований, даже в таком ионите, как КУ-2, на котором ионный обмен меньше всего осложнен побочными процессами, сорбированные ионы железа находятся в двух степенях окисления и имеют четыре различных окружения, а в карбоксильном катионите КБ-2 ионы железа(III) координированы неэквивалентными кислородными атомами групп  $RCOO^-$ ,  $OH^-$  и  $H_2O$ .

В настоящей работе приводятся результаты изучения сорбированных ионов железа(III) анионитом АН-2ФН методом ГРС в интервале температур 80—333 К. Анионит АН-2ФН содержит следующие функциональные группы:  $R_3N$ ,  $R_2NH$  и  $\text{---OH}$ , которые способны координироваться к атому металла [5, 6]. Исходный анионит 0,1—0,25 мм зернистия находился в гидратно-солевой ( $R_3N \dots H_2O/R_3NH^+NO_3^-$ ) форме. Сорбцию ионов железа(III) проводили в динамических условиях, пропуская через слой анионита  $2 \cdot 10^{-3}$  н. водный раствор сульфата железа(III), pH 2,3. Соль содержала изотоп  $^{57}Fe$  (91% обогащения). Ко-

личество сорбированных ионов железа на анионите составляло 11,68 мг/г, или 1,17% от массы образца. Для исследования использовали измельченный воздушно-сухой железосодержащий анионит, помещенный в пластмассовую кювету, из расчета 0,10 мг/см<sup>2</sup> железа.

ГР-спектры образца снимали на установке электродинамического типа, работающей в режиме постоянных ускорений. Источник — изотоп кобальта ( $^{57}Co$ ) в матрице хрома при комнатной температуре; поглотитель — исследуемый образец, температура которого поддерживалась в указанном интервале температур с точностью  $\pm 1,5^\circ\text{C}$ .

ГР-спектры образца при различных температурах довольно сложны и претерпевают существенные изменения (рис. 1). При 80 К в спектре отчетливо можно различать четыре пика, один из которых расположен отдельно в области положительных скоростей, а три других — взаимно перекрываются. С повышением температуры отдельно расположенный пик постепенно теряет свои очертания, размывается и при 333 К в ГР-спектре образца хорошо видны два пика, на краях которых есть дополнительное поглощение. Анализ ГР-спектра образца при 80 К позволяет выделить два дублета: пики  $bb$  соответствуют одному дублету, а пики  $vv$  — другому. Аппроксимация ГР-спектров двумя дублетами проводилась методом наименьших квадратов на ЭВМ «БЭСМ-4М» с использованием программы Объединенного института ядерных исследований (г. Дубна). В качестве дополнительных условий в программе задавалась симметричность пиков каждого дублета. Полученные значения параметров ГР-спектров приведены в таблице.

Из сравнения значений изомерного сдвига (и. с.) дублетов  $bb$  и  $vv$  можно сделать вывод, что дублет  $bb$  соответствует ионам железа(II) в высокоспиновом состоянии, а дублет,  $vv$  — ионам железа(III) также в высокоспиновом состоянии. Таким образом, при сорбции ионов железа(III) анионитом АН-2ФН в указанных условиях и при высушивании его на воздухе имеет место частичное восстановление  $Fe^{3+}$  в  $Fe^{2+}$ . Можно пред-

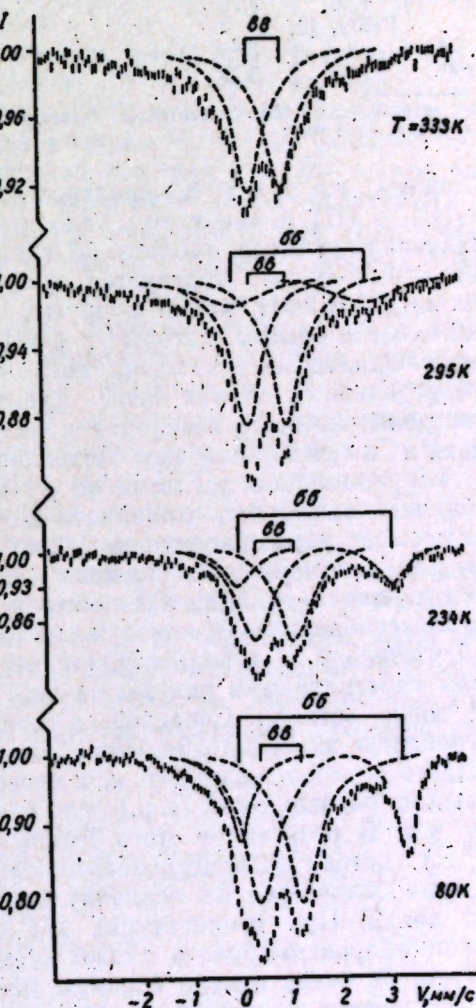


Рис. 1. Температурная зависимость ГР-спектров исследованного образца анионита АН-2ФН, содержащего 11,68 мг/г  $^{57}Fe$  (91% обогащения), после сорбции в динамических условиях из  $2 \cdot 10^{-3}$  н. водного раствора сульфата железа(III), pH 2,3.

Параметры ГР-спектров образца АН-2ФН ( $^{57}\text{Fe}$ ) при различных температурах

T, K	Дублет $\text{bb}$ ( $\text{Fe}^{2+}$ ), мм/с			Доля ионов ( $\text{Fe}^{2+}$ ), %	Дублет $\text{vv}$ ( $\text{Fe}^{3+}$ ), мм/с			Нормированная площадь всего спектра = $\alpha f'$
	и. с.*	к. р.	Глев-Гпр		и. с.*	к. р.	Глев-Гпр	
80	1,64	3,37	0,54	28	0,82	0,85	0,80	3,5
123	1,60	3,29	0,53	27	0,79	0,81	0,78	3,6
173	1,61	3,29	0,45	21	0,77	0,80	0,76	3,5
198	1,57	3,19	0,55	23	0,77	0,79	0,77	3,5
234	1,56	3,14	0,62	23	0,75	0,79	0,80	3,3
273	1,33	2,75	1,55	—	0,69	0,78	0,70	2,3
295	1,32	2,68	1,56	—	0,69	0,78	0,69	2,0
333	~ один дублет				0,67	0,65	0,52	1,0
$\text{FeSO}_4 \cdot 7\text{H}_2\text{O}$ [2]								
80	1,66	3,60						
300	1,56	3,20						
$\text{FeSO}_4$ [2]								
4,2		3,60						
300	1,58	3,27						

\* Изомерный сдвиг дан относительно нитропруссида натрия. Точность измерения и. с., к. р. и Г равна  $\pm 0,04$  мм/с.

положить, что при 80 К вероятности эффекта Мессбауэра ионов железа(III) и (II) в анионите мало отличаются между собой. Тогда из сравнения площади дублета  $\text{bb}$  с площадью всего ГР-спектра приходим к выводу, что образуется около 28% ионов Fe(II). Видимо, и в анионите АН-2ФН, как и в других ионитах [8], существуют восстановительные центры, которые и осуществляют наблюдаемое восстановление. Однако не исключена возможность, что в молекуле полимера в определенных местах цепи существуют относительно свободные электроны, которые переходят к части ионов железа(III), восстанавливая их до двухвалентного состояния.

Ширина пиков дублетов  $\text{bb}$  и  $\text{vv}$  ГР-спектров (см. значения  $\Gamma$  в таблице) показывает, что вплоть до температуры 234 К включительно разложение удовлетворительно, хотя величины  $\Gamma$  значительно выше, чем для мономерных комплексов железа ( $\approx 0,30$ – $0,40$  мм/с). Наблюдаемые широкие линии ГР-спектров находят объяснение в рамках комплексообразования ионов железа с донорными группами анионита. Действительно, в анионите донорные группы  $\text{R}_2\text{NH}$  и  $\text{R}-\text{O}^-$  расположены нерегулярно, в результате чего возникает неоднородное окружение ионов металла. Последнее в свою очередь приводит к некоторому отклонению значений градиента электрического поля (ГЭП) вокруг каждого из ядер железа, т. е. к несколько разным величинам квадрупольного расщепления (к. р.) и в меньшей степени к разным величинам и. с. В результате этого ГР-спектр ионов железа(II) или железа(III) состоит из суперпозиций большого числа пиков, положение которых отличается на величину  $0 \leq \Delta\Gamma \leq 2\Gamma$ , что приводит к уширению линий. При температурах 273–300 К, ГР-спектр этого образца можно аппроксимировать также двумя дублетами, но ширины пиков дублета  $\text{bb}$  очень велики и равны 1,55; 1,56 мм/с, поэтому данное выше объяснение недостаточно. Видимо, при таких температурах накладываются процессы диффузии ионов железа(II) по координационным центрам полимера, что приводит к столь существенному уширению линий [11].

Более чувствительным параметром ГР-спектров к изменению окружения мессбауэровского ядра является квадрупольное расщепление [2]. Значения к. р. дублета  $\text{bb}$  при 80 и 234 К довольно высоки и рав-

ны 3,37 и 3,14 мм/с соответственно (см. таблицу). Так как сорбция ионов железа происходит из водного раствора сульфата железа(III), то полученные параметры дублета  $\text{bb}$ , естественно, сравнивали с параметрами мессбауэровских спектров солей  $\text{FeSO}_4$  и  $\text{FeSO}_4 \cdot 7\text{H}_2\text{O}$ . Как показывают данные [2], и гидратная, и безводная соли практически имеют одни и те же значения к. р. (см. таблицу). Значения к. р. исследованного выше образца несколько меньше, чем для  $\text{FeSO}_4$  и  $\text{FeSO}_4 \cdot 7\text{H}_2\text{O}$ , что указывает на изменение окружения железа. Из химии координационных соединений железа известно [3], что как для иона железа(II), так и для иона железа(III) наиболее характерным является координационное число шесть. Исходя из расположения донорных групп в цепочке полимера АН-2ФН, можно предположить, что одно или два координационных места вокруг иона железа заняты донорными атомами ионита, а остальные пять или четыре — молекулами воды и, по-видимому, группой  $\text{SO}_4^{2-}$ .

Величины к. р. дублета  $\text{vv}$  позволяют высказать предположение и относительно окружения ионов железа(III). У высокоспиновых соединений железа(III) вклад в величину ГЭП дают лишь неодинаковое заселение АО железа, участвующих в образовании МО комплексов, и решеточный член. Полученные значения к. р. для дублета  $\text{vv}$  позволяют сделать вывод, что электронное окружение ионов железа(III) не является сферически симметричным. По-видимому, и в этом случае комплексообразователь координирует как с атомами донорных групп анионита, так и с молекулами воды и группой  $\text{SO}_4^{2-}$ .

Другим параметром ГР-спектров, дающим информацию о динамике матрицы, в которую введен мессбауэровский атом, является вероятность эффекта Мессбауэра для поглотителя,  $f'$ . В интервале температур 80–200 К вероятность  $f'$  не зависит от температуры, а начиная с  $220 \pm 10$  К — резко уменьшается (рис. 2, кривая 1). По-видимому, в области этой температуры ( $\approx -53^\circ\text{C}$ ) в анионите растворяются колебания линейной цепи полимера, содержащего ионы железа, что и приводит к резкому уменьшению вероятности  $f'$ .

На рис. 2 (кривая 2) показана температурная зависимость величины  $\alpha f'$  для части ГР-спектра, соответствующей ионам железа(III). Несколько увеличиваясь в области 80–180 К, вероятность затем резко падает, как и для всего спектра в целом, что согласуется с моделью растворения колебаний нитей полимера. Из сравнения доли двухвалентного железа в ГР-спектрах при различных температурах (см. таблицу) видно, что с повышением температуры от 80 до 234 К эта величина монотонно уменьшается от 28 до 23%. Учитывая, что в интервале температур 80–220 К общая площадь мессбауэровских спектров не уменьшается, наблюдаемое падение доли ионов Fe(II) нельзя объяснить разностью прочности связей железо–донорный атом полимера в зависимости от степени окисления комплексообразователя.

Изменение вида ГР-спектров исследуемого здесь образца при

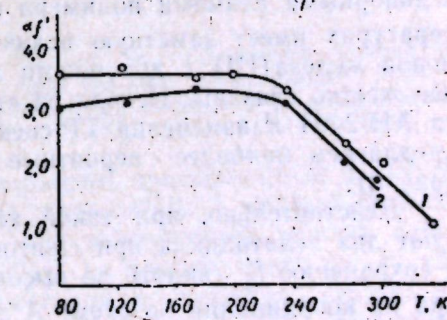


Рис. 2. Температурная зависимость вероятности эффекта Мессбауэра:  
1 — для всего образца; 2 — для ионов железа(III) в анионите АН-2ФН

варьировании температуры напоминает изменение мессбауэровских спектров основного водного ацетата железа смешанной валентности (с. в.) [1]. Для обоих образцов при 80 К около 30% ионов железа находились в высокоспиновом двухвалентном состоянии, и с повышением температуры дублет, соответствующий иону Fe(II), постепенно исчезает. Однако есть и довольно существенная разница: при высоких температурах (330—360 К) ГР-спектр комплекса с. в. хорошо аппроксимируется одним дублетом, изомерный сдвиг которого соответствует ионам железа в степени окисления 2 $\frac{1}{2}$ , а ГР-спектр железа в анионите АН-2ФН при 273—330 К весьма неудовлетворительно аппроксимируется одним дублетом и его изомерный сдвиг не показывает смещения в сторону положительных скоростей. Таким образом, в данном образце при высоких температурах не наблюдается переход электрона от ионов железа(II) к ионам железа(III) [1].

Наблюданное изменение ГР-спектра и температурную зависимость  $f'$ , можно объяснить следующим образом: при низких температурах (80—220 К) матрица полимера жесткая и так как ионы железа координированы с донорными атомами полимера, их мессбауэровская вероятность  $f'_{\text{б.в.}}$  довольно высока. Наблюденный при повышении температуры от 80—220 К рост доли центральных пиков в ГР-спектрах на 5% недостаточен для окончательного вывода относительно возможности перескока электрона между ионами железа(II) и железа(III) через полимерную цепь анионита по туннельно-активационному механизму [9]. С повышением температуры выше 220 К, видимо, растворяются определенные колебания цепей анионита ( $E=RT \approx 1,67 \text{ кДж/моль}$ ), которые приводят к резкому понижению  $f'$ .

Из рис. 2 видно, что температурная зависимость  $a f'_0$  только для комплекса железа(III) в анионите имеет ход, аналогичный суммарной  $f'$ . При наличии делокализации, если предположить, что центральные пики содержат в себе и пики делокализованного состояния железа, должно было наблюдаться отставание в понижении  $f'_0$  по сравнению с  $f'$ . Так как такого эффекта нет, следовательно, при температурах выше 220 К делокализация электрона отсутствует. Вместе с тем уширение пиков дублета бб и постепенное их исчезновение указывают на то, что при 220—333 К колебания частей молекулы полимера, содержащих донорные группы, координированные с ионами железа(II), настолько усиливаются, что величина  $f'_{\text{б.в.}}$  приближается к нулю. По другому ведет себя комплекс с ионами железа(III). Хотя в области 220—333 К наблюдаем существенное падение  $f'_0$ , связи ионов железа(III) с донорными атомами полимера столь жестки, что  $f'_{\text{б.в.}}$  при этих температурах имеет заметную величину. Видимо, в местах координации ионов железа(III) с донорными атомами полимерные цепочки наиболее жестко связаны. Исходя из строения элементарного звена анионита АН-2ФН и изменения ГР-спектров этого образца с температурой, предлагаем наиболее вероятные схемы координации ионов железа (рис. 3).

Действительно, при такой координации ионы железа(III) образуют два хелатоцикла при сшитом участке полимера, что и приводит к сохранению  $f'_{\text{б.в.}}$  вплоть до высоких температур. В случае ионов Fe<sup>2+</sup> при их координации по схеме А донорные атомы располагаются в более лабильных участках полимера, что объясняет температурную зависимость  $f'_{\text{б.в.}}$ . Для подтверждения этого предположения мы провели окислительно-восстановительную реакцию сорбированных ионов железа на анионите АН-2ФН.

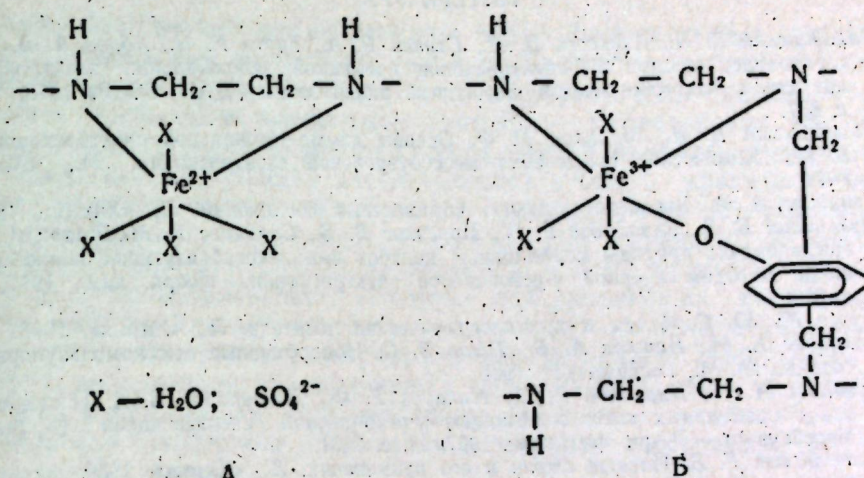


Рис. 3. Схемы предполагаемой координации ионов железа в анионите АН-2ФН

При пропускании 3% перекиси водорода через слой исследованного образца наблюдалось выделение газа, видимо, кислорода. Для высущенного после действия H₂O₂ образца ГР-спектры снимались при 80 и 300 К (рис. 4). Действие перекиси водорода привело к восстановлению в анионите части ионов железа(III) до ионов железа(II). Повышение температуры до 300 К существенно уменьшает относительную долю двухвалентного состояния железа в ГР-спектре, но она не приближается к нулю, как это было для начального образца. Таким образом, те координированные атомы железа(II), которые были получены из ионов железа(III) при восстановлении в занимаемых местах (см. рис. 3, Б), столь существенно не теряют вероятности эффекта, как ионы Fe(II), занимавшие места по схеме А. Этот факт подтверждает предположение о двух разных местах координации ионов железа(III) и железа(II) в анионите АН-2ФН. Следует отметить, что в начальный момент сорбции анионитом АН-2ФН ионов железа(III) из водного раствора сульфата железа(III) координация ионов металла реализуется, видимо, и по схеме А, и по схеме Б. В дальнейшем по каким-либо причинам до двухвалентного состояния восстанавливаются только те ионы, которые находятся у линейных цепей анионита, т. е. у этилендиаминовых атомов азота.

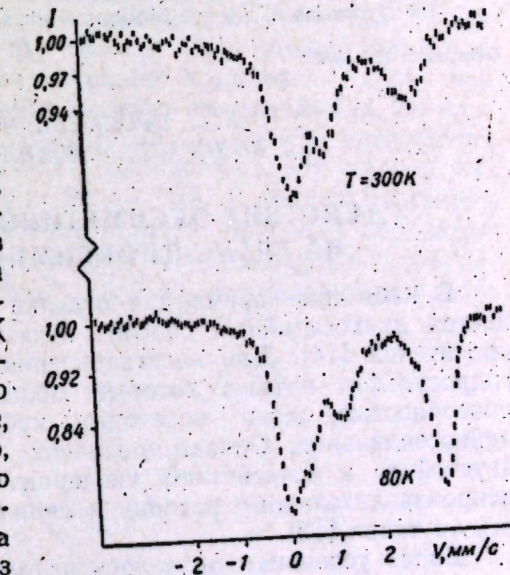


Рис. 4. Вид ГР-спектров образца анионита АН-2ФН, содержащего 11,68 мг/г  $^{57}\text{Fe}$  (91% обогащения), после обработки 3% водным раствором  $\text{H}_2\text{O}_2$

## ЛИТЕРАТУРА

- Гольданский В. И., Алексеев В. П., Стукан Р. А., Туртэ К. И., Аблов А. В. Исследование методом ГР-спектроскопии временной делокализации электрона в ацетатном кластере железа смешанной валентности.—ДАН СССР, 1973, 218, с. 867.
- Гольданский В. И., Макаров Е. Ф. Основы гамма-резонансной спектроскопии.—В кн.: Химические применения мессбауэровской спектроскопии. М., «Мир», 1970.
- Гринберг А. А. Введение в химию комплексных соединений. Л., «Химия», 1966.
- Дзевицкий Б. Э., Звиададзе Г. И., Маргулис В. Б., Салдадзе К. М., Шварц А. Л. Исследование природы сорбционных центров комплексообразующих ионообменников методом ядерной  $\gamma$ -резонансной спектроскопии.—Координ. хим., 1977, 3, с. 643.
- Лурье Ю. Ю. Сорбенты и хроматографические носители. Л., «Химия», 1968.
- Салдадзе К. М., Пашков А. Б., Титов В. С. Ионообменные высокомолекулярные соединения. М., Госхимиздат, 1960.
- Суздалев И. П., Плачинда А. С., Макаров Е. Ф., Долгополов В. А. Исследование ионообменных смол с помощью  $\gamma$ -резонансной спектроскопии (эффекта Мессбауэра).—Журн. физ. хим., 1967, 16, с. 2831.
- Тростянская Е. Б. Ионный обмен и его применения. Л., «Химия», 1959.
- Чернавский Д. С. О моделировании некоторых биологических процессов.—Успехи физ. наук, 1972, 107, с. 157.
- Plachinda A. S., Makarov E. F., Alekseeva S. I., Egorov E. V. On the dependence of chemical states of ions on their concentration in ion-exchange resin.—Inorg. Nucl. Chem., 1976, 38, p. 859.
- Singwi K. S., Sjölander A. S. Resonance Absorption of Nuclear Gamma Rays and the Dynamics of Atomic Motions.—Phys. Rev., 1960, 120, p. 1093.

Поступила 17.I 1979

Н. Н. ПРОСКИНА, И. В. ХОРОШУН,  
О. А. БОЛОГА, Л. А. ПОХИЛЬКО, Н. Е. БУЛУШЕВА

### ДЕЙСТВИЕ ОКСИМЕТИЛСУЛЬФИНАТА НАТРИЯ НА ТРАНС-ДИОКСИМИНЫ КОБАЛЬТА(III)

В настоящее время для отделки текстильных материалов применяется двухстадийный способ печатания с использованием кубовых красителей [14]. Для восстановления красителей обычно используют гидросульфит натрия, который, обладая мощной восстановительной способностью, легко переводит кубовые красители в растворимые лейкосоединения. Однако щелочной раствор гидросульфита натрия неустойчив к воздействию кислорода воздуха, что приводит к его непроизводительному расходу и снижению степени фиксации красителей на ткани [13].

Более успешным оказалось использование в качестве восстановителя продукта присоединения формальдегида к оксиметилсульфинату натрия (ронгалита С). Это соединение повышает эффективность окрашивания за счет увеличения степени фиксации кубовых красителей, одновременно сокращая время тепловой обработки напечатанной ткани [9]. Однако этот эффект достигается только при использовании катализаторов, например, органических соединений (кислотный красный ализариновый, 2,6-2,7диоксантрахинон), а также металлогорганических (хлорид бис-диметилглиоксиматодиамминкобальта(III), запатентованный зарубежными фирмами под названием «ускоритель 4099» и Calfax [18]). Авторы [12] предлагают использовать в качестве катализаторов диоксимины кобальта, содержащие во внутренней координационной сфере различные органические и неорганические лиганды.

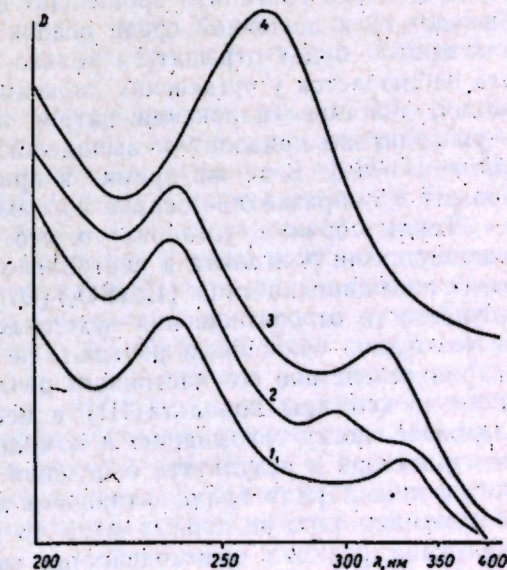
В лаборатории химии координационных соединений Института химии Академии наук Молдавской ССР на протяжении ряда лет си-

стематически изучаются диоксимины переходных металлов с различными аксиальными лигандами. Ряд синтезированных соединений испытывали на каталитическую активность восстановления кубовых красителей в Московском текстильном институте. Исследования показали, что в условиях двухстадийного способа печати наиболее эффективными ускорителями процесса восстановления кубовых красителей являются транс-диоксимины кобальта(III), содержащие во внутренней сфере молекулы селенокарбамида. Однако при хранении в обычных условиях соединения быстро разлагаются, что не позволяет использовать их в промышленности. Поэтому для дальнейших исследований было выбрано близкое по составу, строению и свойствам соединение, содержащее вместо селенокарбамида его тиоаналог. Диоксимины кобальта, содержащие две молекулы тиокарбамида, хотя и обладают несколько сниженным каталитическим действием, однако более доступны для получения и хранения в твердом состоянии, причем в больших количествах.

Спектрофотометрически исследовано действие ронгалита на транс-диоксимины кобальта(III), содержащие во внутренней координационной сфере халькогенкарбамиды.

В спектре поглощения свежеприготовленного водного раствора нитрата бис(диметилглиоксимато)дитиокарбамидкобальта(III) в области 200—500 нм наблюдаются две полосы поглощения: одна при 235 нм, указывающая на транс-конфигурацию комплекса; другая при 340 нм, обусловленная наличием двух молекул тиокарбамида, находящихся в транс-положении друг к другу [1, 3]. В спектре поглощения  $[\text{Co}(\text{DH})_2\text{Seu}_2]\text{NO}_3 \cdot \text{H}_2\text{O}$ , где Seu — селенокарбамид, эти полосы наблюдаются соответственно при 235 и 360 нм [10]. В водных растворах оба соединения подвергаются акватации, причем конечным продуктом акватации катиона бис(диметилглиоксимато)дитиокарбамидкобальта(III) является  $[\text{Co}(\text{DH})_2(\text{H}_2\text{O})\text{thio}]^+$  [1, 2, 6], а селенокарбамидного аналога —  $[\text{Co}(\text{DH})_2(\text{H}_2\text{O})_2]^+$  [10]. Катион  $[\text{Co}(\text{DH})_2(\text{H}_2\text{O})\text{thio}]^+$  устойчив в водном растворе. Вторая молекула тиокарбамида не вымывается даже при длительном нагревании раствора.

При введении в водный раствор  $[\text{Co}(\text{DH})_2\text{thio}_2]^+$  ронгалита в молярном соотношении 1:1 в спектре появляется полоса при 295 нм, полосы при 235 и 340 нм сохраняются, но интенсивность последней падает. При увеличении концентрации ронгалита (1:5) полосы поглощения при 235 и 295 нм сохраняются, а полоса поглощения при 340 нм полностью исчезает. Соотношение компонентов 1:10 приводит к появлению полосы в области 320 нм и сохранению полосы при 235 нм (см. рисунок).



1 —  $[\text{Co}(\text{DH})_2\text{thio}_2]\text{NO}_3 \cdot \text{H}_2\text{O}$ ; 2 —  $[\text{Co}(\text{DH})_2\text{thio}_2]\text{NO}_3 \cdot \text{H}_2\text{O}$  + ронгалит (1 : 1); 3 —  $[\text{Co}(\text{DH})_2\text{thio}_2]\text{NO}_3 \cdot \text{H}_2\text{O}$  + ронгалит (1 : 10); 4 —  $[\text{Co}(\text{DH})_2\text{thio}_2]\text{NO}_3 \cdot \text{H}_2\text{O}$  + ронгалит (1 : 10), pH 12, t = 80°

Аналогичные изменения в спектре наблюдаются в случае  $[\text{Co}(\text{DH})_2\text{Seu}_2]^+$ , где с увеличением концентрации ронгалита (от 1:1 до 1:5) интенсивность полосы поглощения при 360 нм постепенно снижается до полного исчезновения наряду с появлением и ростом интенсивности полосы при 295 нм. В присутствии большого избытка ронгалита (1:10) появляется полоса при 320 нм.

Спектры поглощения промежуточных и конечных продуктов реакции указанных комплексов полностью совпадают со спектрами индивидуально выделенных соединений  $\text{Na}[\text{CoSO}_3(\text{DH})_2\text{thio}] \cdot 2\text{H}_2\text{O}$ ,  $\text{Na}[\text{CoSO}_3(\text{DH})_2\text{Seu}] \cdot 2\text{H}_2\text{O}$  и  $\text{Na}_3[\text{Co}(\text{SO}_3)_2(\text{DH})_2] \cdot n\text{H}_2\text{O}$  [11, 15]. Очевидно, в растворе  $[\text{Co}(\text{DH})_2\text{Lig}_2]\text{X}$  в присутствии ронгалита происходит постепенное замещение молекул халькогенкарбамида на сульфитогруппу.

Сульфитогруппа, обладая высоким транс-влиянием, внедряясь во внутреннюю сферу комплекса, придает своему аксиальному транс-партнеру достаточную лабильность и способность к замещению на другие молекулы [16]. Если в растворе избыток сульфитогрупп, вторая молекула халькогенкарбамида замещается на  $\text{SO}_3$ -группу и образуется анион  $[\text{Co}(\text{SO}_3)_2(\text{DH})_2]^{3-}$  [11].

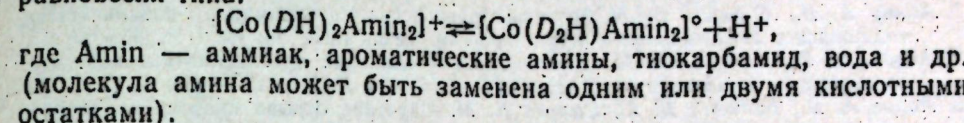
При введении в раствор, содержащий  $[\text{Co}(\text{DH})_2\text{thio}_2]^+$ , гидросульфита натрия в соотношении 1:5 вид спектра поглощения не меняется. Очевидно, в этом случае вытеснение молекул халькогенкарбамида  $\text{S}_2\text{O}_4^{2-}$ -группами не происходит.

Как показано в [3], депротонирование может осуществляться не только от диметилглиоксимат-иона. При действии щелочи на водный раствор  $[\text{Co}(\text{DH})_2\text{thio}_2]\text{NO}_3$  (рН 8,5) происходит отрыв протона от молекулы тиокарбамида с образованием нерастворимого в воде коричневого кристаллического продукта  $[\text{Co}(\text{DH})_2(\text{thio-H})\text{thio}]$ . Это свойство соединения мы использовали для доказательства химическим путем вышеприведенной реакции взаимодействия  $[\text{Co}(\text{DH})_2\text{thio}_2]^+$  с ронгалитом и гидросульфитом натрия. Действительно, если в присутствии избытка ронгалита происходит вытеснение двух молекул тиокарбамида, то в щелочной среде осадок не должен образовываться, так как протон будет отрываться только от диметилглиоксимат-иона, как это наблюдается у чугаевских диоксимиинов [4]. Как показали исследования, действие гидроксида натрия на систему  $[\text{Co}(\text{DH})_2\text{thio}_2]\text{NO}_3 +$  + ронгалит не приводит к выпадению коричневого осадка  $[\text{Co}(\text{DH})_2(\text{thio-H})\text{thio}]$ . В то же время в присутствии гидросульфита натрия при рН 8,5 образование осадка наблюдается.

Таким образом, установлено, что транс-диоксимины кобальта(III) в присутствии ронгалита в нейтральной или слабощелочной средах образуют соединения типа  $[\text{Co}(\text{SO}_3)(\text{DH})_2\text{Lig}]^+$  или  $[\text{Co}(\text{SO}_3)_2(\text{DH})_2]^{3-}$  в зависимости от соотношения исходных продуктов. Согласно [13, 19], даже хорошо очищенный ронгалит не свободен от примесей сульфита натрия вследствие его частичного разложения. Действие ронгалита на транс-диоксимины кобальта(III) в нейтральной среде сводится к последовательному связыванию в комплекс сульфитогрупп, образующихся в растворе в результате окисления ронгалита [7]. Поскольку сульфитогруппа в ряду транс-активности лигандов в диоксимиинах кобальта занимает одно из первых мест, то роль аксиальных лигандов в исследуемой реакции взаимодействия сводится лишь к способности их замещения на сульфитогруппу.

Чугаевым [17] было обнаружено, что диоксимины кобальта(III) могут обладать кислотными свойствами за счет отщепления протона от группировки  $\text{D}_2\text{H}_2$ . В настоящее время доказано, что для всех ти-

пов чугаевских диоксимиинов характерно наличие кислотно-основного равновесия типа:



В спектре поглощения водного раствора, содержащего катион  $[\text{Co}(\text{DH})_2\text{thio}_2]^+$ , при рН 9 наблюдается уменьшение интенсивности поглощения при 340 нм и смещение ее до 315 нм. Одновременно полоса поглощения при 237 нм, характерная для группировки  $\text{Co}(\text{DH})_2$ , увеличивается по интенсивности и смещается до 247 нм. Поскольку при подкислении кривая поглощения вновь возвращается в исходное положение, то можно принять, что при рН 9 отщепление протона происходит как от координированных молекул диметилглиоксими, так и от молекул тиокарбамида.

В сильнощелочной среде (рН 12—13) действие пятикратного избытка ронгалита на катион  $[\text{Co}(\text{DH})_2\text{thio}_2]^+$  приводит к появлению полосы в области 320 нм. Такая же полоса зафиксирована при действии избытка гидросульфита натрия. Полоса в области 320 нм отмечается также при действии избытка ронгалита и гидросульфита на другие транс-диоксимины, например, содержащие во внутренней координационной сфере молекулы сelenокарбамида, аминов, OH-группы, кислотные остатки.

Очевидно, в сильнощелочной среде вслед за образованием дигидроксосоединений с гидросульфитом и ронгалитом образуется одно и то же соединение. Поскольку для каждого из восстановителей характерно в сильнощелочной среде выделение сульфоксилат-иона, то, возможно, в данных условиях идет внедрение сульфоксилат-иона во внутреннюю сферу транс-диоксимиинов кобальта. Нагревание этих растворов до 80°C в течение 3 минут приводит к исчезновению полосы в области 320 нм и к смещению полосы 247 нм в область 260—270 нм (см. рисунок).

Аналогичные изменения в спектре претерпевают транс-диоксимины кобальта(III), содержащие во внутренней сфере кислотные остатки.

Спектры поглощения исследуемых соединений при рН 12—13 после нагревания до 80°C полностью совпадают со спектром цис- $[\text{Co}(\text{OH})_2(\text{DH})_2]$  — по положению полосы и несколько отличаются по интенсивности. Последнее соединение является двухъядерным, у каждого атома кобальта два координированных остатка диметилглиоксими лежат в плоскостях, угол между которыми близок к 90°. Мостиками, связывающими два иона  $\text{Co}^{3+}$  в димер, являются две оксиминые группы диметилглиоксими  $\text{Co}_1-\text{N}-\text{O}-\text{Co}_2$  и атом кислорода, входящий в координацию обоих атомов кобальта [5]. Методом ЯМР установлено, что двухъядерная структура комплекса сохраняется и в растворе [8].

Таким образом, нами выявлено, что в условиях, приближенных к производственным, транс-диоксимины кобальта претерпевают ряд превращений (где основным является переход мономеров в двухъядерные соединения). Важную роль в данном случае играет и окислительно-восстановительный процесс, протекающий в диоксимиинах под воздействием сильного восстановителя.

## ЛИТЕРАТУРА

1. Аблов А. В., Бовыкин Б. А. Изучение равновесия диоксиминых кобальта(III), содержащих тиомочевину.—Журн. неорган. хим., 1965, 10, № 1, с. 53—60.
2. Аблов А. В., Самусь Н. М. Комплексные соединения трехвалентного кобальта, содержащие тиомочевину.—ДАН СССР, 1958, 123, № 3, с. 457—460.
3. Аблов А. В., Бовыкин Б. А., Самусь Н. М. Изучение отрыва протона от диоксиминых кобальта(III), содержащих тиомочевину.—Журн. неорган. хим., 1966, 11, № 1, с. 60—66.
4. Аблов А. В., Филиппов М. П. Спектрофотометрическое изучение кислотно-основного равновесия диоксиминых трехвалентного кобальта.—Журн. неорган. хим., 1962, 7, № 5, с. 1021—1027.
5. Аблов А. В., Симонов Ю. А., Малиновский С. Т., Болога О. А., Малиновский Т. И. Строение «цикло-диоксиминых», кобальта(III).—ДАН СССР, 1975, 221, № 3, с. 605—608.
6. Бовыкин Б. А. Кинетика реакции аквации транс-бис(диметилглиоксимиата)ди(тио-карбамид) кобальта(III) в воде и водно-органических растворах.—Журн. неорган. хим., 1971, 16, № 9, с. 2429—2433.
7. Буданов В. В., Соколова Н. Н., Мельников Б. Н. Полярографическое исследование раствора ронгалита.—Химия и хим. технол., 1974, 17, № 8, с. 1155—1160.
8. Гуля А. П., Аблов А. В., Болога О. А., Щербаков В. Н. Исследование некоторых транс-диоксиминых кобальта(III) в растворе методом ПМР.—Координ. хим., 1976, 2, № 1, с. 14—17.
9. Попова В. И. Интенсификация процесса фиксации кубовых красителей при печати хлопчатобумажных тканей по ронгалитно-поташному способу. Автореф. канд. дис. М., 1972.
10. Проскина Н. Н., Аблов А. В., Шаффранский В. Н. Диоксимины кобальта(III) с селеномочевиной.—Журн. неорган. хим., 1969, 14, № 11, с. 3034—3038.
11. Проскина Н. Н., Чан Тхи Там Дан. Действие сульфитогруппы на смешанные транс-диоксимины Со(III) с селено- и тиомочевиной.—В сб.: Исследования по химии хелатных соединений. Кишинев, «Штиинца», 1971, с. 31—35.
12. Попова В. И., Булушева Н. Е., Садов Ф. И. Применение деметилглиоксимиатокобальтового комплекса в качестве катализатора восстановления кубовых красителей.—Крашени и отделка тканей, РС-4, 1971, с. 6—9.
13. Россинская Ц. Я. Новые восстановители в текстильной промышленности.—Журн. Всесоюз. хим. о-ва им. Д. И. Менделеева, 1970, 15, № 3, с. 278—283.
14. Садов Ф. И., Корчагин М. В., Матецкий А. И. Химическая технология волокнистых материалов. М., «Легкая индустрия», 1968, с. 499.
15. Сырцова Г. П., Чебан Н. Н. Смешанные сульфитодиоксимины трехвалентного кобальта с кислород-, серу- и селеносодержащими органическими лигандами.—Журн. неорган. хим., 1971, 16, № 9, с. 2471—2477.
16. Сырцова Г. П., Аблов А. В., Корлэйтну Л. Н. Реакции замещения ацидосульфо-бис(диметилглиоксимиата)кобальтатов.—Журн. неорган. хим., 1966, 11, № 5, с. 1124—1129.
17. Чугаев Л. А. Избр. труды, т. I. М., Изд-во АН СССР, 1954.
18. Dtsch. Bunders-Pat., 1239269 (1962) 1167820 (1962). BASF. (Zisker J., Schulze J., Blum A.)
19. Wasnuth C., Donnell R., Marding C.—J. Soc. Dyers Col., 1965, 81, 403.

Поступила 19.II 1979

## НАУКА—ПРОИЗВОДСТВУ

Л. А. АНФЕРОВ

### ВЛИЯНИЕ УДОБРЕНИЙ И ПЛОТНОСТИ ПОСЕВА НА УРОЖАЙ И КАЧЕСТВО ОРОШАЕМОЙ КУКУРУЗЫ

С внедрением в сельскохозяйственное производство простых гибридов кукурузы и расширением их посевов на орошаемых землях большое значение приобретает воздействие приемов агротехники на урожай зерна и его качество.

Орошение улучшает развитие корневой системы, увеличивает ее активную поглощающую поверхность, стимулирует углеводный, белковый и фосфорный обмен, уменьшает непродуктивное дыхание, повышает продуктивность фотосинтеза и урожайность растений, но способствует снижению содержания белка в зерне кукурузы.

На качество урожая влияет направленность биохимических процессов, в значительной мере зависящих от почвенно-климатических условий и приемов агротехники.

Ко времени налива зерна, когда процессы нитрификации в почве замедляются, резко сокращается поступление азота в растения, что снижает синтез азотистых веществ. Это влечет за собой уменьшение содержания белка в зерне кукурузы [2—5, 8].

По данным [2, 3, 5], при оптимальных соотношениях площадей питания, удобрений и орошения качество зерна не ухудшается. Для уточнения этих соотношений в условиях Центральной зоны Молдавии были заложены опыты в колхозе «Днестровский» Дубоссарского района. Почва опытного участка — обыкновенный тяжелосуглинистый мощный чернозем, среднее содержание фосфора 7,6 мг, калия 17,5 мг, нитрифицирующая способность 7,1 мг/100 г почвы.

Для исследований были взяты два районированных в этой зоне простых гибрида кукурузы: Краснодарский ПГ 303 ТВ и Днепровский ПГ 201. Опыты были заложены в соответствии с методикой полевых опытов для изучения агротехнических приемов возделывания кукурузы, разработанной во Всесоюзном научно-исследовательском институте кукурузы; посевная площадь делянки 160 м<sup>2</sup>, уборочная — 100 м<sup>2</sup>.

Влияние площадей питания на урожай зерна и его качество изучали, изменяя густоту стояния растений от 40 до 70 тыс./га на фоне N<sub>120</sub>P<sub>90</sub>. Действие азотно-фосфорных удобрений на содержание белка в зерне кукурузы исследовали при густоте стояния растений 50 тыс./га с варьированием вносимых доз азота от 90 до 180 кг, фосфора — от 60 до 150 кг по действующему началу.

Агроклиматические условия 1976—1978 гг. были не совсем благоприятны для роста и развития растений кукурузы. В течение трехлетнего периода исследований среднедекадная и среднемесячная температуры были в большинстве случаев ниже средних многолетних, а

количество осадков в период вегетации — значительно выше нормы, но их распределение по месяцам было неравномерным. Для создания оптимального водного режима в 1976 г. проведено два полива с нормой 750 м<sup>3</sup>/га: первый — в фазе появления 8-го листа, второй — за девять дней до выметывания метелки. В 1977—1978 гг. проведено по одному поливу в фазе появления 8-го листа (поливная норма 750 м<sup>3</sup>/га). Затем поливы были прекращены в связи с обильным выпадением осадков.

Применение орошения оказало благоприятное влияние на рост и развитие кукурузы, способствовало повышению ее продуктивности (табл. 1).

В поливных условиях урожайность зерна Краснодарского ПГ 303 ТВ возросла на 7,9 ц/га, Днепровского ПГ 201 — на 7,0 ц/га. Внесение туков в сочетании с орошением способствовало увеличению продуктивности гибридов. Максимальный урожай обоих гибридов получен при внесении 150 кг/га азота и 90 кг/га фосфора. Последующее повышение вносимых доз азотно-фосфорных удобрений и калия привело к некоторому снижению урожайности. Это же наблюдали авторы [1, 6, 7].

Рост урожайности кукурузы при орошении сопровождался снижением процентного содержания белка в зерне (табл. 2).

Если на варианте без удобрений и без орошения среднее содержание белка в зерне Краснодарского ПГ 303 ТВ было 10,39%, то при применении орошения этот процент снизился на 0,54. Внесение азотно-фосфорных удобрений и увеличение их дозы до N<sub>120</sub>P<sub>90</sub> способствовало повышению содержания белка в зерне, превышение дозы, наоборот, вело к снижению этого показателя. Некоторые исследователи объясняют это, с одной стороны, тем, что при высоких дозах усиливается рост вегетативной массы, происходит частичное полегание растений, удлиняется период вегетации, замедляются процессы транспорта пластических веществ из листьев в почку, а с другой стороны, создается избыток солей в почвенном поглощающем комплексе. Повышенная концентрация солей вызывает обезвоживание протоплазмы клеток корней, содействует накоплению токсических продуктов в рас-

Таблица 1

Влияние орошения и удобрений на урожай зерна простых гибридов кукурузы, ц/га

Вариант	Краснодарский ПГ 303 ТВ				Днепровский ПГ 201			
	1976 г.	1977 г.	1978 г.	среднее	1976 г.	1977 г.	1978 г.	среднее
Контроль I	63,9	58,2	66,3	62,8	65,2	64,7	75,2	68,3
Контроль II	79,3	64,8	67,9	70,7	80,3	69,1	76,6	75,3
N <sub>90</sub> P <sub>60</sub>	85,1	68,0	71,1	74,7	87,7	75,4	78,9	80,6
N <sub>120</sub> P <sub>120</sub>	87,1	72,7	74,7	78,2	90,5	77,9	79,8	82,7
N <sub>150</sub> P <sub>90</sub>	88,2	75,4	78,0	80,5	88,7	83,6	82,4	84,9
N <sub>180</sub> P <sub>90</sub>	84,0	72,6	73,6	76,7	85,8	78,6	78,3	80,9
N <sub>180</sub> P <sub>120</sub>	86,5	73,8	75,1	78,5	84,7	76,9	80,6	80,7
N <sub>180</sub> P <sub>150</sub>	83,5	72,3	75,7	77,2	81,5	78,2	81,1	80,2
N <sub>180</sub> P <sub>150</sub> K <sub>80</sub>	84,7	71,3	75,1	77,0	81,5	78,8	80,8	80,3
HCP <sub>0,5</sub> , ц/га	3,9	3,36	1,05	—	5,0	1,9	1,56	—
P, %	1,57	1,6	0,48	—	2,0	0,84	0,66	—

Примечание. В табл. 1—3 контроль I — без удобрений и орошения, контроль II — без удобрений, но с орошением, все остальные варианты — удобрения совместно с орошением.

Таблица 2  
Влияние орошения и удобрений на содержание белка в зерне, %

Вариант	Краснодарский ПГ 303 ТВ				Днепровский ПГ 201			
	1976 г.	1977 г.	1978 г.	среднее	1976 г.	1977 г.	1978 г.	среднее
Контроль I	11,04	8,94	11,19	10,39	10,80	8,88	10,53	10,07
Контроль II	10,23	8,46	10,86	9,85	10,16	8,34	10,44	9,65
N <sub>90</sub> P <sub>60</sub>	11,47	10,32	11,70	11,16	11,33	9,42	11,49	10,75
N <sub>120</sub> P <sub>90</sub>	12,38	10,92	12,21	11,84	12,41	10,02	12,48	11,64
N <sub>150</sub> P <sub>90</sub>	11,87	9,84	11,97	11,23	11,94	10,08	12,30	11,44
N <sub>180</sub> P <sub>90</sub>	11,46	8,94	11,37	10,59	11,48	9,66	11,55	10,9
N <sub>180</sub> P <sub>120</sub>	12,07	9,66	11,58	11,10	11,81	10,44	11,76	11,33
N <sub>180</sub> P <sub>150</sub>	12,53	9,96	11,85	11,44	11,93	9,60	12,0	11,17
N <sub>180</sub> P <sub>150</sub> K <sub>80</sub>	12,29	10,26	11,91	11,48	11,81	10,08	12,0	11,29

тении, нарушает обмен веществ — подавляет синтез белков с одновременным усилением их распада, что в известной степени способствует снижению содержания белка в зерне [6, 7]. Аналогичная картина отмечена и для растений гибрида Днепровский ПГ 201.

Несмотря на относительное снижение процента белка в зерне, его валовой выход с 1 га продолжал возрастать, что объясняется повышением урожайности (табл. 3).

Определенное влияние на урожай зерна кукурузы и его качество оказывала густота стояния растений (табл. 4). При густоте стояния растений 40 тыс./га был получен урожай зерна Краснодарского ПГ 303 ТВ 67,6/га, Днепровского ПГ 201 — 74,4 ц/га. Уплотнение посева до 60 тыс./га способствовало повышению урожайности, которая достигла максимума и соответственно составила 82,2 и 89,4 ц/га. Загущение до 70 тыс./га привело к снижению продуктивности кукурузы. Уменьшение площадей питания растений вызвало снижение процентного содержания белка в зерне (табл. 5).

При густоте стояния растений 40 тыс./га процент белка в зерне Краснодарского ПГ 303 ТВ составил 12,04, загущение посева до

Таблица 3

Зависимость валового выхода белка с гектара от доз азотно-фосфорных удобрений, кг/га

Вариант	Краснодарский ПГ 303 ТВ				Днепровский ПГ 201			
	1976 г.	1977 г.	1978 г.	среднее	1976 г.	1977 г.	1978 г.	среднее
Контроль I	606,7	447,5	638,0	564,1	605,6	458,8	684,3	595,2
Контроль II	697,6	473,1	634,2	601,6	702,0	497,4	687,8	629,1
N <sub>90</sub> P <sub>60</sub>	839,1	605,3	714,9	719,8	854,5	640,0	778,7	757,7
N <sub>120</sub> P <sub>90</sub>	927,7	682,7	784,2	798,2	965,9	673,3	856,5	831,9
N <sub>150</sub> P <sub>90</sub>	900,3	638,1	803,4	780,4	909,7	724,7	871,6	853,3
N <sub>180</sub> P <sub>90</sub>	827,8	558,2	719,7	701,9	854,5	655,0	777,8	762,4
N <sub>180</sub> P <sub>120</sub>	898,3	613,1	747,9	753,1	860,2	692,4	815,2	789,3
N <sub>180</sub> P <sub>150</sub>	899,7	621,2	770,4	763,7	836,5	643,6	836,9	772,3
N <sub>180</sub> P <sub>150</sub> K <sub>80</sub>	895,6	629,1	769,2	764,6	828,1	683,1	833,9	781,7
H3P <sub>0,5</sub> , кг/га	20,73	15,96	12,2	—	17,5	33,7	7,7	—
P, %	0,83	0,91	0,55	—	0,70	1,77	0,32	—

Таблица 4

Влияние густоты стояния растений на продуктивность простых гибридов кукурузы, ц/га

Густота стояния растений, тыс./га	Краснодарский ПГ 303 ТВ				Днепровский ПГ 201			
	1966 г.	1977 г.	1978 г.	среднее	1976 г.	1977 г.	1978 г.	среднее
40	67,1	63,3	72,4	67,6	84,2	68,1	70,9	74,4
50	84,6	73,5	75,0	77,7	91,9	77,1	79,7	82,9
60	89,2	78,0	79,3	82,2	97,6	85,3	85,3	89,4
70	91,2	76,1	77,1	81,5	96,8	83,5	80,6	87,0
$HZP_{0,5}$ , ц/га	3,7	2,82	1,53		4,41	2,67	1,65	
$P, \%$	1,48	1,29	0,67		1,58	1,13	0,69	

Таблица 5

Влияние площадей питания на содержание белка в зерне кукурузы, %

Густота стояния растений, тыс./га	Краснодарский ПГ 303 ТВ				Днепровский ПГ 201			
	1976 г.	1977 г.	1978 г.	среднее	1976 г.	1977 г.	1978 г.	среднее
40	12,74	10,74	12,63	12,04	12,61	10,14	12,93	11,89
50	12,62	10,44	12,27	11,78	12,24	9,60	12,60	11,48
60	11,90	9,81	11,97	11,23	11,98	9,36	12,30	11,21
70	11,20	9,42	11,94	10,85	11,80	8,94	12,12	10,95

Таблица 6

Зависимость валового выхода белка от густоты стояния растений, кг/га

Густота стояния растений, тыс./га	Краснодарский ПГ 303 ТВ				Днепровский ПГ 201			
	1976 г.	1977 г.	1978 г.	среднее	1976 г.	1977 г.	1978 г.	среднее
40	735,2	584,7	786,4	702,1	913,1	583,9	788,4	765,1
50	916,6	659,9	791,4	800,0	967,4	636,5	863,6	822,5
60	912,5	658,0	816,4	816,7	1005,5	688,8	902,3	865,5
70	878,9	616,2	791,7	762,3	982,7	644,2	842,2	823,0
$HZP_{0,5}$ , ц/га	12,82	30,4	15,0		19,8	18,6	18,6	15,0
$P, \%$	0,50	1,61	0,63		0,68	0,97	0,60	

70 тыс./га снизило содержание протеина до 10,85%. Однако валовой выход белка с 1 га продолжал расти за счет повышения урожая зерна (табл. 6).

**Выводы.** 1. В орошаемых условиях Дубоссарского района Молдавской ССР для получения максимальных урожаев зерна и валового выхода белка с гектара необходимо сохранять к моменту уборки густоту стояния растений около 60 тыс./га.

2. Для получения высоких урожаев зерна рекомендуется вносить 150 кг/га азота и 90 кг/га фосфора по действующему началу.

3. Для повышения валового выхода белка с гектара необходимо вносить под Краснодарский ПГ 303 ТВ 120 кг азота и 90 кг фосфора, а под Днепровский ПГ 201 соответственно 150 и 90 кг.

## ЛИТЕРАТУРА

- Бугаев В. П., Осипова З. М. Влияние удобрений на урожай и вынос питательных веществ.—Агрохимия, 1968, № 11, с. 17—25.
- Веденеев Г. И. Влияние условий выращивания на содержание белка в кукурузе. Автореф. канд. дис. Одесса, 1964.
- Ефимов И. Т. Орошающая кукуруза. М., «Колос», 1974.
- Льгов Г. К. Влияние орошения и удобрений на динамику питательных веществ и урожай растений.—В сб.: Агрономическая характеристика почв СССР (районы Северного Кавказа), вып. III. М., Изд-во АН СССР, 1963, с. 320—330.
- Павлов А. Н. Накопление белка в зерне пшеницы и кукурузы. М., «Наука», 1967.
- Станков Н. З. и др. Высокие урожаи и обеспечение их минеральными удобрениями.—Агрохимия, 1975, № 3, с. 74—79.
- Строганов Б. П. и др. Структура и функции клеток при засолении. М., 1970.
- Сыкало Н. Г. Азот, урожай и качество. Краснодар, 1968.

Поступила 13.IV. 1979

## КРАТКИЕ СООБЩЕНИЯ

А. А. ЧЕБОТАРЬ, А. И. СУРУЖИУ, Б. И. БУХАР

### О ПОЛИПЛОИДИЗИРУЮЩЕМ ДЕЙСТВИИ ГЕРБИЦИДОВ НА ПРИМЕРЕ PISUM SATIVUM L.

В целях борьбы с вредными насекомыми, сорной растительностью и болезнями растений происходит интенсивная химизация сельскохозяйственного производства с применением большого количества пестицидов. Однако становится все более очевидным, что многие пестициды обладают мутагенными свойствами [5]. Они ингибируют рост [1], нарушают митотический процесс в клетках [4]. С помощью электронного микроскопа установлено прекращение клеточного деления, дегенерация мембран митохондрий и пластид, увеличение вакуолизации клеток, потеря тurgора [2]. Ультраструктурное изучение также показало уменьшение числа трубочек, образование больших везикул [3]. Гербициды индуцируют полипloidию, дицентрические мости, фрагменты и другие нарушения хромосом [1].

С целью выявления мутагенного действия пестицидов нами использованы гербициды прометрин (производное триазинов) и трефлан, относящийся к группе ароматических аминов, в дозах, применяемых в производстве, и больших. Вносили гербициды в виде водного раствора с последующей заделкой в почву или проращивали наклюнувшиеся семена в растворах в течение трех, шести и 24 часов. Объект исследования — горох кормовой и горох овощной Рамонский 77. Корешки фиксировали жидкостью Кариуна. Учет нарушений хромосом проводили метафазным и анафазным методами на временных препаратах.

В опытах с 1% раствором прометрина, где обработка длилась три часа, в анафазах наблюдалась отставание хромосом, фрагменты и мости, которые составили 2,7%. В контроле процент aberrаций равен 0,87. Основную массу отклонений от нормы в метафазе составили полиплоидные клетки — 21,2%. В большинстве случаев это тетраплоидные клетки с  $2n=28$ .

Шестичасовая обработка раствором гербицида не изменила мутагенный эффект, однако отмечалась полипloidия. Часто встречались анеуплоидные клетки с 18 хромосомами. Интересно, что хромосомы в пределах кариотипа расщеплялись на хроматиды неодновременно.

В вариантах с внесением прометрина в почву выявлен высокий процент хромосомных нарушений — 23,2, из которых полиплоидные клетки составили 17,6%. Спектр структурных мутаций тот же, за исключением гигантских клеток с несколькими ядрами, октаплоидным набором хромосом и значительным количеством (4,1%) анеуплоидных клеток.

Трефлан, как и прометрин, индуцирует полипloidию. Однако отмечены и некоторые отличия, приближающие его действие на растительные клетки к действию колхицина. При этом хромосомы сильно укорачиваются, принимают X-образную форму. Процент aberrантных клеток в варианте с обработкой 2% раствором трефлана в течение 24 часов составляет 31,8 у гороха кормового и 38,0 у гороха Рамонский 77. Основную часть аномалий составляют полиплоидные клетки. Образование ахроматинового веретена полностью ингибируется, что вызывает полипloidию клеток. Для действия трефлана характерно, что хромосомы, располагаясь группами, в дальнейшем образуют многоядерные клетки.

Неоднократно наблюдали следующее распределение к полюсам нерасщепившихся хромосом: 6 и 8,9; 5,7 и 7. Трефлан, как и прометрин, вызывает фрагментацию хромосом.

Все описанные аномалии индуцируются прометрином и трефланом у обоих сортов гороха. Отличительным является то, что горох Рамонский 77, будучи более чувствительным по сравнению с кормовым, ингибируется гербицидами сильнее.

Полученные нами данные позволяют заключить, что прометрин и трефлан в дозах, применяемых в производстве, вызывают аномалии хромосом и нарушают митотический процесс. Механизм действия гербицидов до конца остается невыясненным, хотя по спектру индуцированных aberrаций они сходен с химическими мутагенами.

Так как гербициды, широко применяемые в сельскохозяйственной практике, оказывают мутагенное действие на культурные растения, следует учитывать, что ежегодное их внесение в почву может создать постоянно действующий мутагенный фон, способный вызвать нежелательные морфологические изменения у районированных сортов. Однако, с другой стороны, гербициды можно использовать в экспериментальном мутагенезе для индуцирования полипloidии.

## ЛИТЕРАТУРА

- Чеботарь А. А., Кантарь С. Г., Суружиу А. И., Бухар Б. И. О хромосомных и ядерно-плазменных изменениях у кукурузы и пшеницы, вызванных действием гексахлорана, нафталина и фенола. — ДАН СССР, 1975, 223, № 1, с. 213—215.
- Chang C. T., Don Smith. Effect of DCPA on ultrastructure of Foxtail millet cells. — Weed Sci., 1972, 20, № 3, p. 220—225.
- Jackson W. T., Stettler D. A. Regulation of Mitosis. IV An in vitro and ultrastructural study of trifluralin. — Can. J. Botan., 1973, 51, N 8, p. 1513—1518.
- Styles J. A. Cytologic effects of various pesticides in vivo and in vitro. — Mutation Res., 1973, 21, N 1, p. 45—46.
- Vogel E., Fahringer R. G. Triazenes: a new group of indirect mutagens. — Mutation Res., 1973, 21, N 3, p. 123—136.

Поступила 4.VI 1979

Н. Ф. САПОЖНИКОВА

### СЕЗОННЫЕ ИЗМЕНЕНИЯ СОДЕРЖАНИЯ РЕГУЛЯТОРОВ РОСТА В КОРНЯХ МОЖЖЕВЕЛЬНИКА КАЗАЦКОГО В УСЛОВИЯХ МОЛДАВИИ

Можжевельник казацкий — декоративный кустарник, отличающийся долговечностью, нетребовательностью к почве и высокой фитонцидной активностью. Изучение химии эфирных масел хвои позволило выявить большое значение кустарника для фармацевтической, парфюмерной и пищевой промышленности.

Можжевельник казацкий отличается слабой возобновляемостью вследствие низкой всхожести семян и частой партеноспермичности. Поэтому насаждений этого красивого и ценного растения становится все меньше. В 1975 г. можжевельник казацкий был внесен в «Красную книгу СССР». В связи с этим нами была поставлена задача полнее изучить биологические особенности можжевельника казацкого, связанные с его ростом и развитием.

Основными факторами, влияющими на рост растения, являются природные регуляторы. У хвойных растений они изучены в побегах, почках и хвои сосны обыкновенной [2, 4, 5], у можжевельника казацкого — только в хвое [3].

Мы изучали природные регуляторы роста в корнях можжевельника казацкого на протяжении вегетации. Для определения в них физиологически активных веществ корни выкапывали из слоя почвы в 40 см и отделяли ростовые корни. Затем их отмывали в воде, подсушивали фильтровальной бумагой и быстро фиксировали жидким азотом. После этого измельчали на электрической мельнице и сушили на полупроизводственной лиофильной установке. Для хроматографирования брали две навески по 1 г абсолютно сухих измельченных тканей и, смочив 0,5 мл воды, экстрагировали серным эфиром. Эфир упаривали в токе холодного воздуха, а осадок заливали 96% этанолом. Разделение, очистку и разгонку хроматограмм осуществляли по методике [1]. Каждое пятно, нанесенное на бумагу (Ленинградская медленная 2), включало 0,1 г экстракта. Растворители — n-бутиловый спирт, аммиак и вода в соотношении 100:3:18, 10:1:1, а также изопропиловый спирт, аммиак и вода в соотношении 10:1:1, 10:1:1, 10:1:1, а также изопропиловый спирт, аммиак и вода в соотношении 10:1:1.

Хроматограммы просматривали в УФ-свете, пятна очерчивали, затем проявляли сериями цветных реакций для выяснения природы веществ. Так как ростовые вещества не всегда выявляются специфическими реагентами, мы проводили дополнительный биологический тест в трех повторностях, используя пшеницу Одесская 51. Полученные результаты сравнивали с данными работы [1], поскольку разделение экстрактов проводилось на подобной бумаге и в аналогичных растворителях, а также с данными авторов [4, 5], исследовавших хвойные растения.

В результате проведенного хроматографического анализа в экстрактах корней можжевельника казацкого (рис. 1) идентифицированы хиноны ( $R_f$  0,1—0,25),

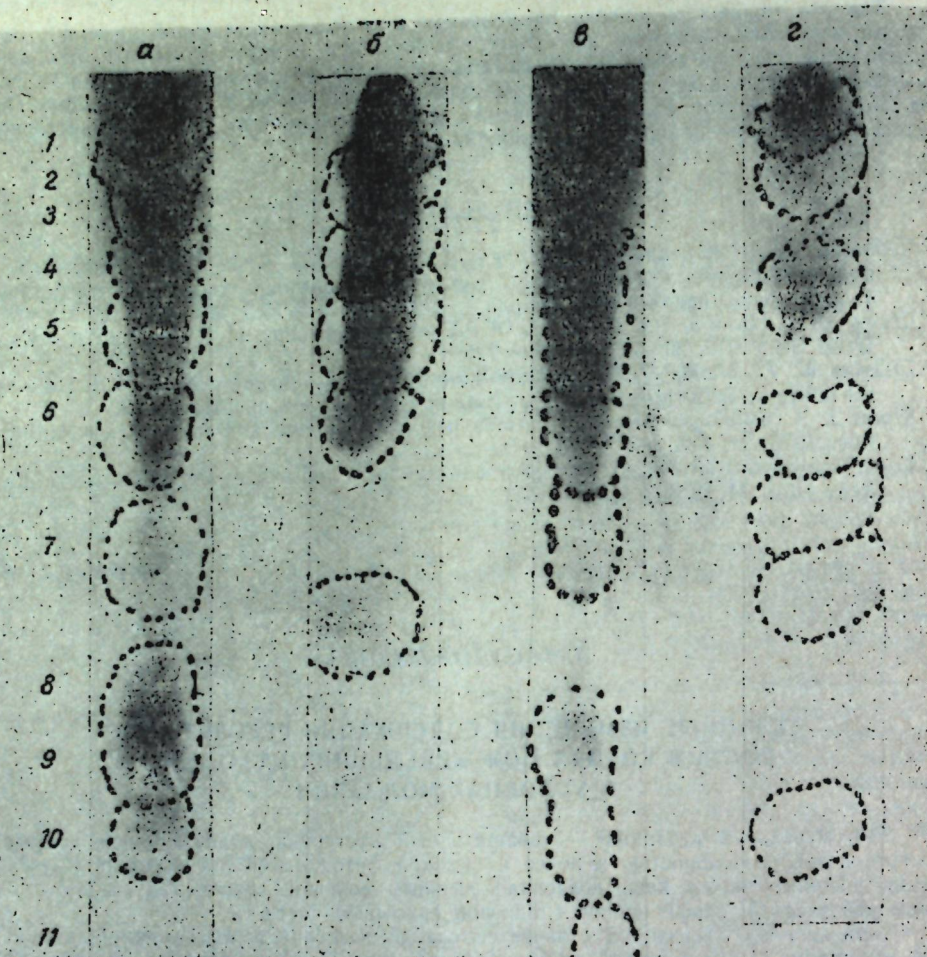


Рис. 1. Хроматограммы экстрактов ростовых веществ корней можжевельника казацкого, проявленные диазотированной сульфаниловой кислотой (а), хлорным железом (б), реагентом Сальковского (в) и реагентом Прохазки (г). Идентифицированные вещества:

1—4 — хиноны; 5, 6 — флавоноиды; 7 — ауксии ИУК; 8 — абсцизовая кислота;  
9 — фенолкарбоновая кислота; 10, 11 — фенолальдегиды

которые плотно располагаются на хроматограммах и флюоресцируют в УФ-свете коричневым и малиново-коричневым светением. Ванилиновый реагент дает с ними ярко-розовое окрашивание. В зоне с  $R_f$  0,1 прослеживается ингибирование, а в зоне с  $R_f$  0,12—0,25 — стимулирование, и только в период активного роста корней и побегов хиноны проявляют 20% ингибирование. Флавоноиды ( $R_f$  0,25—0,34) в УФ-свете дают желто-коричневое светение, с диазотированной сульфаниловой кислотой (ДСК) и с реагентом Эрлиха — розовое окрашивание. Зона с  $R_f$  0,35—0,45 в УФ-свете и парах аммиака светится фиолетовым светением, с цветными реагентами  $\beta$ -индолилуксусной кислоты (ИУК), она давала постоянную стимуляцию роста отрезков колеоптильной щишицы; к тому же, учитывая  $R_f$  в этом растворителе, мы склонны все же считать ее ИУК. Это согласуется с данными других исследователей [2—5]. В зоне с  $R_f$  0,45—0,8 определяются фенолкарбоновые кислоты (ФКК). Они дают в УФ-свете голубое и фиолетовое светение, с ДСК — оранжевую окраску.

Во второй половине марта в экстрактах корней обнаружено вещество, дающее в УФ-свете розовое, а с ДСК — желтое окрашивание ( $R_f$  0,3). Сильная ингибирующая активность и топография пятна позволили отнести это вещество к фторидзину. Однако из-за отсутствия метчика этого соединения такая идентификация является

предположительной. Зона с  $R_f$  0,9—1,0 в УФ-свете дает голубое свечение, с ДСК — от ярко-розового до оранжевого окрашивания и идентифицирована как фенолальдегид. Зона на протяжении всего вегетационного периода проявляет ингибирующий эффект.

В корнях, вступивших в рост (вторая половина марта), обнаружена стимуляция до 70% в зоне ИУК. Ингибиторы роста немного (12%) и проявляются они в зоне с  $R_f$  0,8—0,95 за счет действия фенолальдегида (рис. 2).

Активность стимуляторов в фазе интенсивного роста корней (май) снижается по сравнению с фазой начала роста ( $R_f$  0,3; 0,5; 0,6), но все же превалирует над ингибированием.

Начало второго периода роста корней (июль) сопровождалось повышением общей стимуляции, усиливающейся за счет исчезновения ингибиторов в зоне с  $R_f$  0,06—0,15, уменьшением тормозящего действия в зоне с  $R_f$  0,47 (флавоноиды) и появлением в зоне с  $R_f$  0,77 стимулирующего эффекта (25%) за счет действия ФКК.

В августе при более интенсивном росте корней стимуляция в них усиливается в зонах с  $R_f$  0,28—0,32 и 0,5—0,8 (хиноны и флавоноиды) и зоне с  $R_f$  0,5 (ауксины ИУК). В октябре, когда затормаживаются процессы роста во всем растении, в корнях накапливаются ингибиторы (20—40%) за счет усиления действия абсцизовой кислоты (АБК) и ФКК. Такое состояние сохраняется до начала весеннего роста корней (III декада марта).

Таким образом, в экстрактах корней можжевельника казацкого определяются хиноны, флавоноиды, ФКК, АБК, фторидзин, ауксины ИУК, ИУК, фенолальдегиды, состав которых сильно варьирует в течение вегетационного периода, что связано с ростовыми процессами, протекающими в растении.

Между ростом корней и наличием в них стимулирующих веществ прослеживается прямая зависимость: в период интенсивного роста корней (март, август) в них усиливается активность стимуляторов роста.

Результаты исследований показывают наличие и особенности перераспределения эндогенных ростовых веществ в корнях можжевельника казацкого на протяжении вегетационного периода, что является важным фактором при решении вопросов быстрой интродукции этого вида в различных почвенно-климатических районах Молдавии.

#### ЛИТЕРАТУРА

1. Кефели В. И., Турецкая Р. Х., Коф Э. М., Власов П. В. Методы определения биологической активности ауксинов и ингибиторов роста в растительном материале. — В сб.: Методы определения фитогормонов, ингибиторов роста, дефолиантов и гербицидов. М., «Наука», 1973.
2. Меняйло Л. Н. Природные регуляторы роста сосны обыкновенной. — В кн.: Биохимическая характеристика хвойных пород Сибири в связи с ростом и морфогенезом. Новосибирск, «Наука», Сибирское отд., 1974.
3. Сапожникова Н. Ф., Гордиенко И. И., Бойчук О. Б. Динамика ростовых веществ в хвое можжевельника казацкого. — Изв. АН МССР, Сер. биол. и хим. наук, 1978, № 1, с. 14—16.
4. Alden G., Eliasson L. Occurrence of indol-3-acetic acid in buds of *Pinus sylvestris*. — Physiol. Plant., 1970, 23, N 1, p. 143—155.
5. Wodzicki T. J. On the question of occurrence of indol-3-acetic acid in *Pinus sylvestris* L. — Amer. J. Botan., 1968, 55, p. 564—571.

Поступила 11.III 1979

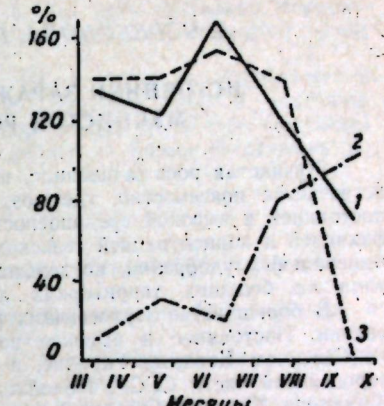


Рис. 2. Суммарный ростовой эффект в экстрактах корней можжевельника казацкого (1973 г.):  
1 — суммарная стимуляция; 2 — суммарное ингибирование; 3 — стимуляция в зоне ИУК

М. А. ЧЕРЕБЕДОВА, Р. Е. ДАВИДОВИЧ, Ш. М. ГРИНБЕРГ

### ИСТОЧНИКИ ЗАРАЖЕНИЯ ПШЕНИЦЫ ВОЗБУДИТЕЛЕМ МУЧНИСТОЙ РОСЫ В УСЛОВИЯХ МОЛДАВИИ

Мучнистая роса на пшенице, вызываемая грибом *Erysiphe graminis* DC f. *tritici* M., встречается повсеместно, где возделывается эта культура. Болезнь характеризуется постоянной и высокой вредоносностью, особенно в последние годы в связи с интенсификацией и концентрацией сельскохозяйственного производства, внесением высоких доз минеральных удобрений, возделыванием генетически однородных сортов интенсивного типа на больших территориях и увеличением доли зерновых в севооборотах.

В большинстве зерносеющих районов страны потеря урожая от мучнистой росы велики. Постоянное и высокое поражение посевов зерновых колосовых отмечается на Северном Кавказе, Украине, в центрально-черноземных и нечерноземных районах европейской части СССР, Поволжье. Зонами наибольшего распространения являются Молдавия, Украина, Северный Кавказ, центральные области РСФСР.

У больных растений значительно уменьшается ассимиляционная поверхность листьев, интенсивность фотосинтеза, повышается энергия дыхания. Пораженные болезнью листья засыхают, поникаются кустистость и высота растений. Все это приводит к снижению урожайности пшеницы.

Патоген является широко распространенным облигатным паразитом. Это один из наиболее вредоносных видов, так как приспособливается к самым разнообразным климатическим условиям. Он способен развиваться при довольно широкой амплитуде температур и влажности. Современные исследования показывают, что в различных географических зонах биология возбудителя мучнистой росы пшеницы имеет свои специфические особенности.

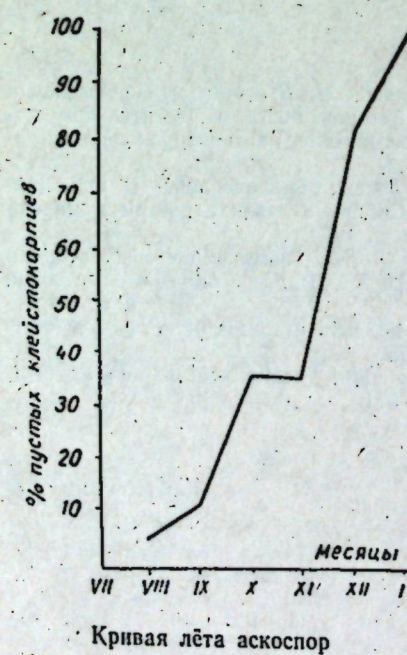
Детальное изучение цикла развития патогена и способа его перезимовки было проведено в нашей стране Горленко [1], экспериментально установившего, что в Воронежской области возбудитель мучнистой росы переносит зиму в виде мицелиальных подушечек на нижних листьях озимой пшеницы и сумчатая стадия в перезимовке не участвует. Аналогичные данные получены для Псковской [2] и Московской [3] областей, для Краснодарского края [4]. В Сибири же, по наблюдениям Лаврова [5], гриб зимует в стадии клейстокарпии.

Таким образом, роль сумчатой и конидиальной стадий неодинакова в различных географических зонах и зависит от конкретных климатических условий.

В Молдавии нами проводились наблюдения за динамикой развития возбудителя мучнистой росы пшеницы в течение трех лет (1976–1978). Свежие подушечки гриба после перезимовки появлялись во II–III декадах апреля. Заболевание развивалось быстро и уже к концу июня были поражены почти все ярусы листьев восприимчивых сортов. Первые плодовые тела (克莱стокарпии) отмечены во II–III декадах мая. Их микроскопирование показало, что в майских и июньских пробах сумки в плодовых телах еще не дифференцированы. В июльских и августовских пробах содержимое клейстокарпий уже дифференцировалось на сумки и аскоспоры, что свидетельствует о созревании плодовых тел, однако лет аскоспор в этот период не отмечен. Он начинается в августе.

Интенсивный лет аскоспор проходит в сентябре–ноябре (см. рисунок). В августе–сентябре вылетевшие аскоспоры заражают падалицу, а в октябре–ноябре аскоспоры и конидии с падалицы заражают озимые посевы. Следовательно, в Молдавии возбудитель мучнистой росы в виде клейстокарпий не зимует, и весеннее заражение в полевых условиях не может происходить от аскоспор.

Для выявления способа перезимовки возбудителя вели наблюдения за озимой пшеницей в поле с ноября по март. Ежемесячный анализ образцов озимой пшеницы с поля показал, что гриб зимует на нижних листьях растений озимой пшеницы в виде подушечек мицелия и конидиев. При ино-



куляции конидиями с поля проростков пшеницы на 5–7-й день визуально отмечали признаки заболевания. Это свидетельствует о том, что конидии сохраняют свою жизнеспособность в течение всего периода зимовки.

Таким образом, возбудитель *Erysiphe graminis* DC f. *tritici* M. сохраняется в зимний период в виде мицелия и конидиев на нижних листьях озимой пшеницы. Первичное заражение растений происходит от аскоспор осенью, вторичное (весеннее) заражение — от зимующих конидий гриба. Клейстокарпия — форма сохранения патогена от уборки до всходов.

### ЛИТЕРАТУРА

- Горленко М. В. Способы перезимовки мучнистой росы (*Erysiphe graminis* DC) на злаках. — Докл. ВАСХНИЛ, 1942, 35, № 6.
- Александров М. Н. Способы зимовки форм (*Erysiphe graminis* DC). — Микол. и фитопатол., 1968, 2, № 6.
- Тюлина Л. Р. Мучнистая роса озимой пшеницы в Московской области и меры борьбы с ней. Автореф. канд. дис. Московская обл., 1960.
- Макаренко А. С. Биологические особенности возбудителя мучнистой росы *Erysiphe graminis* на зерновых колосовых культурах в условиях Краснодарского края. — Тр. Кубанского с.-х. ин-та, 1973, вып. 47 (75), с. 44–52.
- Лавров Н. Н. Болезни зерновых культур в Томской области и меры борьбы с ними. — Тр. Томского ун-та, 1951, вып. 114, 125–130.

Поступила 5.XII 1978

А. И. НАБЕРЕЖНЫЙ, С. Г. ИРМАШЕВА

### СООТНОШЕНИЕ РАЗМЕРОВ И МАССЫ ТЕЛА У ГАРПАКТИЙД (CRUSTACEA, HARPACTICOIDA)

До последнего времени сведения о массе тела у гарпактийд ограничиваются отрывочными данными, основанными на непосредственном взвешивании особей отдельных видов этой группы веслоногих ракообразных.

Предложенные численные параметры уравнения [1, 3, 6] не применимы к гарпактийдам. Необходимость же в таких данных не вызывает сомнений, в особенности при экологофизиологических исследованиях этой интересной и малоизученной группы.

Определение массы тела особей разноразмерных групп гарпактийд провели на основании линейных промеров на примере *Nitocrella hibernica* (Brady) — одного из широко распространенных видов гарпактийд не только в водоемах Молдавии. Массу (сырую) промеренных раков, с первых копеподитных до половозрелых стадий, включая яйценосных самок, рассчитывали косвенным путем по объему их тела [2]. При этом было принято, что удельный вес раков равен 1. Объем тела раков складывался из объема цефалоторакса, вычисленного по формуле  $1/2 \pi r^2 L$  эллипсоида вращения, и объема абдомена, имеющего у данного вида гарпактийд форму усеченного конуса. Объемы антенн, конечностей и фуркальных ветвей составляли всего 5% общего объема тела. Объем яйцевого мешка равен в среднем 30% объема тела. При этом учитывали объемы эмбрионов и среднюю плодовитость данного вида равную 14 [4].

Полученные величины измерения раков были разбиты на 23 группы, объединяющие раков размерами от 0,145 до 0,575 мм. Всего измерено 340 раков. Необходимые материалы отобраны в Кучурганском лимане — пойменном водоеме нижнего Днестра и придунаиском озере Кагул. Измерение линейных параметров рака проводили под микроскопом. За длину рака принимали расстояние от переднего конца тела до развилики фуркальных ветвей.

Определение параметров  $q$  и  $b$  из известного степенного уравнения [2], отражающего зависимость веса от длины тела  $W = q \cdot L^b$  (в логарифмической форме уравнение имеет вид  $\lg W = \lg q + b \cdot \lg L$ ) проводили принятым в биометрии методом наименьших квадратов. Статистическую оценку полученных нами параметров проводили по [5].

Статистическая обработка полученных материалов показала, что коэффициент корреляции  $r$  равен 0,9904. Среднеквадратичное отклонение логарифма веса и длины  $s_{\lg W} = 0,4470$ ,  $s_{\lg L} = 0,1628$ . Ошибки свободного члена и углового коэффициента в логарифмической форме составили:  $S_{\lg q} = 0,0132$ ,  $S_{\lg b} = 0,0824$ , а их доверительный интервал при уровне значимости  $P = 0,05$  соответственно  $I_{\lg q} = -1,4810 \pm 0,0259$ ,  $I_{\lg b} = 2,7193 \pm 0,1615$ . Соотношение размеров и веса у исследуемого рака хорошо видно на логарифмическом графике (см. рисунок), где они располагаются вдоль теоретически рассчитанной прямой.

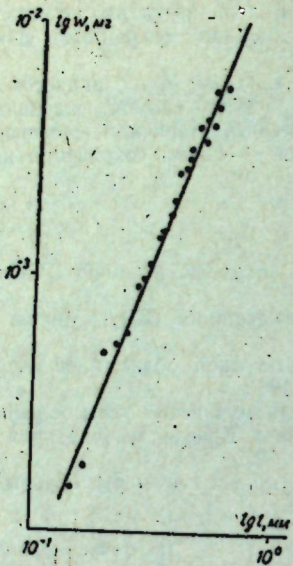


График зависимости массы ( $W$ ) от длины ( $l$ ) тела *Nitocrella hibernica* (Brady) в логарифмической форме ( $W=0,033 \cdot L^{2,7193}$ )

#### ЛИТЕРАТУРА

- Белова И. В., Константинов А. С. Линейные параметры и вес у некоторых Сореподов.—В сб.: Физиологическая и популяционная экология животных, вып. 1 (3). Саратов, изд. Саратов. ун-та, 1973, с. 24—29.
- Винберг Г. Г. Методы определения продукции водных животных. Минск, «Вышешшая школа», 1968, с. 9—241.
- Камишилов М. М. Определение веса *Calanus finmarchicus* (Gunner) на основании измерения длины тела.—ДАН СССР, 1951, 76, 6, с. 945—949.
- Набережный А. И., Ирмашева С. Г. Половая структура и плодовитость гарпактицид в некоторых водоемах Молдавии.—Изв. АН МССР, Сер. биол. и хим. наук, 1977, № 3, с. 49—52.
- Умнов А. А. Применение статистических методов для оценки параметров эмпирических уравнений, описывающих взаимосвязь между энергетическим обменом и массой тела животного.—Журн. общей биол., 1976, 37, 1 с. 71—86.
- Щербаков А. П. Соотношение размеров и весов у пресноводных планктонных ракообразных.—ДАН СССР, 1952, 84, 1, с. 153—156.

Поступила 12.XII 1978

И. В. ШУБЕРНЕЦКИЙ, М. З. ВЛАДИМИРОВ

#### МАССОВОЕ ОБРАСТАНИЕ КРУГОРЕСНИЧНЫМИ ИНФУЗОРИЯМИ МИЗИД (CRUSTACEA, MYSIDACEA) В САДКОВОЙ КУЛЬТУРЕ

Вопросы систематики, экологии эпифитонтных кругоресничных инфузорий, их взаимоотношений с животными-носителями до настоящего времени остаются еще слабоизученными. Нами [4] и другими авторами [2] выявлены различные типы взаимоотношений между эпифитонтами и их носителями в ряде семейств отряда Peritrichida: Urceolariidae, Scyphidiidae, Epistylidae, Vorticellidae. Однако этих данных крайне недостаточно для каких-либо определенных суждений о влиянии инфузорий-эпифитонтов на жизнедеятельность животных-носителей.

Цель данного сообщения — дополнить в какой-то степени работы [1, 3] о заселении высших ракообразных кругоресничными инфузориями и условиях, способствующих этому.

В период проведения экспериментов по культивированию фитофильного вида мизид *Limnomyces benedeni* Сегн., мы столкнулись с явлением массовой вспышки зараженности кругоресничными инфузориями данного рачка.

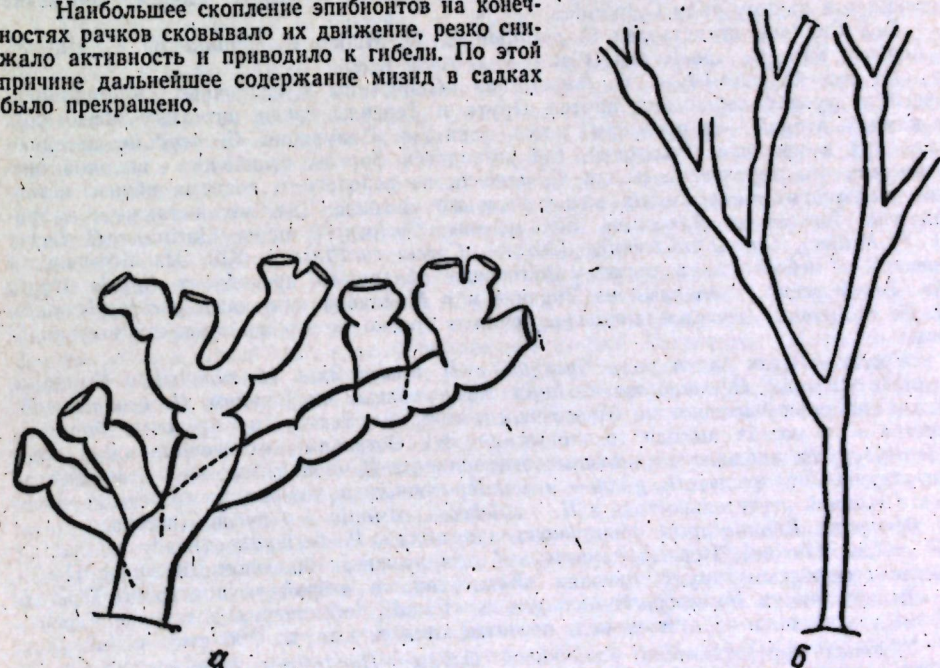
Животные культивировались в комбинированных капроново-полиэтиленовых садках площадью 0,4 м<sup>2</sup> каждый, установленных на деревянном плоту в пруду площадью 0,3 га. В садки были посажены яйценосные самки из расчета 25 и 50 экз/м<sup>2</sup>. Культивирование длилось 45 дней. Контроль за состоянием популяции рачков осуществляли каждые пять дней. На 40-й день содержания в садках (1.VI 1978) основная масса рачков была еще свободна от перитрий и лишь незначительная часть особей уже была носителем 10—20 инфузорий на одном рачке. Среднесуточная температура воды в садках составила 21°C, а численность рачков значительно возросла и в зависимости от исходной плотности маточной культуры колебалась от 5 до 12 тыс. экз/м<sup>2</sup>.

Сравнительно высокая плотность мизид, повышение температуры воды и обилие свежего детрита способствовали массовой вспышке численности инфузорий *Zoothamnium mysidae* и *Epistylis mysidae*, описанных нами ранее из Дубоссарского водохранилища [5]. Рачки I и II садковой генерации со средней массой тела соответственно 9,0 и 2,0 мг и молодь второго помета от I генерации (масса 0,2 мг) от антенных пластинок до тельсона были покрыты колониями инфузорий. Число особей в колониях колебалось от двух до четырех у *Epistylis mysidae* и от 10 до 220 у *Zoothamnium mysidae*. Так как колонии различались по размерам, инфузории на носителе располагались в два яруса: в верхнем — *Zoothamnium*, в нижнем — *Epistylis*. В численном отношении доминировал первый вид (10:1).

Найденные формы морфологически почти не отличались от типичных [5], за исключением более крупных размеров колоний и их оформления у *Zoothamnium mysidae* в зависимости от локализации. Колонии, заселявшие конечности и головную часть рачков, обладали укороченным толстым стеблем, редко превышавшим 250—300 мкм в высоту. Колонии же, обитающие на панцире и спинной части брюшка, имели длинные, тонкие и гибкие стебли высотой до 1000 мкм (см. рисунок).

Инфузории на теле носителя распределялись неравномерно, что определялось его морфологическим строением. Наибольшее количество эпифитонтов локализовалось на конечностях (около 33% от общего количества), брюшке (23%), спинной (17,5%) и головной частях (14%). Небольшое количество особей обоих видов (до 5%) фиксировалось на тельсоне, антенных пластинках и даже на самих антенах. В среднем количество инфузорий на рачках I и II генераций колебалось от 5 до 8,5 тыс. Вместе с тем на отдельных рачках число кругоресничных инфузорий достигало 20 тыс.

Наибольшее скопление эпифитонтов на конечностях рачков сковывало их движение, резко снижало активность и приводило к гибели. По этой причине дальнейшее содержание мизид в садках было прекращено.



Колонии *Zoothamnium mysidae*, локализующиеся на конечностях и головной части (а); панцире и спинной части брюшка (б)

Таким образом, если на различных участках тела мизид обнаружены колонии перитрих, культивирование следует прекратить во избежание дальнейшей вспышки зараженности инфузориями и гибели раков.

## ЛИТЕРАТУРА

- Банина Н. Н., Бойцова И. Л. Инфузории отр. Peritrichia на бентосных беспозвоночных некоторых водоемов Ленинградской области.—В сб.: Паразиты водных беспозвоночных животных. Львов, изд. Львовск. ун-та, 1972, с. 53—59.
- Банина Н. Н. Апизомы и апизомозы в карповых хозяйствах.—Изв. ГосНИОРХ, 1977, 119, с. 97—102.
- Бойцова И. Л. Кругоресничные инфузории (отр. Peritrichia) на бентосных животных.—Вестн. Ленинград. ун-та, 1976, вып. 1, № 3, с. 39—49.
- Шубернекий И. В., Чорик Ф. П. Эпифитные кругоресничные инфузории (Ciliata, Peritrichia) низших ракообразных.—Изв. АН МССР, Сер. биол. и хим. наук, 1977, № 2, с. 61—66.
- Шубернекий И. В. Новые виды кругоресничных инфузорий водоемов Молдавии.—Изв. АН МССР, Сер. биол. и хим. наук, 1978, № 5, с. 62—67.

Поступила 2.XI 1979

А. Л. КОВАЛЕНКО

## ОСТРАКОДЫ ВЕРХОВЬЯ ДНЕСТРА, ПРУТА И ЗАКАРПАТЬЯ

До настоящего времени сведения о фауне остракод верховья Днестра и Прута практически отсутствовали. Данное сообщение основано на материалах, собранных автором летом 1968 и 1976 гг., а также на сборах, любезно переданных нам для определения сотрудником Института гидробиологии АН УССР В. В. Полищуком.

Всего обнаружен 21 вид остракод, относящихся к девяти родам семейства Cyprididae и одному роду Cytheridae.

Род *Candonia* представлен *C. parallela* G. W. Müller, *C. candida* (O. F. Müller), *C. neglecta* Sars, *C. fabaeformis* (Fish.), *C. crispata* Klie.

Из них *C. parallela* и *C. fabaeformis* обнаружены в единичных экземплярах: первый в руслах небольших проток Прута и Тереблы среди нитчатых обрастаний на камнях; второй — в русловом плесе реки Уж. Популяция *C. candida*, населяющая пруд в урочище Лукатрино, где разводится форель, отличалась высокой численностью, что характерно и для *C. neglecta* из небольшого водоема вблизи источника железистых минеральных вод в этом же урочище. Там же, а также в старицах рек Тересла и Латорицы обнаружены *Cyclocypris ovum* (Jurine), *C. laevis* (O. F. Müller), *Cypria ophthalmica* (Jurine), *Cypria curvifurcata* Klie. На Яблоницком перевале в небольшом водоеме у источника обнаружен кренобионт *Cypria stygia* Klie. Такой распространенный на Украине и в Молдавии вид, как *Cypridopsis vidua* (O. F. Müller) встречается довольно редко и только в хорошо прогреваемых водоемах.

Среди четырех видов рода *Nyocyparis* — *N. bradyi* Sars, *N. monstrifica* Normann, *N. gibba* (Pamid.), *N. salebrosa carinata* Kov. — только популяциям *N. bradyi* свойственна высокая численность. Многочислен этот вид также в русловых биотопах Днестра и в местах выхода грунтовых вод [1]. Остальные, отмеченные здесь виды рода *Nyocyparis*, найдены в единичных экземплярах: *N. monstrifica* — в русле Днестра и в старице Латорицы; *N. gibba* — в малопроточных и хорошо прогреваемых водоемах с пышной растительностью, а *N. salebrosa carinata* — в русле Днестра.

Из рода *Potamocyparis* обнаружено два вида — *P. variegata* (Brady et Norm.) и *P. villosa* (Jurine). Первый, характерный для русловых биотопов Днестра и Прута, найден в форелевом пруду урочища Лукатрино, а второй — в старице Тереслы.

В популяциях *Heterocypris incongruens* (Rāmd.), обитающих в старице Тереслы и в местах выхода грунтовых вод, насчитывается иногда до 200 тыс. экз./м<sup>2</sup>.

Типичный представитель родниковой фауны — *Nyodromus olivaceus* (Brady et Norm.), — отмечен в урочище Лукатрино, а также в родниках, выходящих по склонам долин рек. В небольших водоемах, возникших в местах выхода грунтовых вод и расположенных в поймах рек, часто встречается *Eucypris zenkeri* (Chyzer).

Отметим также, что в средней и нижней частях бассейна Днестра *Candonia parallela* свойственна исключительно фауне родников и колодцев, а *C. candida* в процентном состоянии здесь пока не найдена. Однако в ископаемом состоянии створки раков *C. candida* описаны из среднеплейстоценовых отложений нижнего Приднестровья [2].

Весьма характерны для русловых биотопов Днестра, Прута и Тиссы популяции *Limnocythere inopinata* (Baird), достигающие 3 тыс. экз./м<sup>2</sup> и состоящие из сильно бугристых форм, что отражает их морфологическую адаптивность к быстрому течению.

## ЛИТЕРАТУРА

- Коваленко А. Л. Современные остракоды бассейна Днестра. Кишинев, «Штиница», 1976.
- Негадаев-Никонов К. Н. Остракоды континентального плейстоцена юга европейской части СССР. Кишинев, «Штиница», 1974.

Поступила 1.VI 1979

М. В. БОДРУГ

## ПОЛЫНЬ ОДНОЛЕТНЯЯ — ПЕРСПЕКТИВНОЕ ЭФИРНОМАСЛИЧНОЕ РАСТЕНИЕ

В природной флоре Молдавии встречается девять видов полыни [1]. В результате интродукции и изучения их в Ботаническом саду Академии наук Молдавской ССР выявлено, что наиболее ценным для парфюмерно-косметической промышленности является полынь однолетняя *Artemisia annua* L. Она растет вдоль дорог и как сорняк в садах и огородах, образуя мелкие заросли. Ее надземные органы обладают приятным запахом благодаря высокому содержанию эфирного масла, которое представляет собой лимонно-желтую жидкость. Дегустационная комиссия Союзпарфюмерпрома оценила его качество в 4,2 балла.

В состав эфирного масла входит α-пинен, цинсол, камфора, артемизиакетон, изоартемизиакетон, борнеол, фенолы и другие компоненты [2].

Полынь однолетняя — растение из семейства Астровых. Стебель голый, прямой, буроватый, сильно ветвистый, достигающий 200 см высоты. Листья на черешках, овальные, дважды-трижды перисторассеченные. Верхние листья сидячие, более мелкие. Корзинки шаровидные, многочисленные, на коротких ножках, собраны в пирамидальное метельчатое соцветие. Плоды очень мелкие, бурые. Вес 100 семян 0,5—0,6 г.

Полынь однолетняя размножается семенами. Посев следует производить непосредственно в грунт под зиму — в конце ноября или весной — в марте. Для посева участок должен быть хорошо выровнен и прикатан, очищен от сорняков, особенно от корневищ многолетних растений. Семена следует высевать в сплошные рядки с расстоянием между рядами 70 см, поверхность или на глубину не более 0,5 см. На 1 га следует высевать 2,0—2,5 кг семян со всхожестью 80—85%.

В полевых условиях семена прорастают при температуре почвы 6—8° спустя 10—12 дней после посева. В течение 25—30 дней после появления всходов (в зависимости от температуры и влажности почвы) растения образуют розетку из восьми-девяти листьев, после чего идет формирование стебля. Недостаток влаги во второй половине лета заметно задерживает рост и развитие растений, что сказывается на урожае зеленой массы. Растения бутонизируют в начале сентября, цветут с серединией сентября до конца октября. От прорастания семян до их созревания проходит 220—230 дней. Семена созревают в начале ноября.

Полынь однолетняя отличается холодостойкостью, мало поражается болезнями и почти не повреждается вредителями. Хорошо растет на разных почвах, за исключением переувлажненных и сильно засоленных.

Уход за посевами полыни однолетней начинается с момента обозначения рядков. Между рядами обрабатываются тракторными культиваторами общего назначения, оборудованными односторонними подрезающими лапами-бритвами, предохраняющими рядки от засыпания землей. В защитных зонах широкорядного посева сорняки вырывывают вручную. В это же время растения прореживают, оставляя на 1 м<sup>2</sup> по 10—12, поскольку большая густота стояния растений в рядках вызывает развитие у них тонких стеблей и слабое ветвление, что приводит к снижению урожая сырья и эфирного масла. Обработку между рядами и прополку сорняков в рядках проводят по мере появления сорняков.

**Содержание эфирного масла в растениях полыни однолетней по фазам развития, % от абсолютно сухого вещества**

Фаза развития	Дата про-ведения анализов	Содержа-ние эфир-ного масла
Ветвление стебля	27.VIII	0,98
Бутонизация	10.IX	1,09
Массовое цвете-ние	24.IX	1,18
Конец цветения	18.X	0,91

Эфирное масло содержится в растениях во всех фазах развития, однако максимальное его количество отмечено в фазе массового цветения (см. таблицу). В фазе массового цветения растений наибольшее количество эфирного масла содержится в листьях (1,70%) и соцветиях (1,22%), наименьшее — в стеблях (0,14%). Следова-тельно, лучшее время уборки сырья — конец сентября—начало октября.

Растения следует скашивать на высоте 10—15 см от поверхности почвы в солнечное, сухое, безветренное время и сразу же отправлять на переработку. Отгонка эфирного масла может производиться в обычных перегонных аппаратах. Длительность процесса перегонки 1—1,5 часа.

В условиях культуры с 1 га плантаций полыни однолетней можно получить 270—300 ц свежего сырья, или 80—90 кг эфирного масла.

**ЛИТЕРАТУРА**

- Гайдеман Т. С. Определитель высших растений Молдавской ССР. Кишинев, «Штиинца», 1975.
- Якобашвили Н. З., Кучухидзе Н. М. Эфирное масло полыни однолетней. — Масложировая пром., 1977, № 9, с. 27—28.

Поступила 11.II 1980

**B. K. ЧЕРВЕНЬ**

**ВЛИЯНИЕ МИНЕРАЛЬНЫХ УДОБРЕНИЙ НА СОСТАВ БЕЛКОВ ЗЕРНА КУКУРУЗЫ**

Одним из решающих факторов повышения урожая и улучшения качества зерна кукурузы является научно обоснованное применение минеральных удобрений, и в частности микроэлементов. Применение минеральных удобрений способствует повышению сырого протеина в зерне кукурузы на 1,74% [2], увеличению белковых фракций в зерне пшеницы [1], при этом содержание высокомолекулярных белков увеличивается в большей степени, чем количество альбуминов и глобулинов. По данным [4], цинковые удобрения приводят к увеличению белка в зерне кукурузы на 0,4—1,0%.

Исследования проводились в 1978—1979 гг. в колхозе «Победа» Каушанского района. Выявлено, что систематическое применение фосфорных удобрений на карбонатном черноземе в течение 15 лет вызвало хлороз кукурузы, что привело к резкому снижению урожая и ухудшению его качества. Так как действие удобрений на качество зерна кукурузы, в частности на содержание азота белковых фракций, недостаточно изучено, нами было исследовано влияние систематического применения минеральных удобрений на состав белков в зерне кукурузы. Повторность опыта четырехкратная, анализов — двукратная. Характеристика почвы опытного участка: содержание гумуса в пахотном горизонте 4,3%, общего азота 0,29%, pH 7,9—8,1;  $\text{Ca}^{2+}$  31,0,  $\text{Mg}^{2+}$  2,9 мг-экв/100 г почвы.

Белки фракционированы по Осборну [3], в модификации лаборатории химии белка Кишиневского госуниверситета. Количество действующего вещества минеральных удобрений, внесенного под кукурузу (кг/га), за время ведения опыта составляет на вариантах  $P_{60}$ — $P_{570}$ ;  $N_{60}K_{60}$ — $N_{470}K_{390}$ ;  $N_{60}P_{60}K_{60}$  —  $N_{570}P_{630}K_{390}$ ;  $N_{90}P_{60}K_{60}$  —  $N_{690}P_{570}K_{390}$ ;  $N_{60}P_{90}K_{60}$  —  $N_{570}P_{810}K_{390}$ .

**Влияние удобрений на фракционный состав белка зерна кукурузы, % абсолютно сухого вещества**

Вариант	1978 г.						1979 г.					
	Азот			Белковые фракции			Азот			Белковые фракции		
	общий	белковый	небелковый	альбумин+глобулины	зенин	глобулин	общий	белковый	небелковый	альбумин+глобулины	зенин	глобулин
<i>Молочко-зесковая спелость</i>												
Контроль	1,85	1,69	0,16	0,24	0,45	0,59	0,40	1,93	1,76	0,17	0,31	0,45
$P_{60}Zn_{10}$	1,71	1,52	0,19	0,22	0,34	0,53	0,41	1,73	1,52	0,21	0,29	0,36
$N_{60}K_{60}$	2,27	2,09	0,18	0,25	0,57	0,65	0,61	2,13	1,94	0,19	0,32	0,48
$N_{60}P_{60}K_{60}Zn_5$	2,22	2,04	0,18	0,27	0,50	0,70	0,56	2,31	2,11	0,20	0,37	0,52
$N_{60}P_{60}K_{60}Zn_{10}$	1,82	1,63	0,19	0,25	0,39	0,56	0,43	1,96	1,74	0,21	0,32	0,44
$N_{60}P_{60}K_{60}Zn_{15}$	2,17	2,00	0,17	0,25	0,54	0,62	0,58	2,24	2,03	0,21	0,35	0,49
$N_{60}P_{60}K_{60}Zn_{20}$	1,86	1,68	0,18	0,26	0,40	0,55	0,46	1,89	1,69	0,20	0,31	0,44
$N_{60}P_{60}K_{60}Zn_{25}$	2,24	2,08	0,16	0,27	0,57	0,64	0,59	2,31	2,13	0,18	0,33	0,49
$N_{60}P_{60}K_{60}Zn_{30}$	1,84	1,62	0,22	0,27	0,38	0,41	0,56	2,11	1,92	0,19	0,32	0,45
$N_{60}P_{60}K_{60}Zn_{35}$	2,26	2,11	0,15	0,25	0,62	0,62	0,62	2,42	2,24	0,18	0,31	0,57
<i>Полная спелость</i>												
Контроль	1,67	1,55	0,13	0,15	0,27	0,62	0,50	1,74	1,64	0,10	0,20	0,34
$P_{60}$	1,50	1,37	0,13	0,15	0,27	0,51	0,44	1,53	1,41	0,12	0,18	0,42
$P_{60}Zn_{10}$	2,08	1,94	0,14	0,17	0,38	0,69	0,70	2,00	1,90	0,10	0,19	0,42
$N_{60}K_{60}$	1,99	1,87	0,12	0,16	0,38	0,72	0,60	2,17	2,05	0,12	0,20	0,45
$N_{60}P_{60}K_{60}$	1,75	1,61	0,14	0,17	0,36	0,59	0,49	1,70	1,56	0,14	0,20	0,38
$N_{60}P_{60}K_{60}Zn_5$	2,09	1,98	0,11	0,16	0,49	0,68	0,64	1,98	1,88	0,11	0,19	0,43
$N_{60}P_{60}K_{60}Zn_{10}$	1,89	1,74	0,15	0,16	0,38	0,60	0,58	1,71	1,58	0,13	0,22	0,38
$N_{60}P_{60}K_{60}Zn_{15}$	2,13	2,01	0,12	0,18	0,39	0,70	0,71	2,07	1,97	0,10	0,24	0,38
$N_{60}P_{60}K_{60}Zn_{20}$	1,71	1,57	0,14	0,16	0,33	0,49	0,59	1,83	1,71	0,12	0,21	0,31
$N_{60}P_{60}K_{60}Zn_{25}$	2,11	2,00	0,11	0,17	0,43	0,69	0,70	2,08	1,97	0,11	0,23	0,41

Полученные данные показывают, что по мере созревания зерна содержание общего азота постепенно уменьшалось на всех вариантах опыта. Снижалось также и содержание азота альбуминов и глобулинов, фракции зеина и глютенина заметно увеличились к полной спелости зерна. Удобрения оказали существенное влияние на содержание форм азота и азота белковых фракций. Так, систематическое внесение фосфорных удобрений в дозе 60 и 90 кг/га (по действующему веществу) вызвало депрессивное явление в росте и развитии кукурузы, что в конечном итоге сказалось и на синтезе белка. Данные контрольного варианта и Р<sub>60</sub> показывают, что систематическое внесение фосфора в дозе 60 кг/га способствовало снижению белкового азота как в молочно-восковой, так и в полной спелости (см. таблицу). Так, его содержание на удобренном варианте ниже в среднем за годы исследования на 0,19% по сравнению с контрольным вариантом.

Внесение цинка в дозе 10 кг/га на фоне Р<sub>60</sub> способствовало усиленному синтезу белкового азота, что привело к его увеличению в среднем за годы исследования на 0,29%.

Внесение цинка в состав полного минерального удобрения вызвало увеличение как низкомолекулярных белков, так и зеина и глютенина. Содержание альбуминов и глобулинов на варианте N<sub>60</sub>P<sub>90</sub>K<sub>60</sub>Zn<sub>10</sub> по сравнению с вариантом N<sub>60</sub>P<sub>90</sub>K<sub>60</sub> выше на 0,19%, также выше и содержание высокомолекулярных белков зеина и глютенина на 0,14 и 0,06% соответственно. Цинк в дозе 5 кг/га также оказал положительное влияние на синтез белкового азота. Данные вариантов N<sub>90</sub>P<sub>60</sub>K<sub>60</sub> и N<sub>90</sub>P<sub>60</sub>K<sub>60</sub>Zn<sub>5</sub> показывают, что цинк способствовал увеличению как низкомолекулярных, так и высокомолекулярных белков.

Таким образом, внесение цинка при систематическом применении фосфорных удобрений на карбонатном черноземе является необходимым условием не только для устранения хлороза, но и для повышения качества зерна кукурузы.

## ЛИТЕРАТУРА

1. Авдонин Н. С. Почва, удобрение и качество растениеводческой продукции. М., «Колос», 1979, с. 79.
2. Мосолов И. В. Физиологические основы применения минеральных удобрений. М., «Колос», 1979, с. 162.
3. Осборн Т. Растительные белки. М., «Биомедиздат», 1935.
4. Тома С. И., Рабинович И. З., Великсар С. Г. Микроэлементы и урожай. Кишинев. «Штиница», 1980.

Поступила 18.II.1980

**М. Я. МОЛДОВАН, Л. А. МАРЖИНА, Н. Г. КОМАНИЧ**

## НОВОЕ ЗАБОЛЕВАНИЕ ТАБАКА АМЕРИКАНСКОГО ТИПА В МОЛДАВИИ

В 1978—1979 гг. нами проводилось изучение микрофлоры и грибных заболеваний табака в Молдавии. Особое внимание было удалено выявлению грибов на внедряемых в республике сортах и гибридах табака типа Вирджиния и Берлей, возделываемых по американской технологии. Американские табаки поражаются как вирусными, так и грибными заболеваниями в значительно большей степени, чем районированные сорта.

Проведенные исследования показали, что наряду с широко распространенными видами грибов-возбудителей — представителей родов *Fusarium*, *Thielaviopsis*, *Sclerotinia* — в комплексе возбудителей заболеваний выявлены редкие виды, ранее не обнаруженные на табаке. Так, впервые было зарегистрировано опасное заболевание табака — вертициллез, возбудителем которого является гриб *Verticillium dahliae* Kleb. Оно выявлено на сортах американских табаков: С-6-В (колхозы «Победа» и «Правда» Единецкого района), Fo-101 (колхоз «Комсомолец» Сорокского района и колхоз им. Мичуринца Оргеевского района), Ky-21 типа Берлей (колхоз им. Кирова Чимишлийского района). Единичные изоляты гриба были получены также из районированного сорта «Переможец» в Оргеевском районе.

Вертициллезный вилт является одним из самых опасных заболеваний большинства сельскохозяйственных культур, относящихся к двудольным. По данным многих авторов, в частности [2], широта круга растений-хозяев достигает 650 видов. В Молдавии гриб зарегистрирован на 40 видах растений, относящихся к различным семействам [1].

Хотя возбудитель широко распространен по всему земному шару, особо вредоносной для табака эта болезнь оказалась только в Новой Зеландии [4], где в 1964 г. свыше 2% всей площади выращиваемого табака было заражено в такой сильной степени, что производство этой культуры стало невыгодным. О болезни сообщается также из США, Канады, Австралии, Африки [2] и Болгарии [3], где она пока не вызывает больших потерь.

Симптомы на больных растениях табака при вертициллезном вилте сходны с симптомами при фузариозном увядании. Отличительной особенностью является разшение на нижних листьях мелких желтоватых или оранжеватых пятен, которые по мере развития болезни охватывают всю пластинку листа. Со временем наблюдаются изменения и на верхних листьях — они теряют тurgor, края их часто скручиваются вверх вдоль средней жилки, листья увядают и вскоре опадают. Необходимо отметить, что хотя внешне корневая система выглядит хорошо развитой и относительно здоровой, при срезах корня и стебля у больных растений наблюдается потемнение тканей. Инфицированные ткани пораженных органов приобретают светло-коричневый цвет. У некоторых пораженных растений отмечается отставание в росте. Развитие *V. dahliae* на растениях табака приводит к снижению урожая.

Возбудитель проникает в растения из почвы, где он может сохраняться в виде микросклероцисов в течение длительного времени на растительных остатках. Проникновение гриба в большой степени способствуют различного рода повреждения корней, в частности механические, поражения насекомыми или нематодами.

Для развития вертициллезного вилта на табаке благоприятны высокая почвенная влажность и температура в 22—28° С. По данным [4], симптомы вертициллезного вилта усиливаются после обильных дождей или поливов, следующих за сухой погодой.

Нами неоднократно отмечались случаи совместного поражения растений табака *V. dahliae* и другими возбудителями, в частности *Thielaviopsis* и *Fusarium*.

Выявление вертициллезного увядания на табаках типа Вирджиния и Берлей должно привлечь большое внимание фитопатологов, так как данное заболевание может стать потенциально опасным и для районированных сортов, тем более что отдельные случаи поражения их уже отмечены нами. Возможность распространения болезни усиливается в связи с тем, что многие сельскохозяйственные культуры, в частности овощные, плодовые и др., а также сорняки в сильной степени поражаются *V. dahliae*. В [2] отмечен ряд случаев, указывающих на способность популяции вертициллеза повышать вирулентность по отношению к новым сортам.

По данным [5], четыре изолят из табака оказались патогенными для перца, низкопатогенными для томата и огурца и непатогенными для баклажана. Для табака были патогены изолят из абрикоса, земляники и только часть изолятов из картофеля и томата.

Важно не допустить распространения вертициллеза на табачных плантациях республики. Эффективные меры защиты табака от вертициллеза даже в районах его сильной вредоносности пока еще не разработаны. Наиболее приемлемый способ снижения вредоносности болезни — выращивание устойчивых сортов. В комплекс мер по профилактике, направленных на ограничение распространения заболевания, должно входить правильное соблюдение севооборотов, т. е. следует избегать включения в севообороты культуры, являющейся накопителем вертициллезной инфекции, например, томатов, картофеля, баклажанов.

## ЛИТЕРАТУРА

1. Попушай И. С. Болезни усыхания косточковых плодовых деревьев в СССР. Кишинев, РИО АН МССР, 1970.
2. Филиппов В. В., Андреев Л. Н., Базилинская Н. В. Распространение фитопатогенных грибов рода *Verticillium*. М., «Наука», 1978.
3. Христов В. Определитель на болестите по культурните растения и на техните причинители. София, Земиздат, 1962.
4. Lucas G. B. Diseases of tobacco. Ralegh, N. Carol. USA: Biol. Cons. Associates, 1975.
5. Taylor J. B. Host specificity of *Verticillium dahliae* to tobacco. — N. Z. J. Sci., 1969, 12, N 4, p. 709—712.

Поступила 25.I 1980

## ХРОНИКА

### ПЕРСПЕКТИВЫ РАЗВИТИЯ НАУЧНЫХ ИССЛЕДОВАНИЙ В ОБЛАСТИ БИОЛОГИИ В УЧРЕЖДЕНИЯХ АКАДЕМИИ НАУК МОЛДАВСКОЙ ССР

По материалам Выездной сессии Отделения общей биологии  
Академии наук ССР

На состоявшейся в Молдавии осенью 1979 г. выездной сессии Отделения общей биологии Академии наук ССР рассматривались вопросы современного состояния и перспектив дальнейшего развития научных исследований в области биологии в учреждениях Отделения биологических и химических наук АН Молдавской ССР.

В работе сессии приняли участие известные ученые нашей страны: академик-секретарь Отделения общей биологии АН ССР академик М. С. Гиляров, президент Академии наук МССР, академик АН МССР, член-корреспондент АН ССР А. А. Жученко, вице-президент АН МССР, академик-секретарь Отделения биологических и химических наук АН МССР, академик АН МССР, член-корреспондент ВАСХНИЛ М. Ф. Лупашку, заместитель академика-секретаря Отделения общей биологии АН ССР, директор Палеонтологического института АН ССР, член-корреспондент АН ССР Л. П. Татаринов, заместитель директора Главного Ботанического сада АН ССР, член-корреспондент АН ССР П. И. Лапин, члены-корреспонденты АН ССР М. В. Горленко, А. Н. Световидов, Л. М. Сущеня, член-корреспондент АН БССР Л. В. Хотылева, члены бюро Отделения биологических и химических наук АН МССР: заместитель академика-секретаря Отделения, член-корреспондент АН МССР И. Б. Берсукер, академик АН МССР А. А. Спасский, члены-корреспонденты АН МССР С. И. Тома, А. А. Чеботарь, директор Института зоологии и физиологии, кандидат биологических наук Ф. И. Фурдуй, директор Института химии, кандидат химических наук П. В. Влад, заведующий Отделом генетики АН МССР, доктор сельскохозяйственных наук, профессор В. Н. Лысиков, заведующий Отделом палеонтологии и биостратиграфии АН МССР, доктор геолого-минералогических наук, профессор К. Н. Негадаев-Никонов, заместитель заведующего Отделом генетики АН МССР, доктор биологических наук, профессор Б. Т. Матиенко, заместитель председателя Совета по координации НИР в области естественных и общественных наук в Молдавской ССР, начальник научно-организационного отдела Президиума АН МССР Н. С. Даньшин.

В выездной сессии приняли участие ответственный работник ЦК КПСС Л. Н. Андреев, заведующий Отделом науки и учебных заведений ЦК КП М. С. Платон и первый секретарь Котовского РК КП Молдавии М. Д. Зорика.

После вступительного слова академика-секретаря Отделения биологических и химических наук АН МССР М. Ф. Лупашку с докладами о состоянии и перспективах развития научных исследований в области биологии выступили: директор Ботанического сада А. А. Чеботарь, директор Института зоологии и физиологии Ф. И. Фурдуй, директор Института физиологии и биохимии растений С. И. Тома, заведующий Отделом генетики растений В. Н. Лысиков, заведующий Отделом палеонтологии и биостратиграфии К. Н. Негадаев-Никонов.

В обсуждении докладов и главного вопроса о перспективах развития исследований приняли участие члены бюро Отделения общей биологии АН ССР и бюро Отделения биологических и химических наук АН МССР.

Анализ результатов исследований и рекомендации по их дальнейшему развитию были даны в заключительном слове академика-секретаря Отделения общей биологии АН ССР академику М. С. Гилярову.

Было отмечено, что определившиеся направления и тематика работ в учреждениях Отделения биологических и химических наук Академии наук Молдавской ССР соответствуют актуальным задачам, способствующим решению основных научных и народнохозяйственных проблем.

Институт зоологии и физиологии АН МССР в настоящее время является ведущим центром в республике в таких областях науки, как зоология, гидробиология, паразитология, физиология человека и животных. Проведена полная инвентаризация фауны млекопитающих, рыб, птиц, земноводных и пресмыкающихся на территории

Молдавии; открыты и описаны новые для науки виды (112), роды (80), семейства и подсемейства (5). Изучены экология, распространение и динамика численности наиболее распространенных видов наземных животных и гидробионтов.

По результатам исследований сотрудников института опубликовано более 100 книг, в том числе монографии «Филлоксеры», «Птицы — истребители вредных насекомых», «Цестоды птиц ССР», (три тома), «Фитопаразитические и свободно живущие нематоды юго-запада ССР», «Гамазовые клещи млекопитающих Днестровско-Прутского междуречья» и др. Из серии «Животный мир Молдавии» издан первый том «Млекопитающие», сданы в печать «Птицы», «Рыбы, земноводные и пресмыкающиеся». Совместно с Ботаническим садом АН МССР составлена одна из первых региональных сводок — «Красная книга Молдавской ССР».

По законченным научно-исследовательским работам института внедрено в народное хозяйство много ценных предложений. Среди них «Синтетическая среда для разбивания и замораживания семян сельскохозяйственных животных», «Метод борьбы с клещами — вредителями виноградной лозы системными препаратами», «Методы раннего получения молоди рыб на теплых водах», получившие всесоюзное признание. Общая экономическая эффективность от внедрения результатов исследований только по Молдавской ССР — более 1,5 млн. руб. в год.

С 1977 г. институт принимает участие в разработке семи научно-технических проблем в области сельского хозяйства, возглавляемых научно-производственными объединениями Министерства сельского хозяйства Молдавской ССР, а также является головной организацией по проблеме «Биологические основы управления, прогнозирования и охраны животного мира Молдавии». Кроме того, институт принимает участие в разработке одной всесоюзной проблемы по миграции птиц и двух региональных проблем (совместно с академиями Украины и Белоруссии).

В Ботаническом саду АН МССР за последние годы широко проведены флористические исследования на территории Молдавской ССР. Установлен видовой состав флоры республики. Выявлены 232 вида редких и исчезающих растений Молдавии, из них восемь включены в «Красную книгу ССР» и 26 — в «Красную книгу Молдавской ССР». Составлены карты растительности Молдавии. Разработаны геоботаническое районирование и классификация типов лесов.

Госкомитету Совета Министров МССР по охране природы представлено более 80 редких и исчезающих видов растений Молдавии для сохранения и рационального использования.

Выявлено 300 видов высших грибов, из них два новых, дан систематический состав эпифитных лишайников Молдавии. Проведены палеоботанические исследования верхнемиоценовых и нижнеплиоценовых отложений на территории Молдавии. Установлено более 100 видов ископаемых растений, из них свыше 40 новых для науки.

Выполнен комплекс работ по изучению анатомии и ультраструктуры плодов, растений ряда семейств, кариологии, эмбриологии и цитогенетики. Изучена ультраструктура вегетативных и генеративных органов кукурузы и других злаков. Проведен геномный анализ гибридов пшеница  $\times$  рожь, пшеница  $\times$  пшеница, пшеница  $\times$  эгиптос. Завершены цитогенетические и кариолого-систематические исследования видов ячменя, овса, пшеницы, проса и осок Молдавии. Изучена кариология большинства дикорастущих видов однодольных республики. На основании изучения числа хромосом Молдавской и Крымской ампелографических коллекций выделены ряд ценных для производства тетрапloidов винограда. Создана коллекция отдаленных гибридов плодовых и орехоплодных.

Получена новая форма плодового растения айва  $\times$  яблоня. Выделены сеянцы, перспективные в целях предотвращения периодичности плодоношения яблони. Разработан вегетативный метод размножения грецкого ореха. Выделены полукарликовые скороспелые формы грецкого ореха, дающие урожай на 3-й год жизни. Изучены 54 новых линии томатов, две — рекомендованы селекционным учреждениям.

Выяснена возможность выращивания в Молдавии трех высокопродуктивных видов горицивта и катаракуса зорового с целью получения препарата антилейкозного и противопухолевого действия.

За 1976—1979 гг. издано 19 монографий, пять сборников и других работ, в том числе «Структурная основа роста крупных плодов», «Рожь», «Культурные растения юго-запада ССР по палеоботаническим исследованиям», «Отдаленная гибридизация и полипloidия у плодовых растений», «Определитель листостебельных мхов МССР», «Раннеоптическая флора южной части Днестровско-Прутского междуречья».

Двадцать шесть предложений внедрены в производство. По различным заказам ведомств и организаций выполнено более 30 работ.

Ботанический сад — соисполнитель двух всесоюзных проблем: «Биологические основы рационального использования, воспроизводства и охраны растительного мира» и «Интродукция и акклиматизация растений». Успешно ведется строительство республиканского Ботанического сада, в коллекциях и экспозициях которого собран богатый растительный генофонд, насчитывающий более 10 тыс. видов и сортообраз-

цов. В новом лабораторном корпусе размещены также республиканский гербарий, насчитывающий 160 тыс. образцов, и научная библиотека.

В Отделе генетики растений АН МССР разработки ведутся в следующих основных направлениях. Исследуются генетические основы повышения адаптивного потенциала генофонда культурных растений, ведется создание коллекций геноносителей с повышенным адаптивным потенциалом, изучаются цитогенетическая, биохимическая природа и особенности идентифицированных признаков, структура и ультраструктура репродуктивных органов, генетическая природа устойчивости к болезням, роль аппарата трансляции генетической информации в адаптационезе; разрабатываются методы создания нового исходного материала с повышенным адаптивным потенциалом с целью ускорения процессов селекции.

Научные исследования проводятся совместно с научно-производственными объединениями «Днестр», «Гибрид», «Селекция» и др.

Отдел генетики растений возглавляет исследования по межрегиональной проблеме «Разработка генетических методов, повышающих эффективность селекционного процесса», которые ведутся по координационному плану совместных работ академий Украины, Белоруссии и Молдавии. Отдел является головной организацией в Молдавской ССР по межотраслевой научно-технической проблеме «Разработка биологических основ адаптивной системы сельского хозяйства в условиях его концентрации и специализации».

За четыре года десятой пятилетки отдел выполнил большой объем научно-исследовательских работ и добился ряда важных результатов в научном и практическом отношениях. Собрана коллекция, состоящая из 5 тыс. сортов и форм пшеницы, сои, кукурузы, томатов, из них 715 идентифицировано. По материалам коллекции исследуются закономерности адаптационеза структур, ультраструктур, биохимические закономерности адаптации и др.

На основе фундаментальных исследований значительно усовершенствована и внедрена в селекционную практику методика селекции томата по признакам фитофтороустойчивости и устойчивости к мозаике. Совместно с селекционерами создан фитофтороустойчивый сорт томата «Нистру», районированный в республике с 1979 г. Селекционерам переданы линии томатов (20 образцов), устойчивых к фитофторозу и мозаике, они широко используются при создании новых сортов томата. По результатам исследований в области иммуногенетики томата получены семь авторских свидетельств и три положительных решения, подано шесть заявок на изобретение совместно с Институтом химии АН МССР.

В межведомственных лабораториях цитогенетики Отдела генетики и Молдавского научно-исследовательского института орошаемого земледелия и овощеводства выделены потенциальные источники высокого содержания биологически ценных компонентов в плодах перца. Изучен характер естественного переопыления на межсортовом массиве культурного перца.

Получили дальнейшее развитие исследования, направленные на разработку теории и методов индуцированного рекомбиногенеза, — основы управления процессом создания новых форм сельскохозяйственных растений, изучение и повышение их адаптивного потенциала.

Выявлены основные закономерности и разработаны методы индуцирования генетических рекомбинаций как основы направленного манипулирования генетическим материалом.

Разработаны экспресс-методы: определения трипсиннгибирующей активности семян бобовых и злаковых культур, позволяющий выявить геноносители повышенной ценности белка, и оценки ареалов сортов и гибридов по данным только одного поколения в одном географическом пункте и метод прогноза величины и качества урожая с учетом экологических условий. Предложена общая математическая модель агробиоценоза с учетом изменчивости факторов среды.

Переданы Молдавскому научно-исследовательскому институту полевых культур формы сои с повышенным содержанием белка и низким содержанием ингибиторов трипсина, а Молдавскому научно-исследовательскому институту кукурузы и сорго — самоопыляющиеся и скороспелые линии кукурузы для дальнейшего изучения с целью включения в селекционный процесс.

Результаты исследований обобщены в монографиях «Селекция озимой твердой пшеницы в Молдавии», «Индуцированный мутагенез перекрестноопыляющихся культур» и др.

В Отделе палеонтологии и биостратиграфии АН МССР основными научными направлениями являются: исследования ископаемой фауны, закономерностей ее формирования и разработка палеобиологических основ стратиграфии отложений позднего кайнозоя между речью Днестр—Прut (комплексные палеонтологические исследования уникальных местонахождений и опорных разрезов антропоген—плиоцена, фаунистотипов миоцена; эталонизация фаунистических комплексов, изучение систематики, истории и эволюции фауны).

Установлено более 150 новых видов древних животных. Прослежены закономер-

ности эволюции и расселения отдельных групп острокод, моллюсков, млекопитающих и разработаны схемы их филогенетического развития. Исследовано шесть опорных разрезов и уникальных местонахождений ископаемой фауны. Тираспольский фаунистический комплекс и разрез плиоцена признаны опорными и стали эталонами для Европейского континента.

Палеонтологические исследования Отдела имеют практическое значение при корреляции осадочных отложений стран Восточной и Западной Европы.

Составлены первые карты четвертичных отложений Молдавии и схемы корреляции континентальных и морских отложений плиоцена на юго-западе СССР, которые применяются производственными организациями для рационального использования земель.

Проводятся комплексные исследования с научными учреждениями Молдавии, Белоруссии, Украины и по двум проектам ЮНЕСКО. Издаются совместные монографии и сборники.

На заключительном заседании бюро Отделения общей биологии АН СССР и Отделения биологических и химических наук АН Молдавской ССР были одобрены основные направления исследований и планы научно-исследовательских работ Института зоологии и физиологии, Ботанического сада, Отдела генетики растений и Отдела палеонтологии и биостратиграфии АН МССР, уточненные в свете решений XV съезда КПСС и XIV съезда Компартии Молдавии, общего собрания АН СССР (июнь, 1976), постановления Президиума АН СССР (январь, 1979).

Важнейшей задачей биологических учреждений АН МССР была определена разработка фундаментальных научных проблем в области биологических основ создания агропромышленных комплексов республики: научных основ преобразования, рационального использования и охраны природных биологических ресурсов, биологических основ адаптивной системы ведения сельского хозяйства в условиях его концентрации и специализации.

Сессия одобрила перспективные планы развития научных исследований институтов и отделов Отделения биологических и химических наук АН МССР. Тематика подразделений будет направлена на решение двух главных проблем: разработку биологических основ адаптивной системы сельскохозяйственного производства в условиях крупномасштабной концентрации и специализации и разработку научных основ преобразования, рационального использования и охраны природных ресурсов.

По первой проблеме намечается решить следующие вопросы: создать идентифицированные генофонды сельскохозяйственных растений и животных (преимущественно с адаптивным потенциалом); разработать теоретические основы и методы индуцирования генетических рекомбинаций и совершенствования методов адаптивной селекции; экспресс-методы оценки адаптивности исходного материала селекционных образцов; изучить генетические, физиологические, структурные и биоэнергетические механизмы адаптации на различных уровнях организации; разработать методы экзогенного регулирования адаптивного потенциала организмов, агробиоценозов, агрэкосистем и животноводческих комплексов, а также принципы управления и построения адаптивных биоценозов.

При этом должна постоянно учитываться межрегиональная специфика растительного и животного мира, а также почвенного покрова юго-западного региона СССР (включая территорию Молдавской ССР), что налагает определенные задачи при выяснении закономерностей адаптационеза в неонтологическом плане в сравнении с палеонтологическими и палеоэкологическими особенностями данного региона. Закономерности адаптационного характера будут определяться прежде всего с учетом исторического метода и принципа актуализма.

Отдельно по каждому научному подразделению имеются свои особенности в проведении и развертывании исследований в пределах вышеуказанных проблем.

По Институту зоологии и физиологии предусматривается сосредоточить усилия на изучении механизмов адаптивных и репродуктивных способностей животных, их биоценотических связей, на разработке научных основ управления, прогнозирования, обогащения и охраны животного мира в условиях интенсификации и специализации народного хозяйства Молдавии; на вопросах экологии, динамики численности наземных и водных животных; на расширении исследований по комплексу опылителей.

По Отделу генетики растений главным направлением исследований будет разработка генетических основ повышения адаптивного потенциала культурных растений. На ближайшую перспективу планируются исследования со следующими основными направлениями: изучение закономерностей преадаптационеза и создание идентифицированных генетических коллекций сельскохозяйственных культур, геноносителей ценных биологических и хозяйственных признаков, обладающих повышенной адаптивностью; разработка теоретических основ и методов индуцирования рекомбинации, с целью расширения адаптивного потенциала сельскохозяйственных растений; изучение закономерностей адаптационеза у культурных растений и их диких сородичей на генетико-молекулярном, клеточном, организменном и биоценотическом уровнях для оптимизации агробиоценозов и разработки системы наилучшего рационального

размещения сортов и гибридов в соответствующих экологических нишах; разработка вопросов генетики и микроэволюции патогенезов.

По Ботаническому саду планируются усиление исследований механизмов адаптации дикорастущих и культурных видов, форм и сортов растений, по экологии, интродукции, в том числе низших, и акклиматизации растений, рациональному использованию, воспроизводству и охране растительных ресурсов, озеленению городов и сел, развертывание исследований по культуре тканей; завершение монографии «Растительный мир Молдавии»; продолжение работ по созданию экспозиции Ботанического сада.

По Отделу палеонтологии и биостратиграфии рекомендовано дальнейшая разработка вопросов исследования плейстоценового биоценотического кризиса и путей формирования современной фауны и флоры Молдавии, палеоэкологии, палеозоогеографии, биостратиграфии. Намечено углубление исследований в области истории неогеновой фауны Молдавии.

\* \* \*

Сессия Отделения общей биологии АН СССР и Отделения биологических и химических наук АН МССР приняла решение по вопросам научно-организационного характера, в частности о целесообразности преобразования в установленном порядке Отдела генетики растений АН МССР в Институт экологической генетики, образование в перспективе самостоятельных научно-исследовательских учреждений в области зоологии и физиологии на базе Института зоологии и физиологии АН МССР. Рекомендовано расширить помещение для палеонтологического музея, создать в Ботаническом саду лаборатории по растительным ресурсам и разработке научных основ озеленения городов и сел.

Придавая важное значение почвенному компоненту в сфере биоценологического кадастра, сессия обратила внимание на организацию почвенных исследований в общих направлениях работ по агропромышленному комплексу, в том числе исследований по почвенной зоологии и почвенной микробиологии.

Сессия одобрила быстрорастущую тенденцию к автоматизации биологических исследований, которая заметно начала развиваться в Академии наук МССР, особенно в проведении биологических экспериментов с растениями. Положительную оценку получили представленные новые изготовленные в Академии приборы в действии.

В области подготовки кадров и укрепления творческих связей было принято решение усилить работу по подготовке научных кадров высшей квалификации, шире практиковать стажировку биологов в ведущих научных центрах страны и за рубежом, укреплять творческие и деловые связи с вузами республики, отраслевыми НИИ министерств и ведомств, продолжить работу по дальнейшему укреплению связей с проблемными научными советами АН СССР, развивать и совершенствовать формы регионального сотрудничества с академиями наук Украины и Белоруссии, усилить работу по развитию международных связей.

Проведение выездной сессии Отделения общей биологии АН СССР в Молдавии явилось важной вехой в развитии биологических исследований в нашей республике.

Б. Т. Матиенко  
доктор биологических наук  
К. Н. Негадаев-Никонов  
доктор геолого-минералогических наук

### МЕЖДУНАРОДНЫЙ ФОРУМ ОСТРАКОДОЛОГОВ

В июле 1979 г. в Югославии (Белград) состоялся VII Международный симпозиум\*, на котором обсуждались результаты исследований ракушковых ракообразных (остракод), вопросы морфологии, таксономии, систематики, экологии и биологии этой группы животных, широко распространенной в современных водоемах и часто встречающихся в ископаемом состоянии в осадочных образованиях.

Советскую делегацию представляли ведущие специалисты-остракодологи нашей страны: Е. Н. Поленова (руководитель делегации, Москва), А. Ф. Абушек (Ленинград), М. Л. Векуа (Тбилиси), В. С. Горах (Киев), А. Л. Коваленко (Кишинев), Г. П. Ляшенко (Москва), П. С. Любимова (Ленинград), Г. Ф. Мазепова (Иркутск), К. Н. Негадаев-Никонов (Кишинев), И. Ю. Неуструева (Ленинград), И. А. Николаева (Ленинград), М. Г. Попова-Львова (Уфа), Л. И. Сарв (Таллин), Е. И. Шорников (Владивосток).

\* I симпозиум по остаткам состоялся в 1964 г. в Италии, II в 1967 г. в Англии, III в 1970 г. во Франции, IV в 1972 г. в США, V в 1974 г. в ФРГ и VI в 1976 г. в Австрии.

Делегаты из Молдавии выступили с докладами: «Развитие и расселение остракод в плейстоцене европейской части СССР» (К. Н. Негадаев-Никонов), «Исследование рецептивных остракод континентальных водоемов европейской части СССР» (А. Л. Коваленко).

Симпозиум начался с полевых экскурсий на разрезы панонских и pontических отложений Западной Сербии. Это дало возможность сопоставить их с позднеогеновыми отложениями, распространенными на юге СССР, т. е. в восточной части Паратитиса. Большой интерес для исследований Отдела палеонтологии и биостратиграфии Академии наук Молдавской ССР представляло ознакомление с неогеновыми отложениями средиземноморского типа и аналогами сарматских меотических образований Западной и Восточной Сербии, так как они составляют основу стратиграфии верхнего миоцена восточного Паратитиса.

Югославские ученые Стеванович, Крстич, Сокач, Гагич, Милоевич-Крамзар доложили об исследованиях современных и ископаемых остракод в Югославии и использовании этой фауны в палеогеографических построениях на юго-востоке Европы. Об эволюции надсемейства Cypidacea сообщил австралийский ученый De Deckker.

Интересные результаты получены остракодологами Бабино, Бенадуче, Массоли, Маккензи, Ван-Хартеном, Карбонелом и другими в детальных исследованиях морфологии и биологии таких широко распространенных родов, как *Trachyleberis*, *Pseudocythere*, *Hycocypris*, *Cyprideis*, *Cyprinolus*.

Доклады Нила (Англия), Ортли (Франция) и других сопровождались демонстрацией микростереоскопических фотографий, которые лучше характеризуют структурные особенности раковин. Новые данные в области морфологии и систематики получены главным образом благодаря использованию электронного сканирующего микроскопа. Были сообщения о новых структурных элементах раковин, ранее не замеченных при использовании лишь световой микроскопии. В древнейших образованиях палеозоя обнаружены раковины остракод со сложным строением.

Во время работы симпозиума были установлены тесные рабочие контакты советских ученых со специалистами других стран.

К. Н. Негадаев-Никонов  
доктор геолого-минералогических наук

### VIII СЪЕЗД ВСЕСОЮЗНОГО ЭНТОМОЛОГИЧЕСКОГО ОБЩЕСТВА

С 9 по 13 октября 1979 г. в Вильнюсе состоялся VIII съезд Всесоюзного энтомологического общества (ВЭО). В этом обществе насчитывается уже 3,5 тыс. действительных членов, объединенных в 23 отделения, среди которых и наше Молдавское отделение. В работе съезда приняли участие около 450 человек из 64 городов всех союзных республик страны, а также зарубежные гости. На съезде работали различные секции.

По общей энтомологии многие доклады были посвящены эколого-фаунистическим обзорам и систематике насекомых, особенно применительно к хозяйственно-важным группам. Ряд докладов охватывал и такие актуальные проблемы, как антропогенные изменения фауны, насекомые-опытители, охрана полезных видов, а также общие вопросы морфологии и экологии насекомых.

По физиологии, биохимии и биофизике насекомых были сделаны сообщения по фотoperiodизму, суточным ритмам активности и разным формам покоя, ферментам, гормонам, хемостерилянтам, действию органов чувств и генетике насекомых.

Широко обсуждались также проблемы медицинской и ветеринарной энтомологии, главным образом по кровососущим насекомым и клещам, переносчикам заболеваний человека и животных.

По сельскохозяйственной энтомологии было представлено наибольшее количество докладов, в том числе по вредителям отдельных культур, в целом по агроэкосистемам, биологическому методу борьбы с вредителями, вопросам разведения насекомых и проблемам интегрированной борьбы с целью подавления вредителей при минимальном отрицательном влиянии на окружающую среду.

По лесной энтомологии в центре внимания стояли проблемы динамики численности массовых вредителей, результаты экологического изучения отдельных комплексов и видов вредных насекомых; причем специальное тематическое заседание было посвящено вредителям дубрав. Рассматривались вопросы микробиологического метода борьбы, рационального применения химического метода, роли лесохозяйственных мероприятий и деятельности энтомофагов в регулировании численности вредителей с целью минимального нарушения биоценотических связей на защищаемых территориях.

Делегацию Института зоологии и физиологии Академии наук Молдавской ССР представляли семь человек, выступивших на разных секциях с докладами: А. В. Андреев «К систематике тлей рода *Brachyscaudus*», Б. В. Верещагин «Тли, связанные с дубом, в Молдавии», П. Х. Кискин, И. С. Лазарь «Перфокартограммы для прогнозирования вредителей сельскохозяйственных растений», В. Г. Остафичук «Сезонная динамика численности стафилинид в агроценозах приднестровской части Молдавии», И. Г. Плугару, Р. И. Мыйня «Изучение новых генетических линий тутового шелкопряда в Молдавии», С. Г. Плугару «Совки, вредящие дубу, и их энтомофаги в лесах Молдавии», Т. И. Чеботарь «Филлоксера и устойчивость винограда к ней».

В итоге работы съезда принял резолюцию, согласно которой необходимо проводить изучение насекомых в разных аспектах их значения в природе, а не только как вредных и полезных для человека видов. Была отмечена необходимость дальнейшего развития унификации и математизации в энтомологических исследованиях.

Не ослабляется внимание и к эколого-фаунистическому направлению исследований, систематике и диагностике, особенно применительно к группам, имеющим практическое значение, и к таким актуальным проблемам, как охрана природы, антропогенные изменения фауны, а также общие вопросы морфологии, экологии, физиологии и биохимии насекомых.

Возрастает взаимопроникновение и обогащение теоретической и прикладной энтомологии и смежных наук, так как развитие прикладной энтомологии немыслимо без прогресса фундаментальных исследований.

Съезд показал, что в области защиты растений наметились тенденции к изучению биоценозов, сокращению количества химических обработок в борьбе с вредителями, проведению их с учетом роли энтомофагов и требований охраны окружающей среды, к развитию микробиологического метода и иных нехимических способов борьбы, а также к углубленному изучению устойчивости растений к вредителям. Основной задачей на ближайшее будущее остается разработка вопросов интегрированной борьбы.

Б. В. Верещагин  
доктор сельскохозяйственных наук  
С. Г. Плугару  
кандидат биологических наук

## РЕФЕРАТЫ

УДК 581.17:537.533.35.

Вопросы общей и частной электронной микроскопии биологических объектов. Матиенко, Б. Т. Известия Академии наук Молдавской ССР, Серия биологических и химических наук, 1980, № 4, с. 5—12.

В работе освещены достижения и проблемы развития электронной микроскопии биологических объектов. Показано, что благодаря электронной микроскопии в основном выявлена картина надмолекулярной организации живого вещества и успешно исследуются его характеристики на молекулярном уровне. Существенно шагнула вперед методика препарирования биологических объектов для электронной микроскопии, включая попытки приживленного изучения. Все меньше проявляются радиационные повреждения при исследовании в электронном микроскопе. Возрастает разрешающая способность микроскопов.

УДК 581.17:581.133.1

Водный режим яблони и подсолнечника в связи с использованием препарата ТУР и минеральных удобрений. Корнеску, А. С. Известия Академии наук Молдавской ССР, Серия биологических и химических наук, 1980, № 4, с. 13—18.

Показано, что рострегулирующим веществом ТУР можно направленно воздействовать на водный режим и процессы роста растений. Совместное применение ретарданта и удобрений оказывает положительное влияние на водоудерживающую силу листвьев яблони, способствует более экономному расходованию воды. Табл. 5, библиогр. 12, ил. 2.

УДК 581.192+547.962

Сравнительное хромато-электрофоретическое исследование альбуминов семян чечевицы и пшеницы. Сиддики, С. Х., Клименко, В. Г. Известия Академии наук Молдавской ССР, Серия биологических и химических наук, 1980, № 4, с. 19—23.

Установлено, что суммарные альбумины чечевицы и пшеницы при градиентной экстракции на колонке вымываются в более узком интервале концентрации серникоцеллюлозы, чем суммарные солерасторимые белки. При хроматографии на ДЭАЭ-целлюлозе фракции белковой природы элюируются при более низкой ионной силе буфера, а при хроматографии на гидроксиапатите белковые фракции менее всего сопровождаются небелковыми веществами, элюирующими при более высокой молярности буфера. Обнаружено, что суммарные альбумины исследуемых семян представляют собой многокомпонентную систему, характеризующуюся сложным электрофоретическим составом. Обнаруженные хроматографические и электрофоретические различия обусловлены видовой принадлежностью исследуемых семян. Табл. 1, библиогр. 10, ил. 3.

УДК 635.64:575

Индукрование хромосомных перестроек и локализация генов, контролирующих некоторые хозяйственно-ценные признаки, в геноме томата. Жученко, А. А., Грати, В. Г., Андрющенко, В. К., Грати, М. И. Известия Академии наук Молдавской ССР, Серия биологических и химических наук, 1980, № 4, с. 24—30.

Изучена возможность применения метода индуцирования нехваток хромосом для локализации генетических факторов, контролирующих скороспелость, средняя масса и содержание биохимических компонентов плода томатов. Комплексная оценка псевдодоминантных гибридов показала, что размер плода, содержание сухих веществ и

аскорбиновой кислоты у томатов находятся под контролем генов, локализованных в 1, 5, 7 и 11-й хромосомах, а содержание титруемых кислот — в 11-й и 7-й. Табл. 1, библиогр. 4, ил. 1.

УДК 577.1:581.167:633.15

Изменение содержания углеводов листьев и зерна высоколизиновых и обычных форм кукурузы в онтогенезе. Ревин Е. В., Карайацов Г. П., Ротарь А. И. Известия Академии наук Молдавской ССР, Серия биологических и химических наук, 1980, № 4, с. 31—34.

Излагаются результаты исследований содержания различных углеводов в листьях и зерне высоколизиновых и обычных форм кукурузы по фазам развития растений и созревания зерна. Показано, что количество глюкозы, фруктозы и сахарозы снижается по мере развития и старения листьев и созревания зерна, а содержание крахмала в зерне увеличивается как у высоколизиновых, так и обычных форм кукурузы. Выявлены существенные различия в характере изменения содержания углеводов как в листьях, так и в зерне у высоколизиновых форм кукурузы по сравнению с обычными аналогами. Табл. 2, библиогр. 9.

УДК 547.962

Выделение и очистка суммарного белка пигментных дрожжей *Rhodotorula gracilis* K-1 и изучение его состава. Тюрина Ж. П., Филиппова Т. В. Известия Академии наук Молдавской ССР, Серия биологических и химических наук, 1980, № 4, с. 35—40.

Из обезжиренной биомассы дрожжей *Rhodotorula gracilis* K-1 выделен суммарный белок и с помощью гель-фильтрации на сепадексе Г-100 и электрофореза в поликариламидном геле изучен его состав. Показано, что все белковые фракции сопровождаются значительными количествами углеводов, и даже щелочным гидролизом не удается разорвать связи белка с ними. На основе полученных данных делается вывод, что выделенный препарат представляет собой прочный белково-углеводный комплекс. Библиогр. 9, ил. 6.

УДК 595.7—11

Динамика активности протеолитических ферментов в кишечнике виноградной филлоксери (*Vitis vitifoliae* Fitch.), бобовой (*Aphis fabae* Scop.) и персиковой (*Myzus persicae* Sulz.) тлей в течение суток. Верещагина А. Б. Известия Академии наук Молдавской ССР, Серия биологических и химических наук, 1980, № 4, с. 41—47.

Установлено, что активность протеолитических ферментов в кишечнике *M. persicae* (растение-хозяин — редька) и *A. fabae* (растение-хозяин — лебеда, бобы) меняется в течение суток незначительно. В то же время этот показатель у виноградной филлоксери подвергается большим колебаниям. Это согласуется с гипотезой о том, что, обладая закрытым кишечником, филлоксера выделяет экскременты путем периодической регургации содержимого кишечника в галл. Ввиду того, что периоды регургации и метаболизации выделений в растительной ткани могут быть продолжительными, вполне возможно, что повышение активности кишечной протеазы связано с расщеплением запасных белков. Резкие изменения активности протеолитических ферментов в кишечнике филлоксери, а также обнаруженные нами ранее аналогичные изменения скорости откладки яиц предполагают наличие у филлоксери циркадного ритма питания. У филлоксери активность протеолитических ферментов была значительно ниже ночью, выше днем, а у *A. fabae* — наоборот: выше вочные часы, ниже — в дневные. Табл. 1, библиогр. 12, ил. 3.

УДК 541.49:846.733:548.736

Особенности координации NCS-группы в соединении родия(III) с моно-*o*-метиловым эфиром диацетилдиоксима. Симонов Ю. А., Дворянкин А. А., Болога О. А. Известия Академии наук Молдавской ССР, Серия биологических и химических наук, 1980, № 4, с. 48—54.

Определена кристаллическая структура соединения родия(III) с моно-*o*-метиловым эфиром диацетилдиоксима, содержащая во внутренней координационной сфере две NCS-группы. Кристаллы моноклинные.  $a = 8,567$ ,  $b = 14,213$ ,  $c = 15,891 \text{ \AA}$ ,  $\gamma = 86,96^\circ$ ,  $\rho_{\text{пл}} = 1,68 \text{ g/cm}^3$  при  $z = 4$  состава  $[\text{Rh}(\text{SCN})_2(\text{DM})_2(\text{DHMe})]$ , федоровская группа симметрии  $P2_1/b$ . Структура решена методом тяжелого атома по 3522 отражениям, полученным в автоматическом дифрактометре на  $\text{MoK}_\alpha$ -излучении. Уточнена структура в анизотропном варианте до  $R = 0,034$ . Кристалл построен из нейтральных октаэдрических комплексов. Две SCN-группы расположены в транс-положении. Расстояние  $\text{Rh}-\text{S}_1 = 2,374(2)$ ,  $\text{Rh}-\text{S}_2 = 2,382(2)$ . Отмечается геометрическая неэквивалентность двух координированных SCN-групп. В экваториальной плоскости наблюдаются значительные искажения угловые и линейные по сравнению с комплексами родия(III) с диоксимами, что определяется отсутствием одной внутрикомплексной водородной связи. Табл. 3, библиогр. 14, ил. 2.

УДК 53.083.2:546.72

Исследование методом гамма-резонансной спектроскопии комплексообразования ионов железа на анионите АН-2ФН. Туртэ К. И., Гуцану В. Л., Бобкова С. А., Догару Г. Н., Мунтян С. А. Известия Академии наук Молдавской ССР, Серия биологических и химических наук, 1980, № 4, с. 54—60.

Из  $2 \cdot 10^{-3}$  н. водного раствора  $\text{Fe}_2(\text{SO}_4)_3$  (91% обогащения), pH 2,3 были сорбированы в динамических условиях анионитом АН-2ФН ионы железа. Исследование методом ГРС показало, что в ионите образуются  $\sim 28\%$  высокоспиновых комплексов железа(II) и  $\sim 72\%$  высокоспиновых комплексов железа(III). В интервале температур 80—333 К ГР-спектры претерпевают обратимые существенные изменения, выражающиеся в том, что при высоких температурах (300—333 К) в ГР-спектрах почти не наблюдаются ионы железа(II). Выше  $220 \pm 10$  К вероятность эффекта Мессбауэра всего образца существенно уменьшается, видимо, из-за растворения некоторых колебаний цепи полимера. Высказано предположение, что в анионите АН-2ФН ионы железа(III) координированы к сшитой, а ионы железа(II) — к линейной части полимера. Табл. 1, библиогр. 11, ил. 4.

УДК 541.49:546.733:547.422.2

Действие оксиметилсульфината натрия на транс-диоксимины кобальта(III). Прокшина Н. Н., Хорошун И. В., Болога О. А., Похилько Л. А., Булушева Н. Е. Известия Академии наук Молдавской ССР, Серия биологических и химических наук, 1980, № 4, с. 60—64.

Проведено спектрофотометрическое исследование водных растворов при pH 6—12 транс-диоксиминов кобальта(III), содержащих во внутренней сфере тио- или селенокарбамид, в присутствии ронгалита С (оксиметилсульфината натрия). Установлено, что в зависимости от молярных соотношений действие ронгалита приводит к образованию катионов транс- $[\text{Co}(\text{SO}_3)_2(\text{DH})_2]^{+}$  или  $[\text{Co}(\text{SO}_3)_2(\text{DH})_2\text{Lig}]^{+}$ . Действие его на трансдиоксимины кобальта(III) в нейтральной среде сводится к последовательному связыванию в комплекс сульфо-групп, образующихся в растворе в результате окисления ронгалита; в щелочной среде при нагревании наблюдается переход транс-диоксиминов в двухъядерные соединения. Библиогр. 19, ил. 1.

УДК 633.15:631.67+631.81

Влияние удобрений и плотности посева на урожай и качество орошаемой кукурузы. Анферов Л. А. Известия Академии наук Молдавской ССР, Серия биологических и химических наук, 1980, № 4, с. 65—69.

Приводятся трехлетние данные по изучению влияния доз азотно-fosфорных удобрений и густоты стояния растений на урожай и качество зерна простых среднепозднеспелых гибридов на орошаемых обыкновенных черноземах Центральной зоны Молдавской ССР. Установлено, что для получения высоких урожаев необходимо выделять густоту стояния растений около 60 тыс./га и вносить 150 кг/га азота и 90 кг/га фосфора по действующему началу. Для увеличения валового выхода белка с гектара требуется вносить под Краснодарский ПГ 303 ТВ 120 кг азота и 90 кг фосфора, а под Днепровский ПГ 201 — соответственно 150 кг и 90 кг. Табл. 6, библиогр. 8.

УДК 576.312.3:632.954

О полиплоидизирующем действии гербицидов на примере *Pisum sativum* L. Чеботарь А. А., Суружиу А. И., Бухар Б. И. Известия Академии наук Молдавской ССР, Серия биологических и химических наук, 1980, № 4, с. 70—71.

Приводятся результаты действия гербицидов на процесс деления клеток и индуцирование структурных аберраций хромосом. По спектру хромосомных нарушений действие гербицидов сходно с действием химических мутагенов. Трефлан и прометрин вызывают полипloidию, которая идет за счет полного ингибирования образования ахроматинового веретена. Наблюдается различная чувствительность растений гороха по сортам к действию гербицидов. Делается вывод, что широко применяемые гербициды трефлан и прометрин нарушают процесс клеточного деления и индуцируют структурные аберрации хромосом. Библиогр. 6.

УДК 631.811.98

Сезонные изменения содержания регуляторов роста в корнях можжевельника казацкого в условиях Молдавии. Сапожникова Н. Ф. Известия Академии наук Молдавской ССР, Серия биологических и химических наук, 1980, № 4, с. 71—73.

Приводятся результаты хроматографического разделения экстрактов из корней можжевельника казацкого. Даётся идентификация ростовых веществ и прослеживается их динамика в процессе сезонного роста и развития растения. Весеннее начало роста

коррелирует с увеличением в корнях стимуляторов и снижением ингибиторов роста. Замедление ростовых процессов во всем растении сопровождается накоплением ингибиторов роста по всем зонам хроматограммы. В экстрактах корней идентифицированы хиноны, флавоноиды, ауксин ИУК, ИУК, ФКК, АБК, фенолальдегиды. Библиогр. 5, ил. 2.

УДК 632.4:633.11

Источники заражения пшеницы возбудителем мучнистой росы в условиях Молдавии. Черебедова М. А., Давидович Р. Е., Гринберг Ш. М. Известия Академии наук Молдавской ССР, Серия биологических и химических наук, 1980, № 4, с. 74—75.

Приведены данные трехлетних исследований (1975—1978) динамики развития возбудителя мучнистой росы озимой пшеницы в Молдавии. Выявлено, что в условиях Молдавии возбудитель мучнистой росы зимует в виде мицелия и конидиев на нижних листьях озимых посевов. Библиогр. 5, ил. 1.

УДК (595.3+595.371):134.6

Соотношение размеров и массы тела у гарпактицид (Crustacea, Harpacticoida). Набережный А. И., Ирмашева С. Г. Известия Академии наук Молдавской ССР, Серия биологических и химических наук, 1980, № 4, с. 75—76.

Статистическая обработка измерений 340 экземпляров *Nitocrella hibernica* позволила получить численные параметры зависимости массы тела от его линейных размеров. Получено уравнение для расчета массы тела *N. hibernica* и других гарпактицид размерами от 0,145 до 0,575 мм, т. е. от первых копеподитных стадий до половозрелых самок ( $W=0,33 \cdot L^{2,7198}$ ). Масса яйцевого мешка составила 30% общей массы тела самки. Библиогр. 6, ил. 1.

УДК 593.1

Массовое обрастание кругоресничными инфузориями мизид (Crustacea, Mysidacea) в садковой культуре. Шубернеккий И. В., Владимиров М. З. Известия Академии наук Молдавской ССР, Серия биологических и химических наук, 1980, № 4, с. 76—78.

Приводятся сведения о массовой вспышке численности кругоресничных инфузорий *Epistylis mysidae* и *Zoothamnium mysidae* на теле фитофильного вида мизиды *Limnomyysis benedeni*, культивируемой в садковой культуре в пруду. Массовое развитие эпифитонтных инфузорий объясняется повышенной температурой воды и высокой плотностью культуры раков. Библиогр. 5, ил. 1.

УДК 592/595.3:565.33

Остракоды верховья Днестра, Прута и Закарпатья. Коваленко А. Л. Известия Академии наук Молдавской ССР, Серия химических и биологических наук, 1980, № 4, с. 78—79.

Впервые для водоемов верхнего участка Днестра, Прута, Тиссы и Латорицы приводится систематический перечень остракод, который включает 21 вид из семейств Cyprididae и Cytheridae. Отмечены экологические особенности выявленных видов, их численность, а также распространение некоторых из них в четвертичных отложениях междуречья Днестр—Прут. Библиогр. 2.

УДК 633.81:631.524(477.75)

Полынь однолетняя — перспективное эфирномасличное растение. Бодруг М. В. Известия Академии наук Молдавской ССР, Серия биологических и химических наук, 1980, № 4, с. 79—80.

Рассматриваются некоторые вопросы биологии развития растений полыни однолетней, рекомендуются приемы возделывания, время уборки сырья. Наибольшее количество эфирного масла содержится в листьях — 1,70% в фазе массового цветения растений, когда и рекомендуется проводить уборку сырья. Табл. 1, библиогр. 2.

УДК 631.82.004.14:633.15:612.015.33

Влияние минеральных удобрений на состав белков зерна кукурузы. Черевень В. К. Известия Академии наук Молдавской ССР, Серия биологических и химических наук, 1980, № 4, с. 80—82.

Показано влияние систематического применения минеральных удобрений и цинка на состав белков зерна кукурузы. Установлено, что с созреванием зерна содержание общего азота, альбуминов, глобулинов, стромы и небелкового азота понижается, а количество запасных белков, зеина и глютенина повышается. Цинк в дозе 5—10 кг/га фракций. Табл. 1, библиогр. 4.

УДК 632.4:582.4

Новое заболевание табака американского типа в Молдавии. Молдован М. Я., Маржина Л. А., Команич Н. Г. Известия Академии наук Молдавской ССР, Серия биологических и химических наук, 1980, № 4, с. 82—83.

Приводятся данные о выявлении на территории Молдавии нового заболевания табака американского типа — вертициллезного увядания. Описываются симптомы заболевания, указываются районы распространения возбудителя за рубежом, предлагаются профилактические меры борьбы с данным заболеванием. Библиогр. 5.

С 1 сентября проводится подписка на 1981 год  
на журнал

## ИЗВЕСТИЯ АКАДЕМИИ НАУК МОЛДАВСКОЙ ССР

### Серия биологических и химических наук

Публикуются результаты исследований по ботанике, гидробиологии, паразитологии, зоологии, биофизике, физиологии животных, микробиологии, микологии, вирусологии, палеонтологии, физиологии и биохимии, генетике и селекции растений, химии комплексных и природных соединений и др. Имеется рубрика «Наука — производству».

Журнал рассчитан на научных работников и специалистов, преподавателей и студентов вузов. Выходит шесть номеров в год, по 8,4 л. Подписная цена на год 2 р. 70 к. Журнал включен в центральный каталог в разделе «Молдавская ССР» под индексом 76961.

**К СВЕДЕНИЮ СПЕЦИАЛИСТОВ  
СЕЛЬСКОГО ХОЗЯЙСТВА!**

Информация об изобретениях Всесоюзного научно-исследовательского института биологических методов защиты растений

## **АВТОМАТИЧЕСКОЕ УСТРОЙСТВО ДЛЯ ОТЛОВА НАСЕКОМЫХ**

(*А. С. Абашкин, И. А. Коган, А. А. Романченко, П. И. Заблоцкий.*  
Авторское свидетельство СССР № 436649.—Открытия. изобретения; пром. образцы, тов. знаки, 1974, № 27)

Предлагается устройство для отлова насекомых в природных условиях по заданному режиму времени без участия человека. Изобретение может быть использовано для проведения фенологических, фаунистических и экологических наблюдений (исследований). Цель — автоматическое количественное распределение насекомых по времени их отлова.